

### 最終講義 「名古屋大学での42年」

2015年3月12日

15:00~17:00

ES総合館 1F ESホール

山本 一良



## 本日の話の内容同位体分離に関する研究

同位体分離の数理的基礎理論を構築

「注目成分に関するカット」の非近似解を発見 カスケード方程式を線形分解することに成功 「分離パワー」概念に内在する矛盾の理由解明 多成分分離カスケード方程式の線形分解に成功 多成分分離パワーを支配する式の解を導出

### 同位体分離実験室

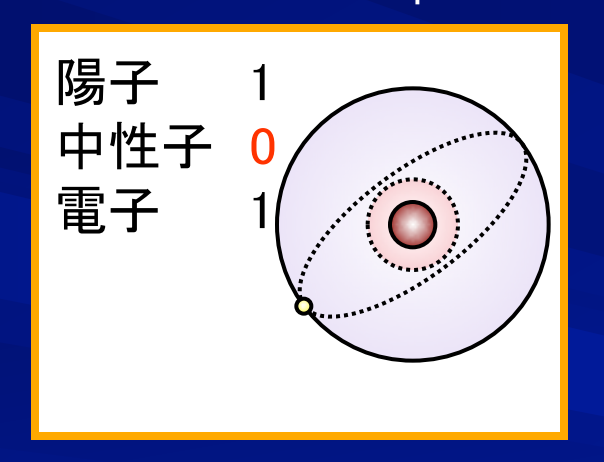
手作り予備実験装置(蒸留塔, 熱拡散塔) ロスアラモス科学研究所 同位体分離実験室の設計と実験 熱拡散塔2次元分離性能解析手法の開発 熱拡散塔解析簡単化モデルの構築 「深冷壁熱拡散塔」概念の発見

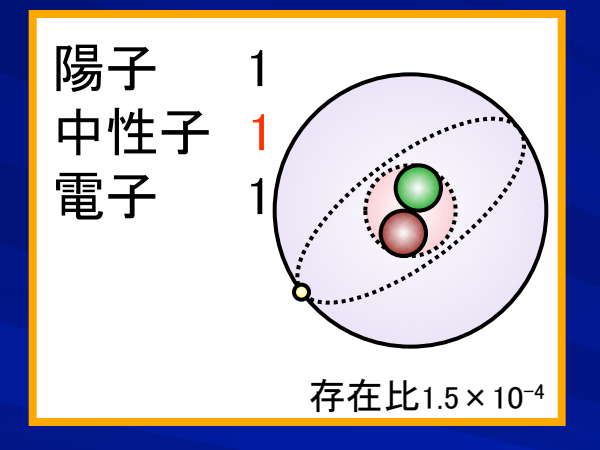
国際会議(SPLG'98), 同位体COEなど

## 同位体とは?

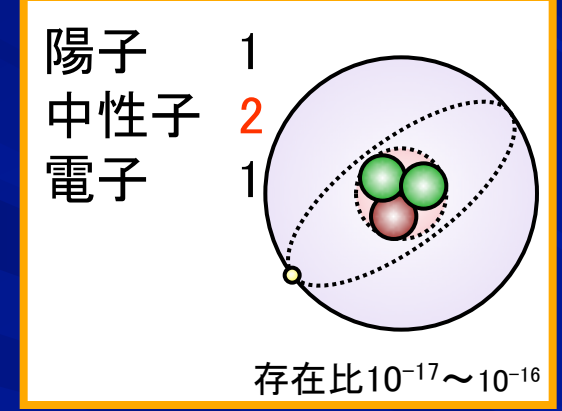
### <水素の同位体>

軽水素原子(¦H)



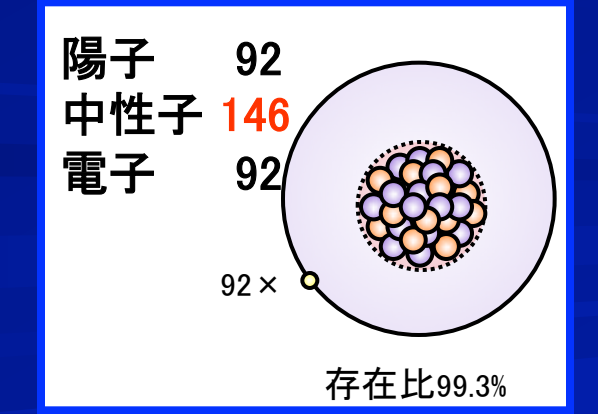


重水素原子(<sup>2</sup>H, D) 三重水素原子(<sup>3</sup>H, T)

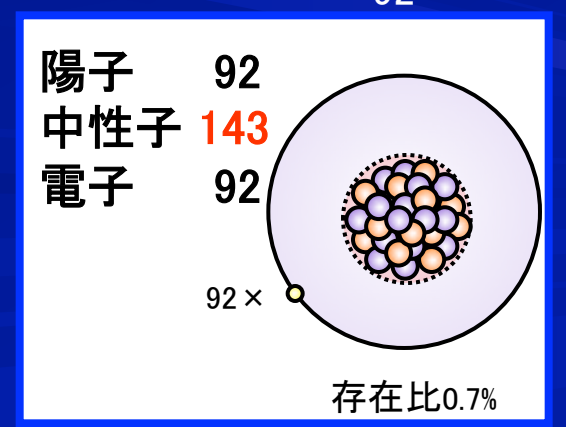


<ウランの同位体> ウラン238( <sup>238</sup>U)

2010. 8.3 T.Sugiyama



ウラン235( <sup>235</sup>U)



## なぜ同位体分離が必要か?

核分裂炉 軽水炉燃料のためのウラン(235)濃縮

反応度制御のためのボロン-10濃縮

重水炉のための水素同位体分離(重水の製造・精製)

原子炉や核燃料再処理工場からのトリチウム分離・回収

核融合炉 燃料の重水素,トリチウムの生産・精製

主燃料系. ブランケット系プロセス

リチウム-6 濃縮

医療,診断,トレーサー利用

同位体は、元素としては同じなので、分離することは極めて困難

### カスケード理論の 位置づけ

注目成分(例えばウラン235)を目標とする濃度まで濃縮し、ある一定量を得ようとするとき、1台の分離機で実現することは困難.

そこで,

多数の分離機を

濃縮度 を稼ぐためには 直列に、

量 を稼ぐためには 並列に

結合して所定の製品(プロダクツ)を得る.

このシステムを**カスケード**(Cascade)と呼ぶ、カスケード理論は、分離要素と分離プラントとを結ぶ機能を持つ.

分離の尺度・評価に分離パワーの概念.

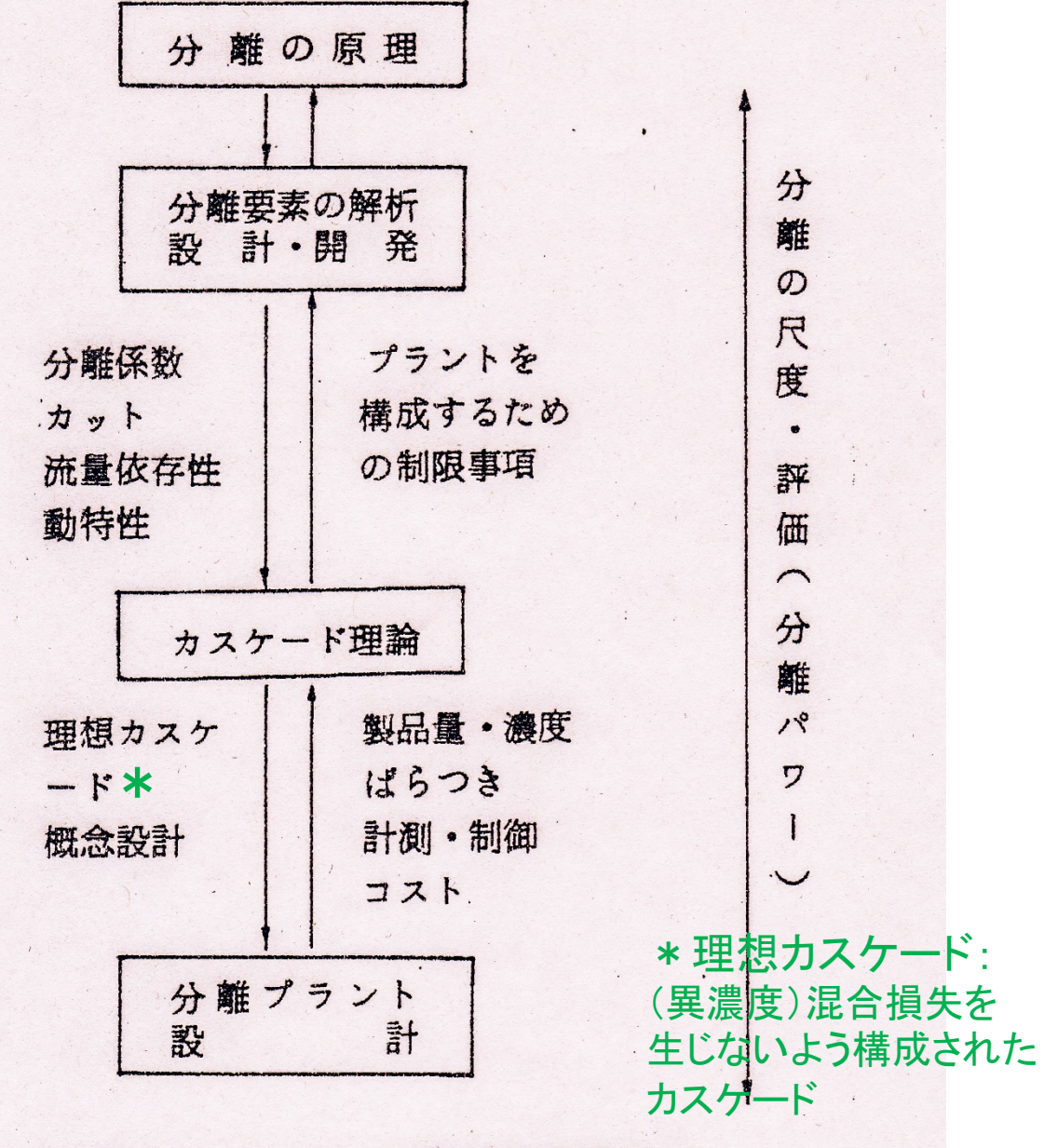
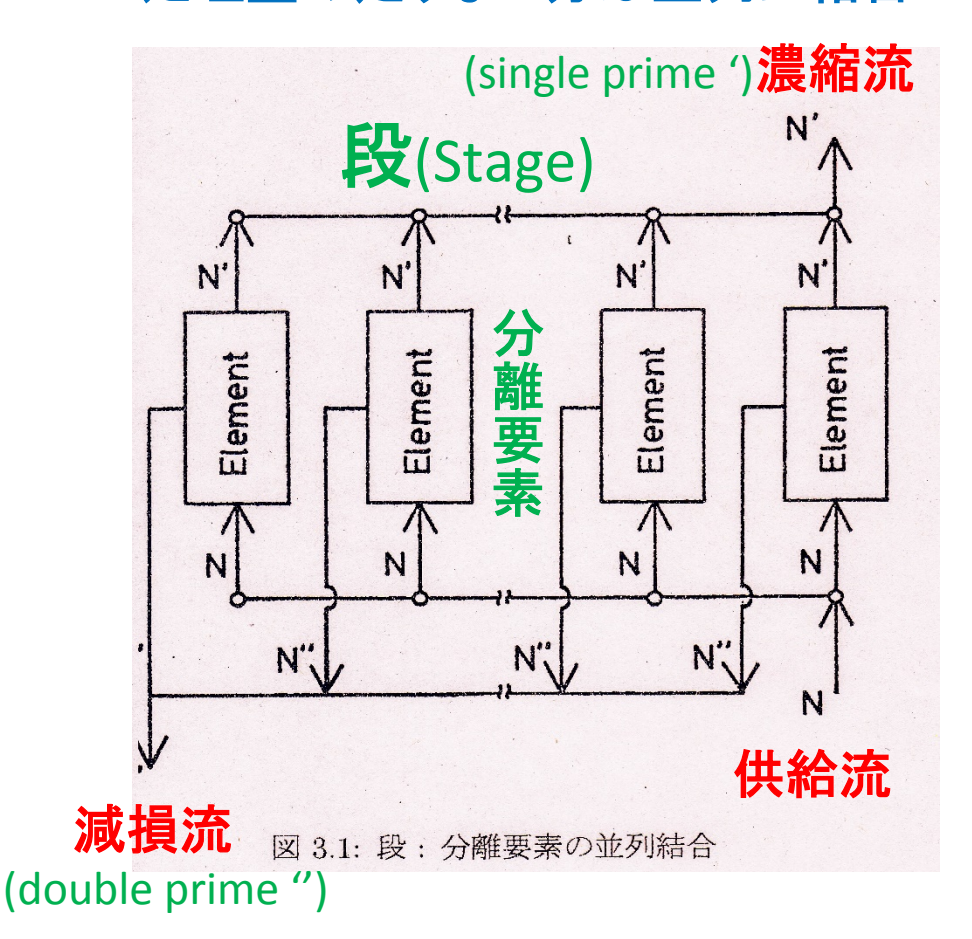


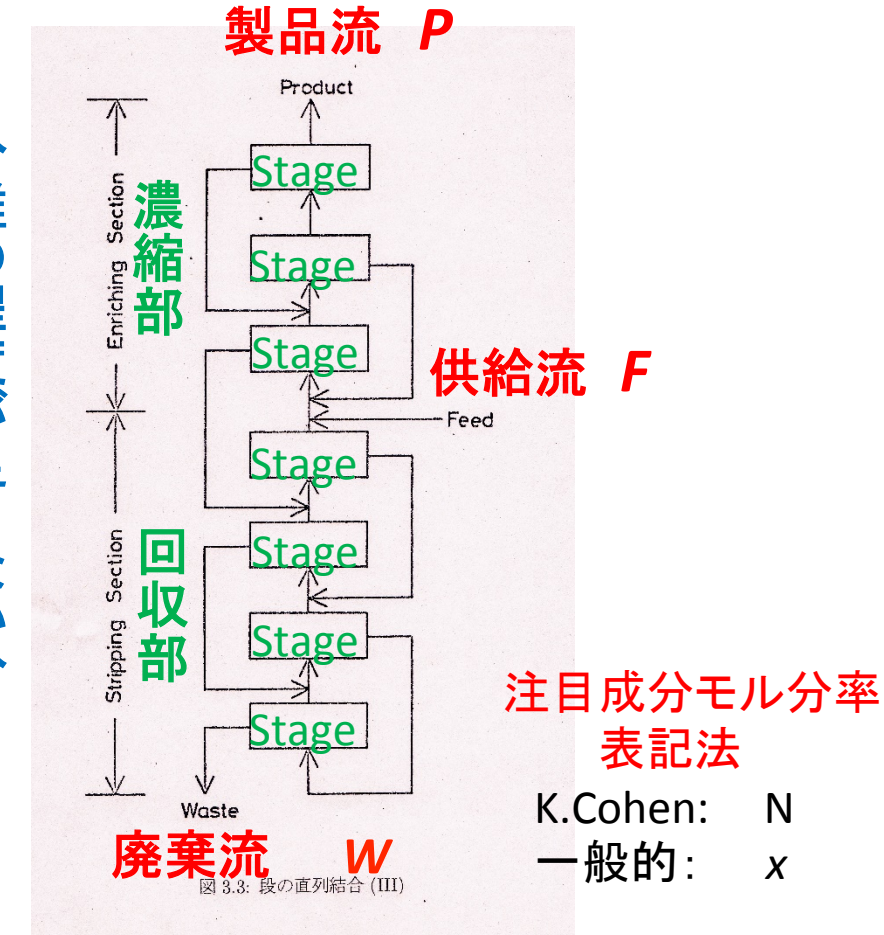
図 1.1: カスケード理論の位置づけ

## カスケード(Cascade)

### 処理量の足りない分は並列に結合



は直列に結合 分離の程度が足りない分



## カスケード方程式①

### 物質収支式(カスケード全体)

2成分混合物 F = P + W

注目成分  $Fx_F = Px_P + Wx_W$ 

### 製品流量から供給流量を表す

$$F = \frac{P(x_P - x_W)}{x_F - x_W}, \qquad W = \frac{P(x_P - x_F)}{x_F - x_W}$$

注目成分モル分率 表記法

K.Cohen: N 一般的: *x*  製品濃度が高いほど, 廃棄濃度が高いほど 多量の供給流量が必要

## 分離要素

• カット: 濃縮流量の供給流量 に対する割合

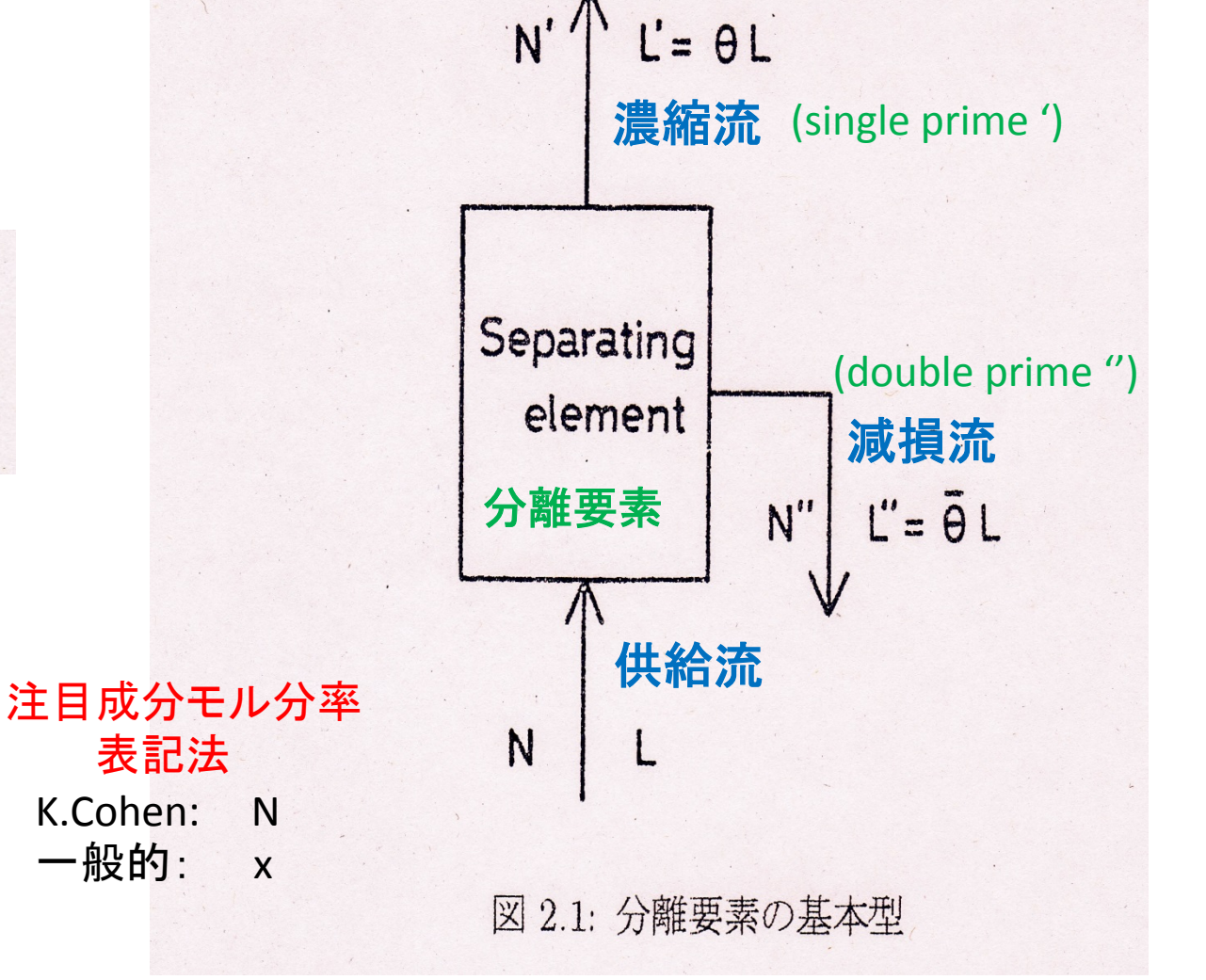
$$heta = rac{L'}{L}$$
 ,  $rac{ar{ heta} = rac{L''}{L}}{1- heta}$ 

物質収支:混合物流量と 注目成分流量

$$L = L' + L''$$

$$Lx = L'x' + L''x''$$

$$x = \theta x' + (1 - \theta)x''$$



## 分離係数

注目成分(ex. U-235)の 非注目成分(ex. U-238)に対する

### 存在比: R

(Abundance Ratio)

注目成分の非注目成分に対する

濃縮側分離係数 α

(heads separation factor)

減損側分離係数 β (tails separation factor)

2成分 
$$R = \frac{x}{1-x}$$
 [U-235] [U-238]

### 存在比で定義する理由:

統計的分離プロセス(遠心分離,蒸留,熱拡散 など)で達成される分離が本質的に存在比に関係付けられるから

$$\alpha = \frac{R'}{R} = \frac{x'}{1-x'} / \frac{x}{1-x},$$
 $\beta = \frac{R'}{R''} = \frac{x}{1-x} / \frac{x''}{1-x''}$ 

## 分離係数とカットとの関係

濃縮
$$x' = \frac{\alpha x}{1 + (\alpha - 1)x}$$
, 減損 $x'' = \frac{x}{\beta - (\beta - 1)x}$ 

$$x = \theta x' + (1 - \theta)x''$$
 に代入  
$$\theta = \frac{\beta - 1}{\alpha \beta - 1} [1 + (\alpha - 1)x]$$

カットθの式に注目成分濃度が含まれる

# 濃縮 $x' = \frac{\alpha x}{1 + (\alpha - 1)x}$ , $\theta = \frac{\beta - 1}{\alpha \beta - 1} [1 + (\alpha - 1)x]$ $\frac{x}{x''} = \frac{x}{\beta - (\beta - 1)x}$ $= \frac{\beta - 1}{\alpha \beta - 1} + \frac{(\alpha - 1)(\beta - 1)}{\alpha \beta - 1}x$ , 存在比表示 $\overline{\theta} = 1 - \theta = \frac{\alpha - 1}{\alpha \beta - 1} [\beta - (\beta - 1)x]$ $= \frac{\beta(\alpha-1)}{\alpha\beta-1} - \frac{(\alpha-1)(\beta-1)}{\alpha\beta-1}x$

## カスケード方程式②

### 濃縮部(製品流から計算) 蒸留塔の計算法と同じ 回収部(廃棄流から計算)

$$\theta_i L_i = (1 - \theta_{i+1}) L_{i+1} + P$$
 供給段でつなぐ  $\theta_j L_j = (1 - \theta_{j+1}) L_{j+1} - W$   $\theta_i L_i x_i' = (1 - \theta_{i+1}) L_{i+1} x_{i+1}'' + P x_P$   $\theta_j L_j x_j' = (1 - \theta_{j+1}) x_{j+1}'' - W x_W$ 

$$x' = \frac{\alpha x}{1 + (\alpha - 1)x},$$

$$x'' = \frac{x}{\beta - (\beta - 1)x}$$

$$\theta = \frac{\beta - 1}{\alpha \beta - 1} [1 + (\alpha - 1)x]$$

分離係数とカットとの関係を代入して

混合流量 L,

注目成分モル分率 \* の関数とする.

L が与えられれば x のみの関数. そうでなければ 2変数 の複雑な式

## カスケード方程式③

### 濃縮部の注目成分濃度を支配する微分方程式

$$\frac{dx}{ds} = 2\varepsilon x (1-x) - \frac{P}{L''}(x_P - x)$$

### 回収部の注目成分濃度を支配する微分方程式

$$\frac{dx}{ds} = 2\varepsilon x(1-x) - \frac{W}{L'}(x-x_W)$$

Manhattan Project で使用された式  $(\epsilon = \alpha - 1)$  ガス拡散プラントでは拡散筒 各段流量は同一

混合物流量、注目成分流量を支配する微分方程式

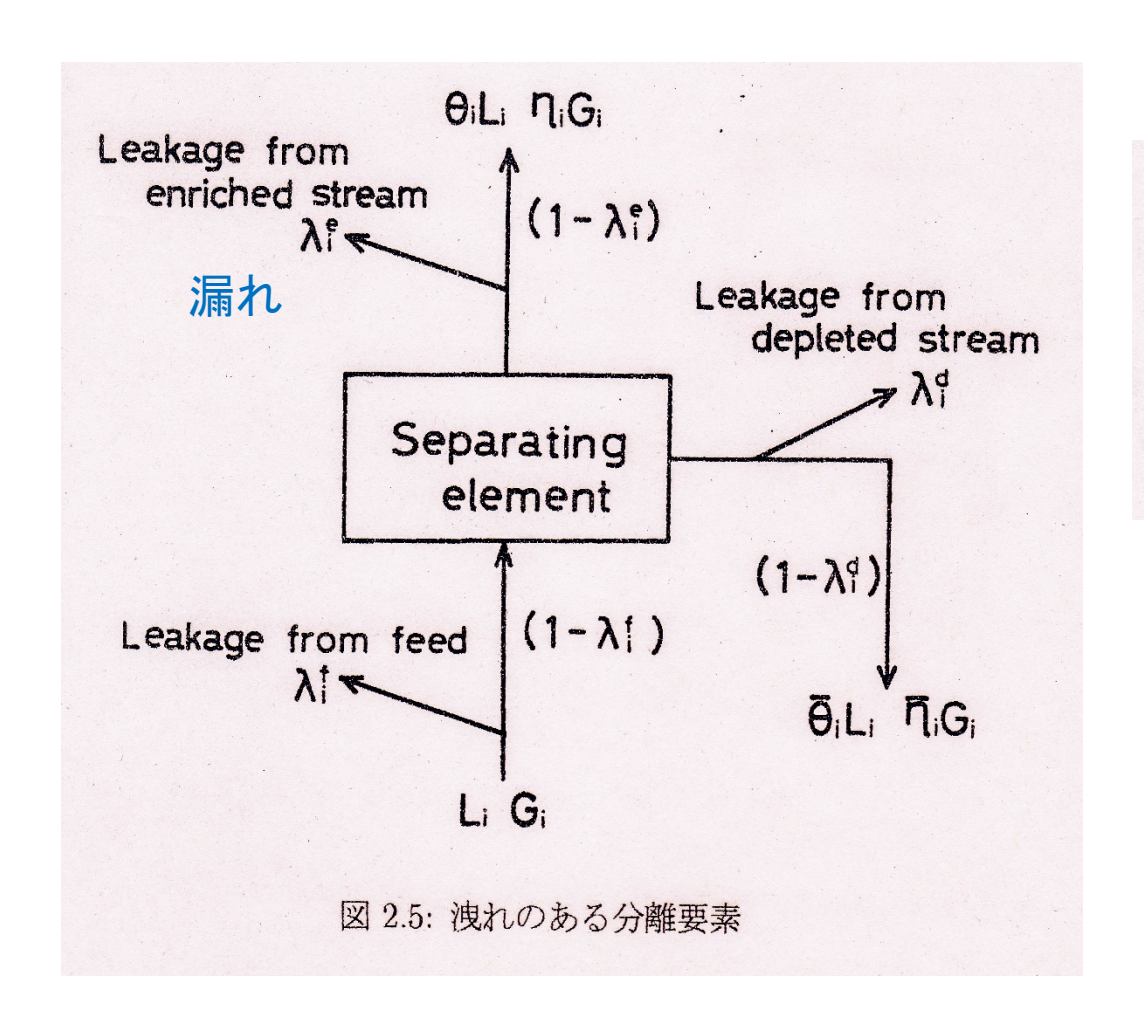
$$-\frac{1}{2} \cdot \frac{d^2}{dx} L - \frac{d}{dx} [(1-2\theta)L] = \delta(x-x_0)F$$

$$-\frac{1}{2} \cdot \frac{d^2}{dx^2} G - \frac{d}{dx} [(-1+2\theta+4\varepsilon\theta\bar{\theta})G] = \delta(x-x_0)x_F F,$$
この係数は近似式
$$\varepsilon \equiv \alpha\beta - 1$$

遠心分離機で構成された Kawai *et al.*(1973) プラントに対応した式

2成分混合流量と注目成分流量を区別

## 注目成分(or非注目成分)に関するカット



### 注目成分 式中に注目成分濃度は含まれない

$$\eta = \frac{\alpha(\beta - 1)}{\alpha\beta - 1} (1 - \lambda^f) (1 - \lambda^e), 
\overline{\eta} = \frac{\alpha - 1}{\alpha\beta - 1} (1 - \lambda^f) (1 - \lambda^d)$$

### 非注目成分 式中に注目成分濃度は含まれない

$$\zeta = \frac{\beta - 1}{\alpha \beta - 1} (1 - \lambda^f) (1 - \lambda^e),$$

$$\overline{\zeta} = \frac{\beta(\alpha - 1)}{\alpha \beta - 1} (1 - \lambda^f) (1 - \lambda^d)$$

### 注目成分のカットの近似なし表現を求める際に 「濃縮流中の注目成分流量と 減損流中の注目成分流量の和が 供給流中の注目成分量に等しい」

との関係が、「どんな注目成分の濃度 X に対しても成立する」

ことを利用して、「 X の係数と X ゼロ次の係数をゼロ」とおいて 連立方程式を導き、それを解くことで解を得た.

> 解がわかってみると, 中学生でもできる関係式の代入のみで 得られることがわかった.

### カスケード方程式(非線形の式を成分数の線形式に分解)

#### 段間流量収支式

$$L_i = \theta_{i-1}L_{i-1} + \overline{\theta}_{i+1}L_{i+1} + \delta_{if}F,$$

ある段への供給流 =下段からの濃縮流+上段からの減損流



$$L_{i} = L'_{i-1} + L''_{i+1} + \delta_{if}F,$$
  

$$G_{i} = G'_{i-1} + G''_{i+1} + \delta_{if}x_{F}F$$



### 多成分系への拡張

混合物流量の式の係数カットのは分離係数と供給流中の注目成分濃度xの関数.

X がわからないと、係数カットθは決められない。(非線形:繰り返し計算が必要)

混合物流量のカスケード方程式と同じ形の 注目成分流量の式が得られる. 非注目成分に対しても同形の式が得られる. 各成分流量の係数は分離係数のみの関数 (線形:繰り返し計算不要)

$$(G_{j})_{i} = (\eta_{j})_{i-m}(G_{j})_{i-m} + (\overline{\eta}_{j})_{i+n}(G_{j})_{i+n} + \delta_{if}(G_{j})_{F}$$

$$(j = 1, 2, \dots, k-1)$$

$$(G_{k})_{i} = (\zeta)_{i-m}(G_{k})_{i-m} + (\overline{\zeta})_{i+n}(G_{k})_{i+n} + \delta_{if}(G_{k})_{F}$$

成分の数の 線型方程式を 解くだけ. 計算時間大幅短縮

## いくら分離係数が大きくなっても分離係数には上限値がある

注目成分、非注目成分に関するカット と 分離係数との関係

$$lpha = \eta/\zeta$$
 $eta = \overline{\zeta}/\overline{\eta}$ 

$$x_F \quad x_F \simeq 0 \qquad x_F < \theta \qquad x_F > \theta \qquad x_F \simeq 1$$
 $\alpha \quad \alpha \theta < 1 \quad \alpha < \frac{1 - x_F}{\theta - x_F} \quad \text{unlimited} \quad \text{unlimited}$ 
 $\beta \quad \text{unlimited} \quad \text{unlimited} \quad \beta < \frac{x_F}{x_F - \theta} \quad \beta (1 - \theta) < 1$ 

供給流中の注目成分濃度が小さければ(これが一般的)

濃縮側分離係数 $\alpha$ とカット $\theta$ の積 $\alpha\theta$ は決して1を超えない。

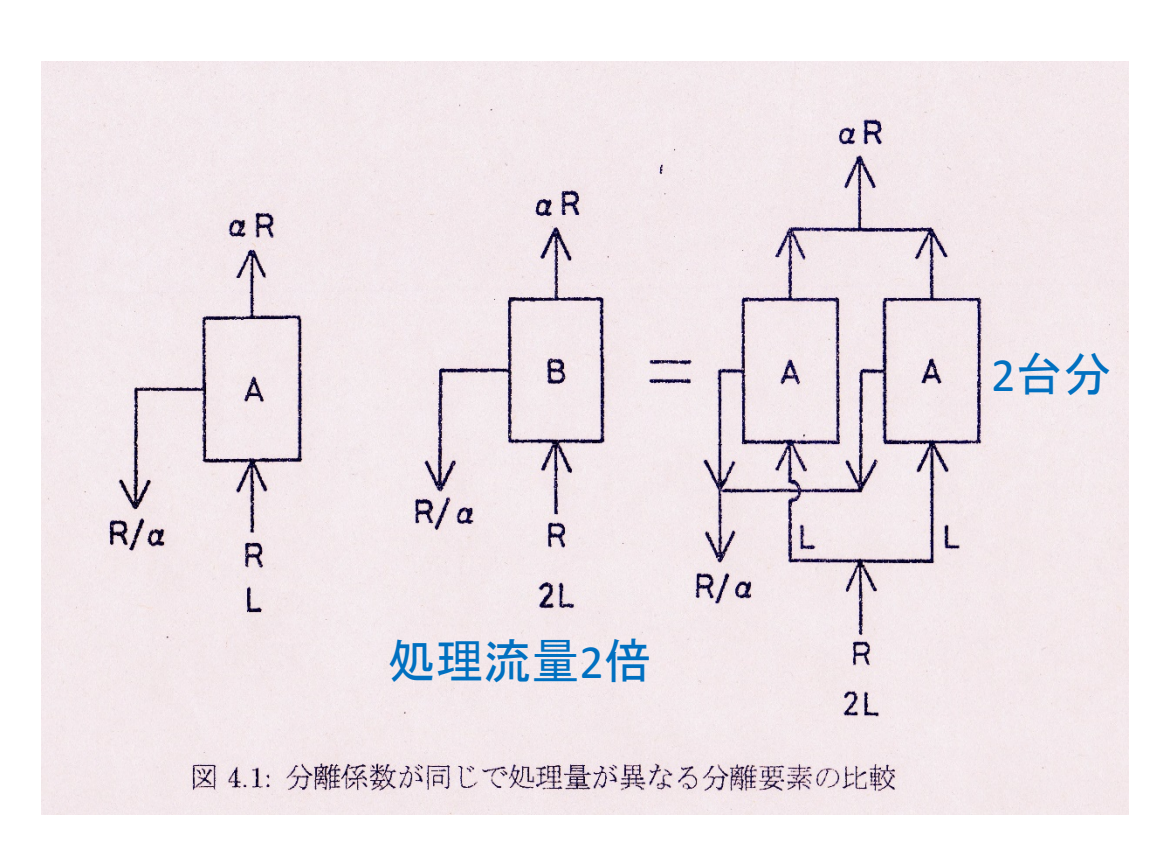
## 分離パワー研究の歴史

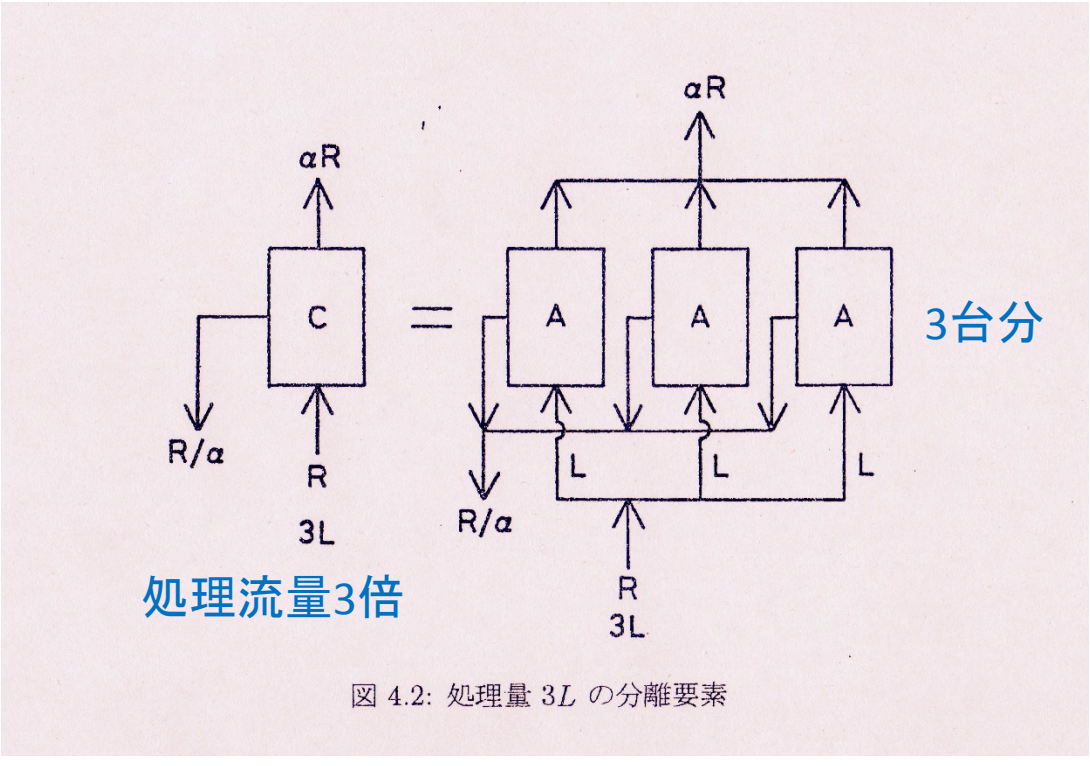
• K.Cohen: "The Theory of Isotope Separation as Applied to Large Scale Production of U-235", (1951)(\*元米国化学工学会会長)

Manhattan Project の一部、同位体分離の部分をまとめたもの

- 分離作業量の概念: H.C.Urey (1939) 重水素の発見(1932)でノーベル化学賞
- 価値関数 の概念: R.Peier s 固体物理パイエルスポテンシャルの発見
- 価値関数概念をエレガントに説明: P.A.M.Dirac 1933年ノーベル物理学

## 分離パワーは処理流量に比例する





## 分離係数と分離パワーとの関係は?

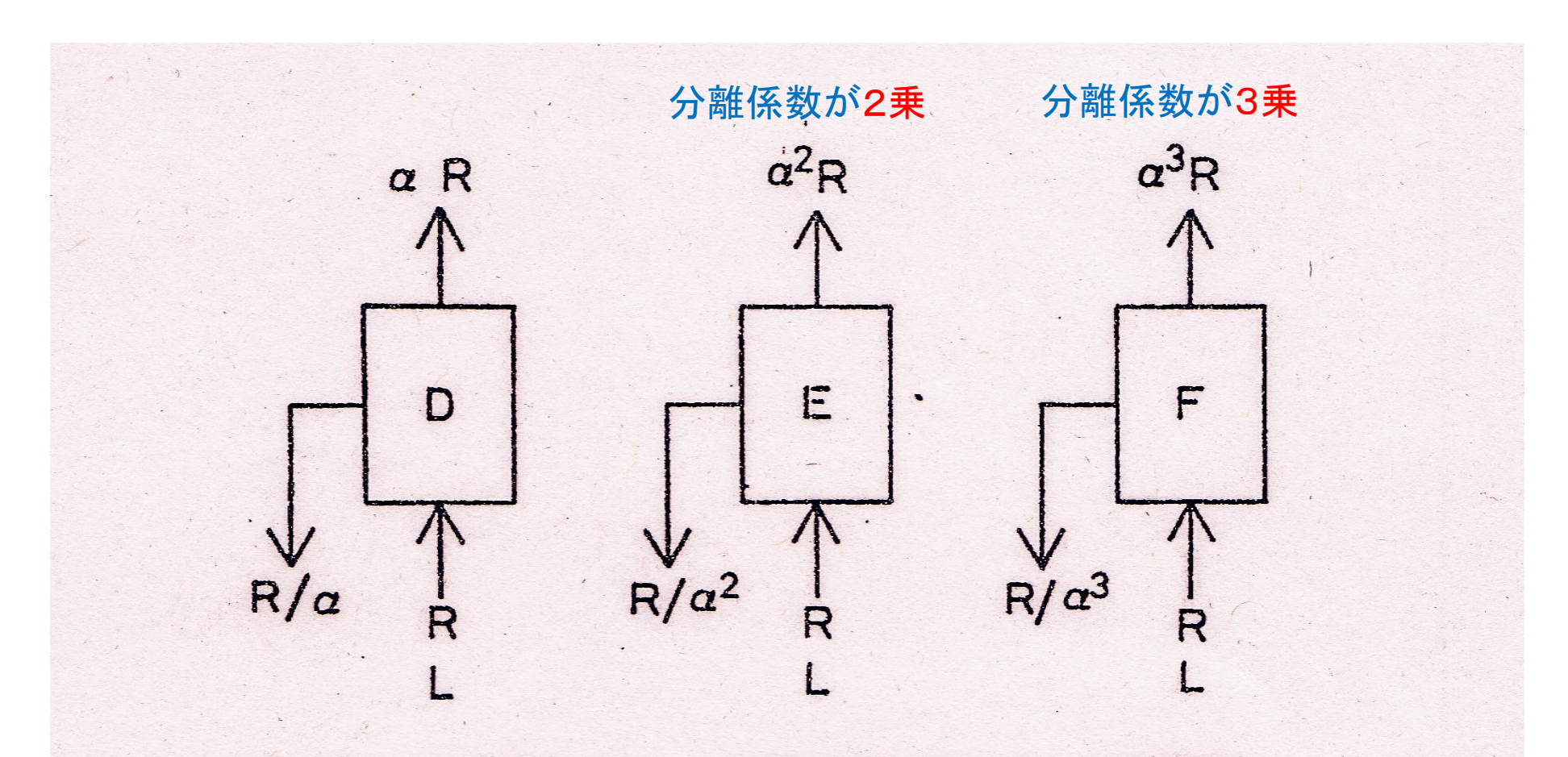


図 4.3: 処理量が同じで分離係数が異なる分離要素

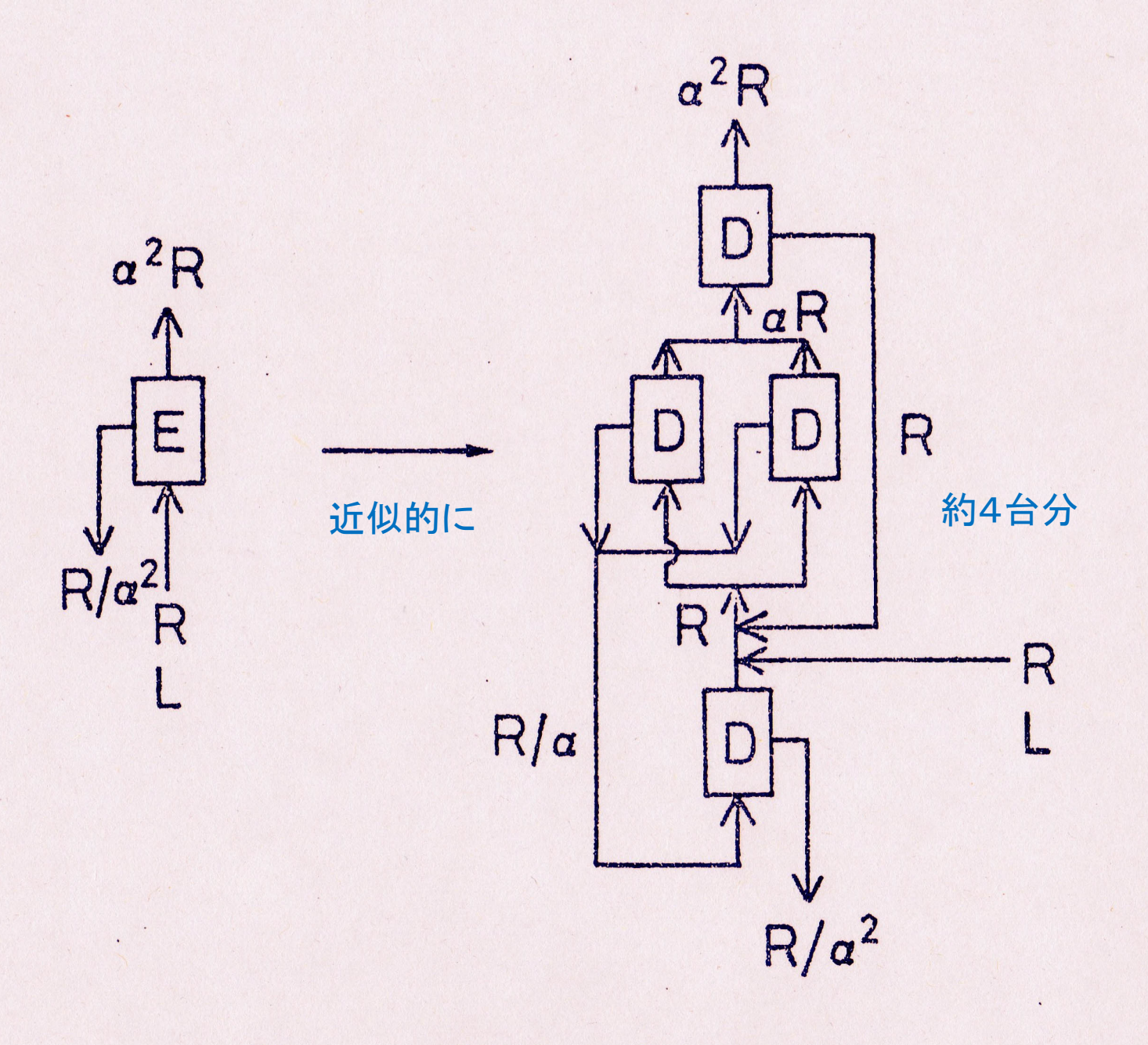


図 4.4: 分離係数が  $\alpha^2$  の分離要素

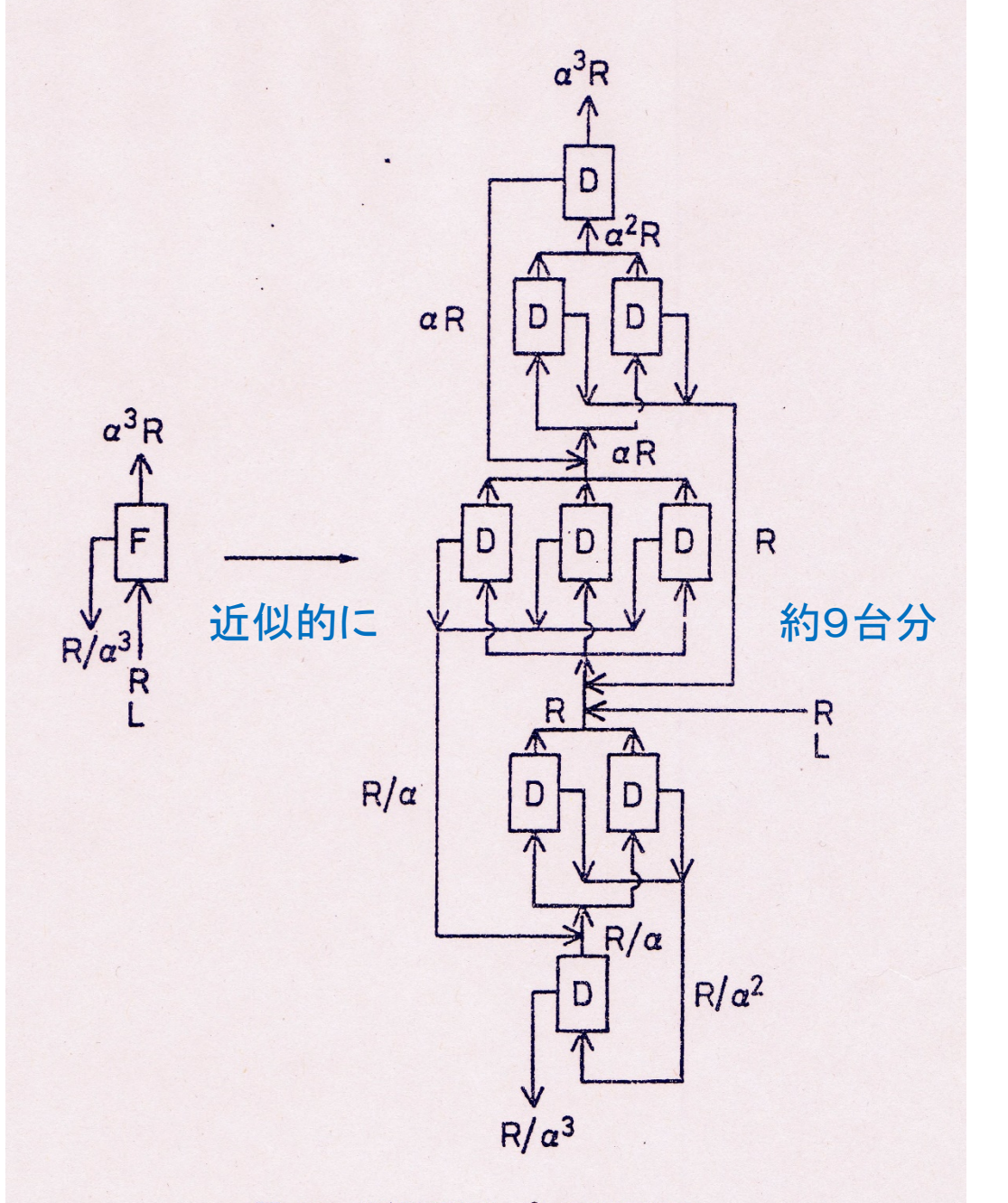


図 4.5: 分離係数が  $\alpha^3$  の分離要素

## 分離パワーに対する P.A.M.Dirac の考え方①

### 混合物の価値を考える

$$U(L,x) = L \cdot V(x)$$

分離要素の仕事は、 要素通過前後の価値の差し引き

$$\delta U = U(L', x') + U(L'', x'') - U(L, x)$$
  
=  $L[\theta V(x') + (1 - \theta)V(x'') - V(x)]$ 

濃縮、減損の程度が小さければ、 Taylor展開可能(極微小分離過程)

$$\delta U = V(x)[\theta L + (1-\theta)L - L]$$
 物質収支で消える +  $\frac{dV(x)}{dx}[\theta L(x'-x) + (1-\theta)L(x''-x)]$  +  $\frac{d^2V(x)}{dx^2}\left[\theta L\frac{(x'-x)^2}{2} + (1-\theta)L\cdot\frac{(x''-x)^2}{2}\right]$  + ..... 残るのは2階微分の項

より高次の項は微小なのでゼロとおく

## 分離パワーに対する P.A.M.Dirac の考え方②

### 整理すると

$$\delta U = \frac{d^2 V(x)}{dx^2} \left[ \theta L \frac{\varepsilon_h^2}{2} x^2 (1 - x^2) + (1 - \theta) L \frac{\theta^2}{(1 - \theta)^2} \frac{\varepsilon_h^2}{2} x^2 (1 - x)^2 \right]$$

$$= \frac{\theta}{1 - \theta} \frac{L \varepsilon_h^2}{2} \cdot \frac{d^2 V(x)}{dx^2} [x (1 - x)]^2$$

分離の仕事は供給濃度に依存してはいけない(価値関数の導出)

$$\frac{d^2V(x)}{dx^2} = \frac{1}{[x(1-x)]^2} \longrightarrow V(x) = (2x-1)\ln R = (2x-1)\ln \frac{x}{1-x}$$

### 対称分離要素の分離パワー

対称

symmetric

 $\alpha = \beta$ 

非対称

asymmetric

 $\alpha \neq \beta$ 

$$\frac{\delta U}{L} = \theta V(R') + (1 - \theta)V(R'') - V(R)$$
$$= (Rによらない関数) = \varphi(\alpha)$$

### 解くべき関数方程式:実は漸化式(大学入試レベル)に変形して容易に解ける

$$\varphi = \frac{1}{\alpha + 1} \cdot \frac{1 + \alpha R}{1 + R} V(\alpha R) + \frac{\alpha}{\alpha + 1} \cdot \frac{1 + R/\alpha}{1 + R} V(R/\alpha) - V(R)$$

## 対称分離要素の分離パワー②

$$V(R) = \varphi \cdot \frac{\alpha + 1}{\alpha - 1} \cdot \frac{1}{\ln \alpha} \cdot \frac{R - 1}{R + 1} \ln R$$

$$\varphi = \frac{\alpha - 1}{\alpha + 1} \ln \alpha$$

### 価値関数

$$V(R) = \frac{R-1}{R+1} \ln R = (2x-1) \ln \frac{x}{1-x}$$

### 対称分離の分離パワー

$$\delta U = L \cdot \frac{\alpha - 1}{\alpha + 1} \ln \alpha$$

### 極微小分離ならば

$$\delta U = \frac{\varepsilon^2}{2} L$$

## 非対称分離要素の分離パワー①

非対称分離プロセスの価値関数 V(R) は次の関数方程式

$$\frac{\delta U}{L} = \varphi(\alpha, \beta)$$

$$= \theta V(\alpha R) + (1 - \theta)V(R/\beta) - V(R)$$

$$= \frac{\beta - 1}{\alpha \beta - 1} \cdot \frac{1 + \alpha R}{1 + R} V(\alpha R) + \frac{\beta(\alpha - 1)}{\alpha \beta - 1} \left(\frac{1 + R/\beta}{1 + R}\right) V(R/\beta) - V(R)$$

を満足しなければならない。ここで  $\varphi(\alpha,\beta)$  は単位流量あたりの分離パワーである。こ

この解は1960年、遠心分離機開発に携わっていたボン大学の研究者達(W.Bulang,W.Groth  $et\ al.$ )によって示された。脚注によれば、解いたのは同大学機械数学研究所のP.Muller. しかし、解法は示されていない。

## 非対称分離要素の分離パワー②

これを解いてみたら 
$$V(R) = \frac{A+BR}{1+R} + \varphi(\alpha, \beta) \frac{bR-a}{1+R} \ln R$$
 この関数形は  $1+R$  何でも $OK!!!$ 

ただし、A、B は任意定数であり、a、b は

$$\alpha$$
とβとを入れ替えた式 
$$\frac{1}{a} = \frac{\beta(\alpha - 1)\ln\beta - (\beta - 1)\ln\alpha}{\alpha\beta - 1}$$

Bulang, Groth 
$$et$$
  $al.$ の に  $\frac{1}{b} = \frac{\alpha(\beta-1)\ln\alpha - (\alpha-1)\ln\beta}{\alpha\beta - 1}$ 

価値関数を支配する関数方程式を解くだけでは分離パワーの関数形を決めることは不可能

どちらの式が適切か? 1977年掲載 (金川, 山本の実用的解決法)

## 価値関数一般式

$$V(R) = \varphi(\alpha, \beta) \frac{bR - a}{R + 1} \ln R$$

$$\frac{1}{a} = \frac{\beta(\alpha - 1) \ln \beta - (\beta - 1) \ln \alpha}{\alpha \beta - 1}$$

$$\frac{1}{b} = \frac{\alpha(\beta - 1) \ln \alpha - (\alpha - 1) \ln \beta}{\alpha \beta - 1}$$

価値関数の式の中に分離係数が含まれている

## 価値関数の式の中に分離係数が含まれている ことによって生じる不都合

- ・カスケードの分離パワーが構成要素の分離係数に依存する.
- 分離係数が異なる多種類の分離要素で構成されるカスケードの分離パワーを計算する時、分離係数依存項を決めることは困難.
- 実用的に解決したにしても、カスケードの供給流、濃縮流、減損流の モル分率条件で分離パワーの関数形が異なる.
- ・カスケードは巨視的に見れば一つの非対称分離要素.したがってカスケード全体の濃縮側分離係数と減損側分離係数で分離パワーが計算できるはず.しかし、どちらの関数形を用いても、価値関数から計算した分離パワーの値と一致しない.

# 非対称分離パワーに内在する矛盾の原因を解明(1977年掲載)

$$\delta U_b = G_b' V_b(\alpha R) + G_b'' V_b(R/\beta) - G_b V_b(R) 
= G_b [\eta V_b(\alpha R) + \overline{\eta} V_b(R/\beta) - V_b(R)] 
= G_b \varphi_b(\alpha, \beta) 
\ge B 成分$$

$$\delta U_a = G_a' V_a(\alpha R) + G_a'' V_a(R/\beta) - G_a V_a(R) 
= G_a [\zeta V_a(\alpha R) + \overline{\zeta} V_a(R/\beta) - V_a(R)]$$

非注目成分



 $= G_a \varphi_a(\alpha, \beta)$ 

$$\varphi_b(\alpha, \beta) = \eta V_b(\alpha R) + \overline{\eta} V_b(R/\beta) - V_b(R)$$
  
$$\varphi_a(\alpha, \beta) = \zeta V_a(\alpha R) + \overline{\zeta} V_a(R/\beta) - V_a(R)$$

価値関数 
$$V_b(R) = \ln R$$
 (分離係数を含まず)  $V_a(R) = -\ln R$ 

今まで提案されてきた関数形は、それぞれ 注目成分、非注目成分に関する分離パワーである!

$$\varphi_b(\alpha, \beta) = \frac{\alpha(\beta - 1)\ln\alpha - (\alpha - 1)\ln\beta}{\alpha\beta - 1} = \frac{1}{b}$$

$$\varphi_a(\alpha, \beta) = \frac{\beta(\alpha - 1)\ln\beta - (\beta - 1)\ln\alpha}{\alpha\beta - 1} = \frac{1}{a}$$

P.A.M.Dirac 等が 分離パワーに対して要請した条件は, ウラン235 と 238 の流量合計では満足されず, 成分ごとに満足される.

### カスケード全体の分離パワーと単位流量当たりの 注目成分、非注目成分に関する分離パワーとの関係

$$\delta U = \varphi(\alpha, \beta)L$$
 注目成分と  
 $= \varphi(\alpha, \beta)[G_b + G_a]$  個性を消している  
 $= \varphi(\alpha, \beta)\left[\frac{\delta U_b}{\varphi_b(\alpha, \beta)} + \frac{\delta U_a}{\varphi_a(\alpha, \beta)}\right]$   
a と b のどちらを選ぶか?

$$V(R) = \varphi(\alpha, \beta) \left[ \frac{R}{1+R} \cdot \frac{\ln R}{\varphi_b(\alpha, \beta)} + \frac{1}{1+R} \cdot \frac{-\ln R}{\varphi_a(\alpha, \beta)} \right]$$

$$V(R) = \varphi(\alpha, \beta) \cdot \frac{bR - a}{1 + R} \ln R$$

$$G_b = xL = \frac{R}{1+R}L$$

$$G_a = (1-x)L = \frac{1}{1+R}L$$

$$\begin{cases}
G_b = xL = \frac{R}{1+R}L \\
G_a = (1-x)L = \frac{1}{1+R}L
\end{cases}$$

$$\begin{cases}
\delta U_T = F \cdot \varphi(\alpha, \beta) \left[ x_F \frac{\varphi_b(\alpha_T, \beta_T)}{\varphi_b(\alpha, \beta)} + (1-x_F) \frac{\varphi_a(\alpha_T, \beta_T)}{\varphi_a(\alpha, \beta)} \right]$$

$$= \varphi(\alpha, \beta) \left[ \frac{(\delta U_b)_T}{\varphi_b(\alpha, \beta)} + \frac{(\delta U_a)_T}{\varphi_a(\alpha, \beta)} \right]$$

# (通常の意味の)分離パワーと成分毎の分離パワーとの関係

微小分離,対称分離に対する(通常の意味での)価値関数

$$V(x) = (2x - 1) \ln R = (2x - 1) \ln \frac{x}{1 - x}$$

$$\delta U_{sym} = L \left[ \frac{R}{R+1} \varphi_b(\alpha, \beta) + \frac{1}{R+1} \varphi_a(\alpha, \beta) \right]$$

$$= G_b \varphi_b(\alpha, \beta) + G_a \varphi_a(\alpha, \beta) \qquad \qquad \text{従来計算されていた 分離パワーの 新しい意味づけ}$$

### (全分離係数の値がカットによらず一定との近似で) 分離パワーを最大にするカット

$$\delta U \simeq F\varphi_a(\alpha, \beta) = F \cdot \ln \frac{\theta(\alpha\beta - 1) + 1}{(\alpha\beta)^{\theta}}$$

$$0 = \frac{d(\delta U/F)}{d\theta} = \frac{d\varphi_a}{d\theta} \quad \stackrel{\text{カットで微分して}}{\text{ゼロとおく}}$$

$$= \frac{(\alpha\beta)^{\theta}}{\theta(\alpha\beta - 1) + 1} \cdot \frac{d}{d\theta} \left[ \frac{\theta(\alpha\beta - 1) + 1}{(\alpha\beta)^{\theta}} \right]$$

$$= \frac{\alpha\beta - 1}{\theta(\alpha\beta - 1) + 1} - \ln(\alpha\beta).$$

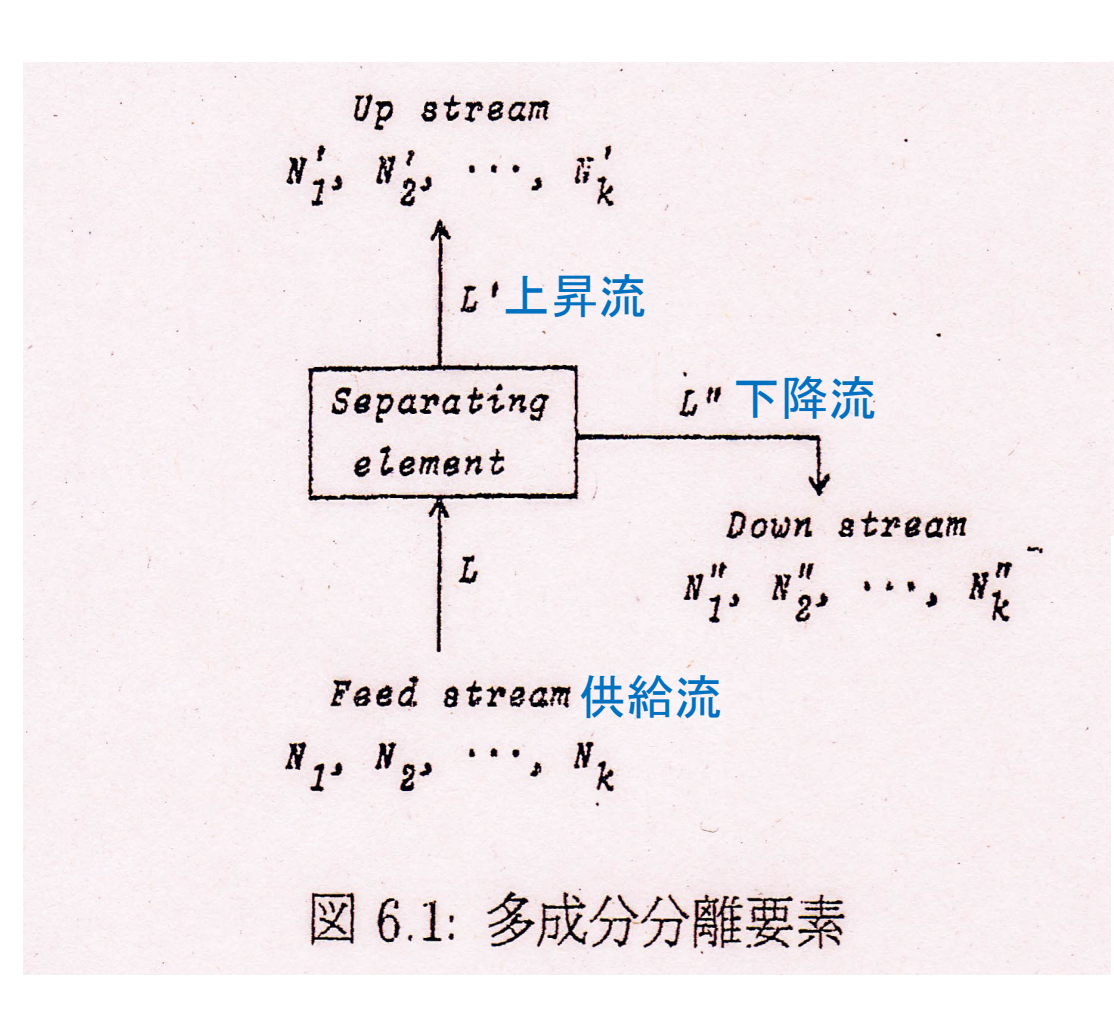
$$\theta_{opt}^{x_F \simeq 0} = \frac{1}{\ln(\alpha\beta)} - \frac{1}{\alpha\beta - 1}$$

表 4.1:  $\alpha\beta$  の大きさと  $x_F \ll 1$  の最適カットとの関係

$\alpha\beta$	$\theta_{opt}$	$\alpha^{opt}$	$\beta^{opt}$	$arphi_a^{opt}$
1.1	0.492	1.0484	1.0492	1.135E-3
1.5	0.466	1.2164	1.2331	0.0205
2.0	0.443	1.3863	1.4427	0.0597
5.0	0.371	2.0118	2.4853	0.3128
10	0.323	2.5584	3.9087	0.6190
$10^{2}$	0.207	4.6517	21.4976	2.1145
$10^{3}$	0.144	6.9147	144.620	3.9810
$10^{4}$	0.108	9.2113	1,085.63	5.9908
$10^{5}$	0.0868	11.513	8,685.8	8.0696
$10^{6}$	0.0724	13.816	72,382.3	10.1897

分離係数が大きくなるほど最適カットが減少

## 多成分分離理論①



$$L = \sum_{j=1}^{k} G_j$$
,  $L' = \sum_{j=1}^{k} G'_j$ ,  $L'' = \sum_{j=1}^{k} G''_j$ 

モル分率  $x_j$  は

$$x_j = G_j/L \quad (j = 1, 2, \cdots, k)$$

上昇流,下降流との間に物質収支の関係

$$G_j = G'_j + G''_j \quad (j = 1, 2, \dots, k)$$
  
 $L = L' + L''$ 

## 多成分分離理論②

$$R_j \equiv G_j/G_k$$
 分母にくる成分を基準成分と呼ぶ  $= x_j/x_k$   $(j = 1, 2, \dots, k-1)$ 

 $\theta = L'/L$ ,  $\bar{\theta} = L''/L$ 

上昇流,下降流への存在比の変化を分離係数

$$\alpha_j \equiv R'_j/R_j$$

$$\beta_j \equiv R_j/R''_j \quad (j = 1, 2, \dots, k-1)$$

また、各成分に関するカットを基準成分を除いて

$$\eta_j \equiv G'_j/G_j, \quad \overline{\eta} \equiv G''_j/G_j \quad (j=1, 2, \dots, k-1)$$

と定義し、基準成分に関しては、

$$L = G_{k} \left[ 1 + \sum_{j=1}^{k-1} R_{j} \right]$$

$$L' = G'_{k} \left[ 1 + \sum_{j=1}^{k-1} \alpha_{j} R_{j} \right]$$

$$L'' = G''_{k} \left[ 1 + \sum_{j=1}^{k-1} R_{j} / \beta_{j} \right]$$

$$\zeta \equiv G'_k /, \quad \overline{\zeta} \equiv G''_k / G_k$$

# 多成分分離理論③

$$k-1$$
  $\sum_{j=1}^{k-1}(G_k-\alpha_j\ G_k'-G_k''/eta_j)R_j=0$  どんな  $R$  に対しても成立: $R$  の係数はゼロ 初めて注目成分に関するカットを導出した時の技法

### 多成分分離要素の分離係数に課せられる条件

$$\zeta = \frac{G'_k}{G_k} = \frac{\beta_j - 1}{\alpha_j \beta_j - 1} = (j0) 値によらない) \quad (j = 1, 2, \dots, k - 1)$$
全分離係数 $\alpha\beta$ を勝手に $\alpha$ ,  $\beta$ に分割できない

## 多成分分離カスケード方程式

### 第 i 段の成分ごとの流量バランス式

$$(G_{j})_{i} = (\eta_{j})_{i-m}(G_{j})_{i-m} + (\overline{\eta}_{j})_{i+n}(G_{j})_{i+n} + \delta_{if}(G_{j})_{F}$$

$$(j = 1, 2, \dots, k-1)$$

$$(G_{k})_{i} = (\zeta)_{i-m}(G_{k})_{i-m} + (\overline{\zeta})_{i+n}(G_{k})_{i+n} + \delta_{if}(G_{k})_{F}$$

複雑な非線型方程式を成分の数の線型方程式群に分解



計算時間を桁違いに短縮

## 多成分分離パワーを支配する式の解を導出①

$$arphi = heta V(\overrightarrow{\alpha R}) + \overline{ heta} V(\overrightarrow{R/\beta}) - V(\vec{R})$$
,この式を満足する  $\vee$  の関数形は?

$$\overrightarrow{\alpha R} = (\alpha_1 R_1, \alpha_2 R_2, \cdots, \alpha_{k-1} R_{k-1}) 
\overrightarrow{R/\beta} = (R_1/\beta_1, R_2/\beta_2, \cdots, R_{k-1}/\beta_{k-1}) 
\overrightarrow{R} = (R_1, R_2, \cdots, R_{k-1})$$

## 多成分分離パワーを支配する式の解を導出②

各成分 
$$\delta U_j = G_j \varphi_j(\alpha_j, \beta_j)$$
  
 $= G_j [\eta_j V_b(\alpha_j R_j) + \overline{\eta}_j V_b(R_j/\beta_j) - V_b(R_j)]$   $\}$   $V_b(R) = \ln R$ 

$$(\delta U_k)_j = G_k \varphi_a(\alpha_j, \beta_j)$$

$$= G_k [\zeta V_a(\alpha_j R_j) + \overline{\zeta} V_a(R_j/\beta_j) - V_a(R_j)]$$

$$V_a(R) = -\ln R$$

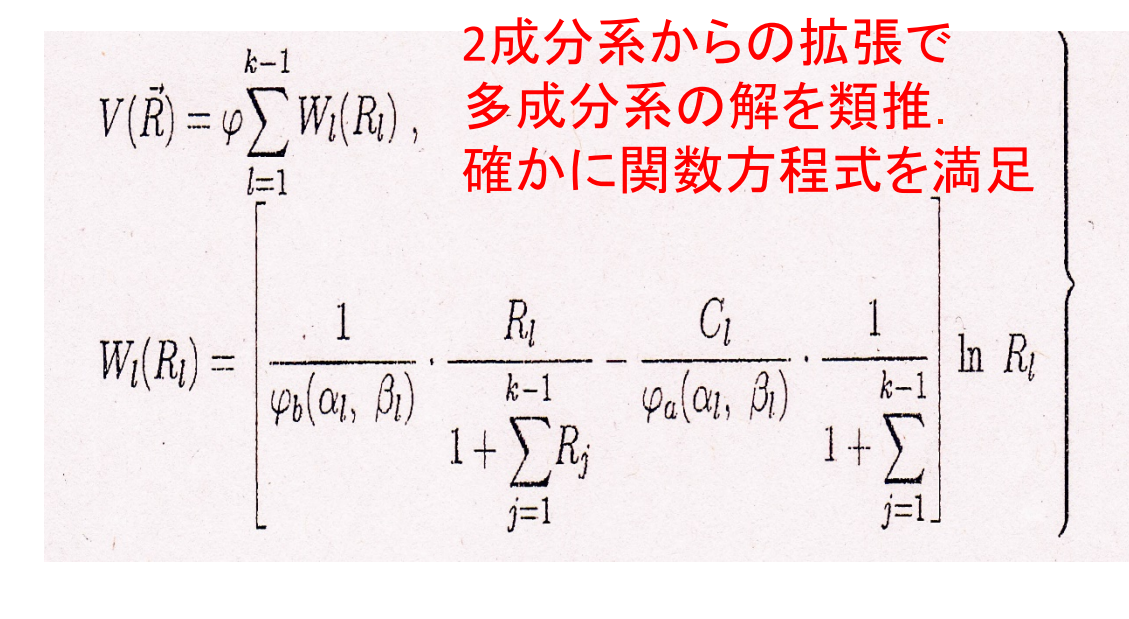
tetel 
$$arphi_b(lpha,\ eta) = arphi_a(eta,\ lpha) = rac{lpha(eta-1)\lnlpha-(lpha-1)\lneta}{lphaeta-1}$$

## 多成分分離パワーを支配する式の解を導出(3)

### 2成分

$$\delta U = \varphi(\alpha, \beta) \cdot L = \varphi(\alpha, \beta) [G_b + G_a]$$

$$= \varphi(\alpha, \beta) \left[ \frac{\delta U_b}{\varphi_b(\alpha, \beta)} + \frac{\delta U_a}{\varphi_a(\alpha, \beta)} \right]$$



### 類推

### 多成分

$$\delta U = \varphi \sum_{l=1}^{k-1} \left[ \frac{\delta U_l}{\varphi_b(\alpha_l, \beta_l)} + C_l \frac{(\delta U_k)_l}{\varphi_a(\alpha_l, \beta_l)} \right]$$

$$\delta U = \varphi \sum_{l=1}^{k-1} \left[ \frac{\delta U_l}{\varphi_b(\alpha_l, \beta_l)} + C_l \frac{(\delta U_k)_l}{\varphi_a(\alpha_l, \beta_l)} \right] \qquad V(\vec{x}) = \varphi \sum_{l=1}^{k-1} W_l \left( \frac{x_l}{x_k} \right), \text{ E $\nu$ 分率表記}$$

$$W_l \left( \frac{x_l}{x_k} \right) = \left[ \frac{x_l}{\varphi_b(\alpha_l, \beta_l)} - \frac{C_l x_k}{\varphi_a(\alpha_l, \beta_l)} \right] \ln \frac{x_l}{x_k}$$

## 同位体分離カスケードに関する研究

- ・名古屋大学リポジトリー
- http://hdl.handel.net/2237/6560
- ・日本原燃(株)等, 高性能遠心分離機で構成される ウラン濃縮カスケード設計の現場で 教科書として用いられた

図・本館

同位体分離カスケードに 関する研究

> 名古是大学図書 和 782752

> > 山本一良

### 同位体分離カスケード理論

山本一良

1979



科目名(単位数): 同位体分離(2 単位) 科目区分: 専門科目

対象履修コース: 量子エネルギー 講義 授業形態:

選択/必修: 開講時期: 4年前期 選択

山本 一良 教授 教官:

教育目標: ウラン濃縮,核融合炉燃料水素等同位体分離について,分離法の原

理、分離要素、分離カスケードの考え方等、その初歩を学ぶ、特に、分 離係数の定義、分離評価の概念である分離パワーについて、その科

学的基礎、数学的基礎について習得する.

バックグラウンドになる科目: 移動現象論,原子力燃料サイクル

授業内容 第1週 なぜ同位体分離が必要か?同位体の利用とその意義

第2週 個別分離と統計的分離

第3週 分離係数 その1 第4週 分離係数 その2

第5週 分離要素の数学的モデル、カット、各成分に関するカット

第6週 分離係数の上限値 第7週 カスケードと流量方程式

第8调 分離パワー その1 その考え方と歴史

第9週 分離パワー その2 山本による新概念と数学的基礎

第10週 多成分分離理論

第11週 ウラン濃縮 その1 遠心法

第12週 ウラン濃縮 その2 その他の方法

第13週 水素同位体分離 その1

第14週 水素同位体分離 その2

第15週 期末試験

教科書: 特に指定しない

参考書: 山本 一良 著、「同位体分離カスケード理論」

希望者には実費で配布する

教育方法に関する工夫: 同位体分離にかかわる諸概念について, なぜ, その概念

が用いられるようになったか、なぜ、そのように定義されるのか等、基 本的な考え方を、旧理論体系に内在する数学的困難を取り除き、旧理 論体系を包含する新理論体系を構築した本人がていねいに説明す

評価方法: 筆記試験, 出席小テスト, レポート

連絡先: 山本 一良(内線 3783, i-yamamoto@nucl.nagoya-u.ac.jp)

ウラン濃縮

水素同位体分離

### Dr. Gernot Zippe (Nov.1917~May 2008)

「非対称分離要素で構成されたカスケードについて議論するため」

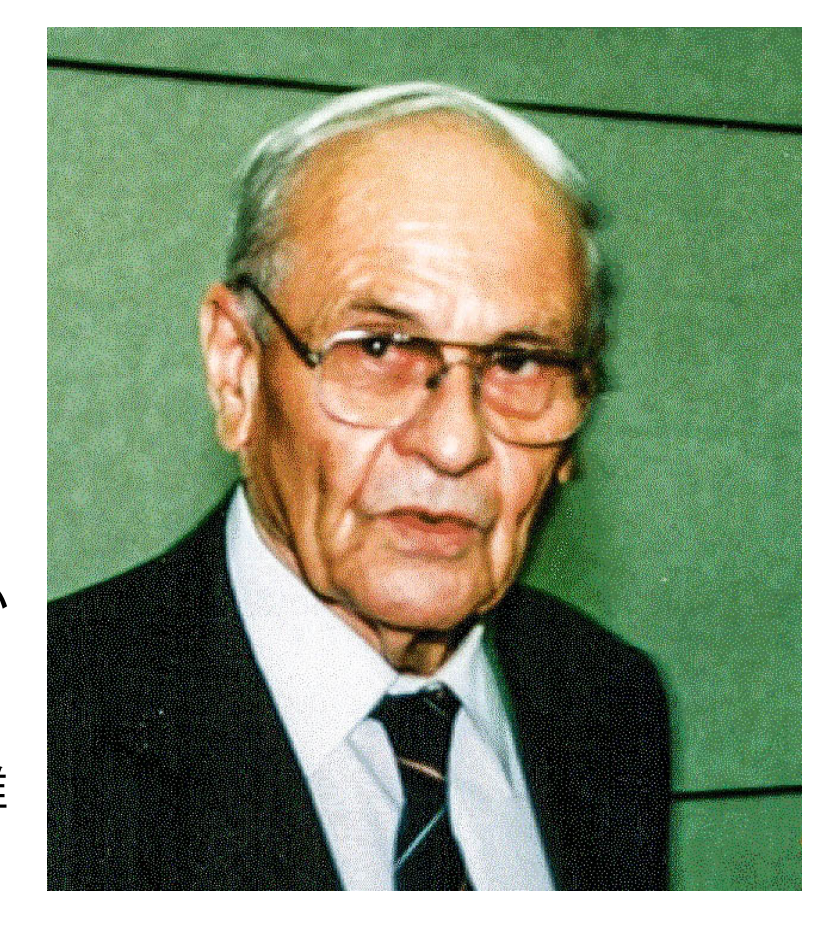
1985年, 東京で開催された

遠心分離ウラン濃縮の国際会議

"Gases in Strong Rotation" に参加した

Dr.G.Zippe に呼び出される.

Dr.G.Zippe: 第2次世界大戦中のドイツで、ウラン濃縮用遠心分離機を開発したリーダー. 敗戦後60名のドイツ人、オーストリア人の科学技術者とともにソ連に抑留され、引き続き遠心分離機を開発. Zippe型遠心分離機を開発して帰国. 世界中のウラン濃縮用遠心分離機は、Dr.Zippeの影響を受けている.



1998年10月撮影(名古屋国際会議場にて)



### 同位体分離研究のための 予備実験装置

熱拡散塔: 昭和49年4月, 京都大学原子炉実験所(大阪府熊取町)から

金川教授使用の装置を貰い受けることから開始.

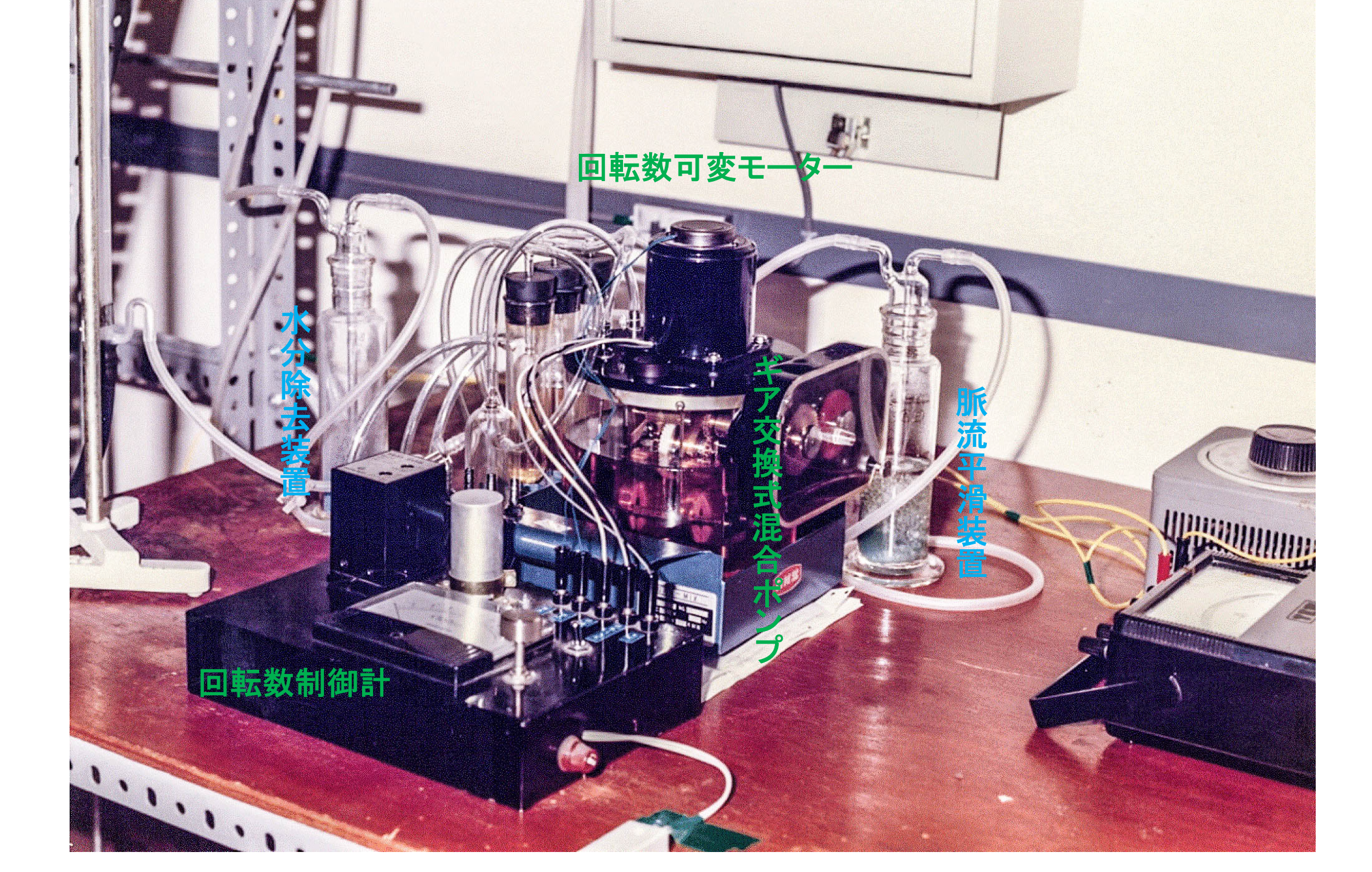
希ガス(Ar同位体)分離用.

水蒸留塔:核融合燃料サイクルで重要なトリチウム分離をターゲットに開始.

## 熱拡散塔(熱拡散現象を利用した分離装置)

- 「熱拡散」とは、「混合流体を温度勾配下に置くと、一般には、重い成分が 低温側に、軽い成分が高温側に移動する現象」のこと。
- 「熱拡散塔」は二重円筒で中心軸に熱線を張り外側を冷却する構造で、熱線と冷壁間の温度勾配により一般に冷壁側に重成分を、熱線側に軽成分を分け、温度勾配によって生じた自然対流で分離を重畳。塔上部に軽成分、塔下部に重成分を濃縮。自然対流が本質的。
- 「熱拡散塔」を用いて、1939年 ドイツの K.Clausius と G.Dickel が塩素同位体分離に成功。 Clausius-Dickel column と呼ばれる。
- ・同年、彼らは6フッ化ウランを用いたウラン濃縮を開始。
- Manhattan Project でも同法を用いて 0.72% の天然ウランから 0.9% 程度の微濃縮に使用。
- 理研でも1943年からウラン濃縮「二号研究」開始。1944年7月に高さ5m の熱拡散塔完成。1945年5月に空襲で焼失。
- Jones-Furry-Onsager が軸方向1次元濃度分布解析理論を完成。







### 赤外線放射温度計

Arと He の混合気体を熱拡散分離すると 重い Ar が塔下部に、軽い He が塔上部に濃縮。

He の熱伝導度は Ar のそれの約9倍(標準状態)。

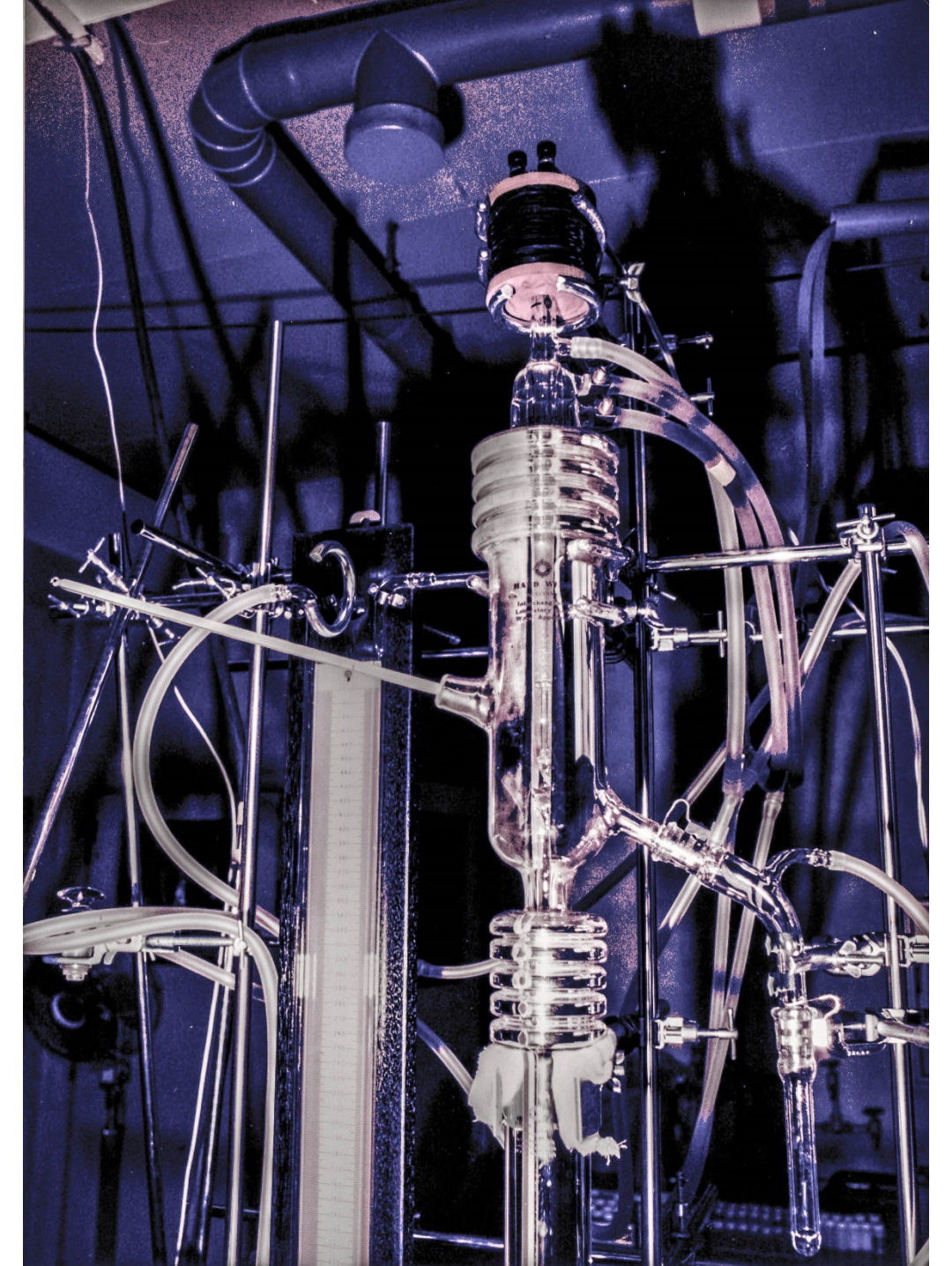
熱線の表面温度は 塔の上部では熱が取られて下がり、 下部では熱が除去され難く上がる。 分離が進むと数百度の差。

熱線は塔下部では 赤熱し、白熱して、遂には切断。

放射温度計で熱線表面温度を監視。混合気体の分離状況も把握できる。

### 蒸留塔(気液界面の相平衡を利用した分離装置)

- 気体と液体の界面で混合物の気液2層平衡。蒸発しやすい成分(低沸点成分) が気体側、蒸発しにくい成分(高沸点成分)が液体側に濃縮。
- 蒸発、凝縮を繰り返して、分離を重畳。したがって、「蒸発、凝縮を行う界面を如何に広くとれるか」が分離度向上の要点。
- ・水の蒸留では、トリチウム水(HTO)が液体側に濃縮。100℃ 1気圧では、軽水 (H2O)との蒸気圧比は、たったの 1.0283
- ・気液接触面を増加させるためには、小規模塔では特に充填物の選択が重要。



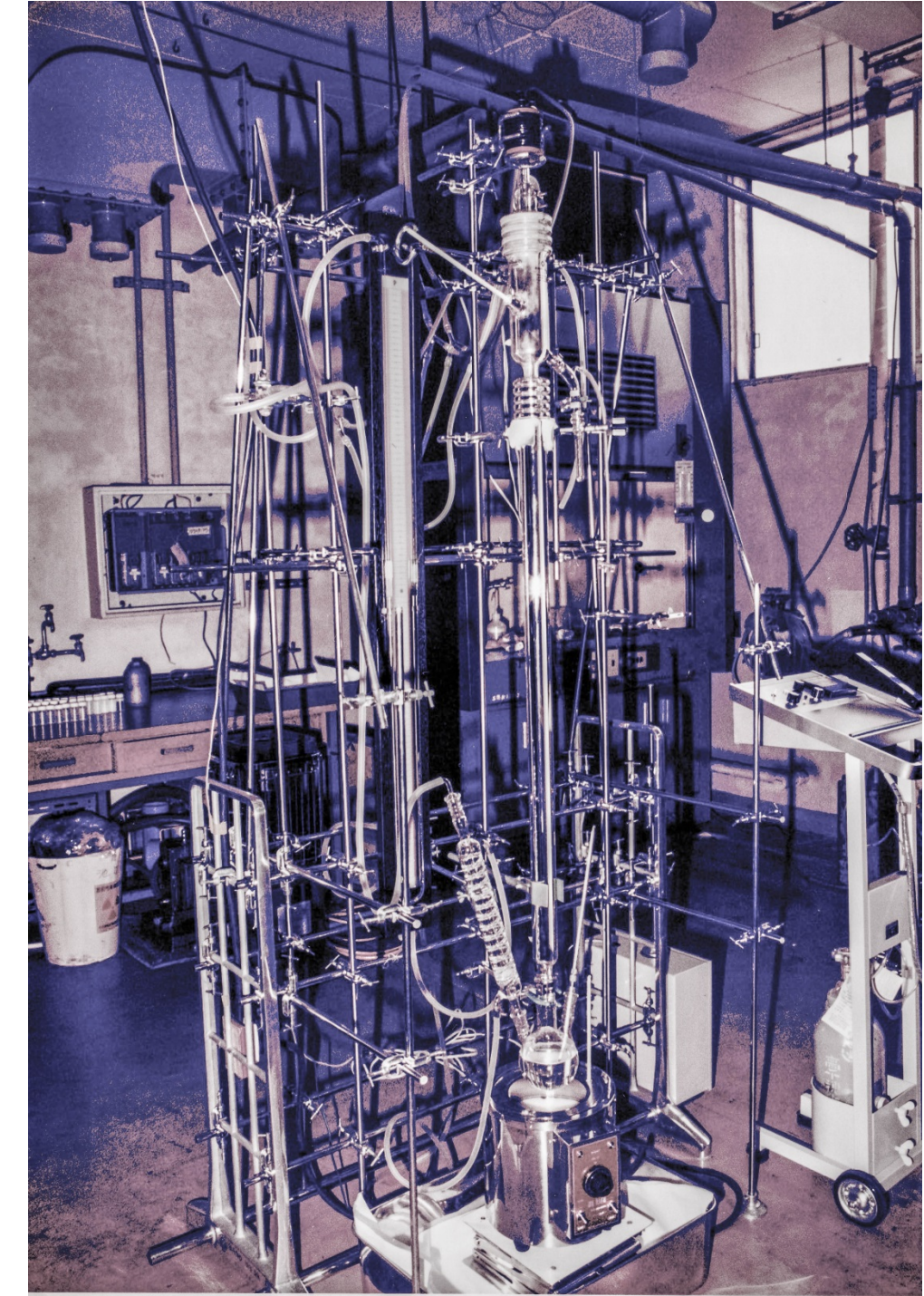


### 水蒸留トリチウム同位体分離塔

原子核第2特別実験室内化学実験室に設置

熱電対保護管を加工したラシヒリングや Dixon タイプ充填物(黄銅製金網から手作り) 各 200 cm を充填





## Los Alamos Scientific Laboratory (LASL)

### 日米科学技術協力(核融合分野)人的交流計画

核融合燃料取扱い技術

第1回派遣研究者に選抜される(1979年夏)

派遣先 Tritium Systems Test Assembly (TSTA),

Los Alamos Scientific Laboratory

期間 当初計画 昭和54年度から 1~3年

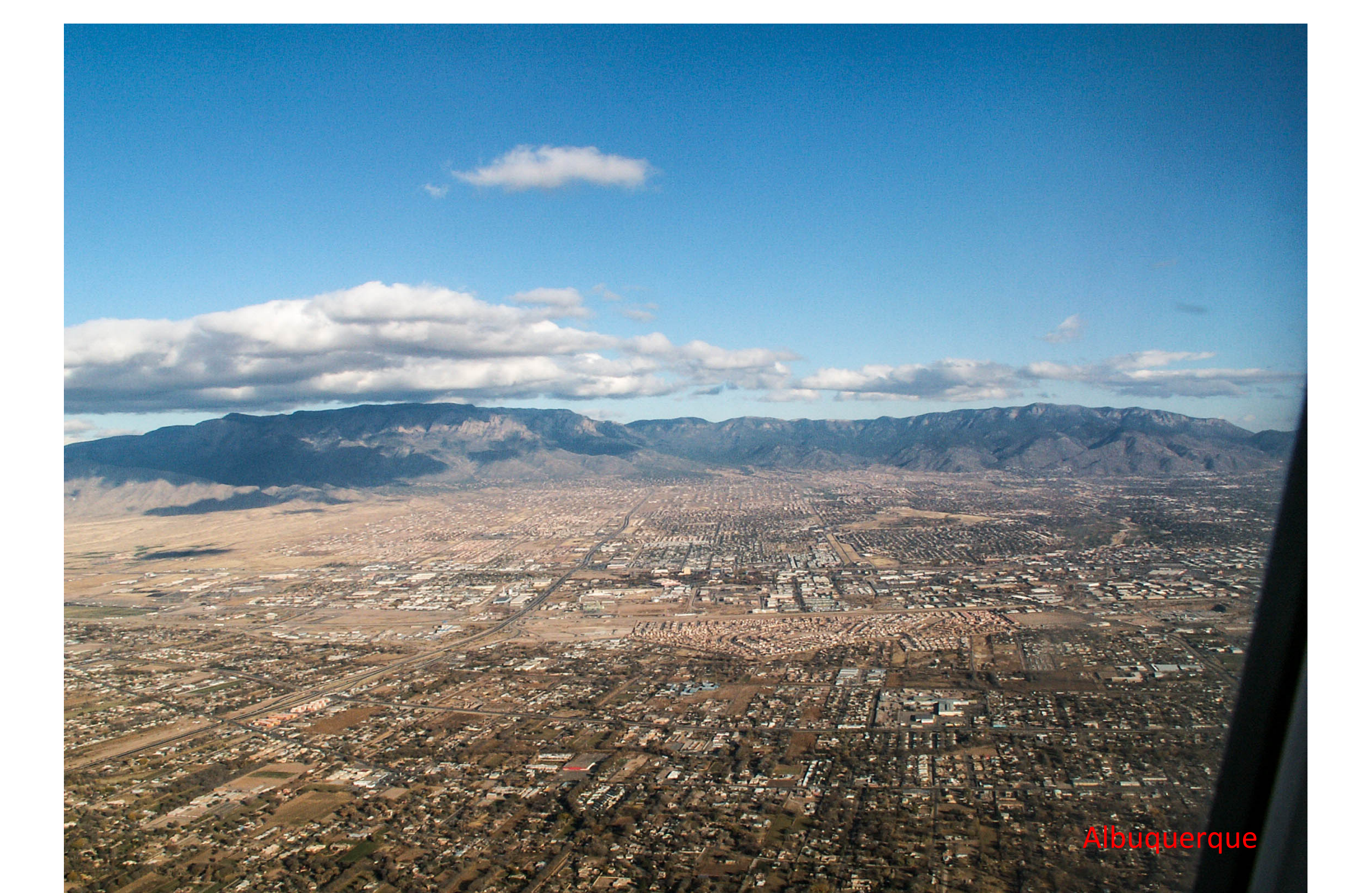
実際 昭和55年2月 成田出国から帰国まで3週間

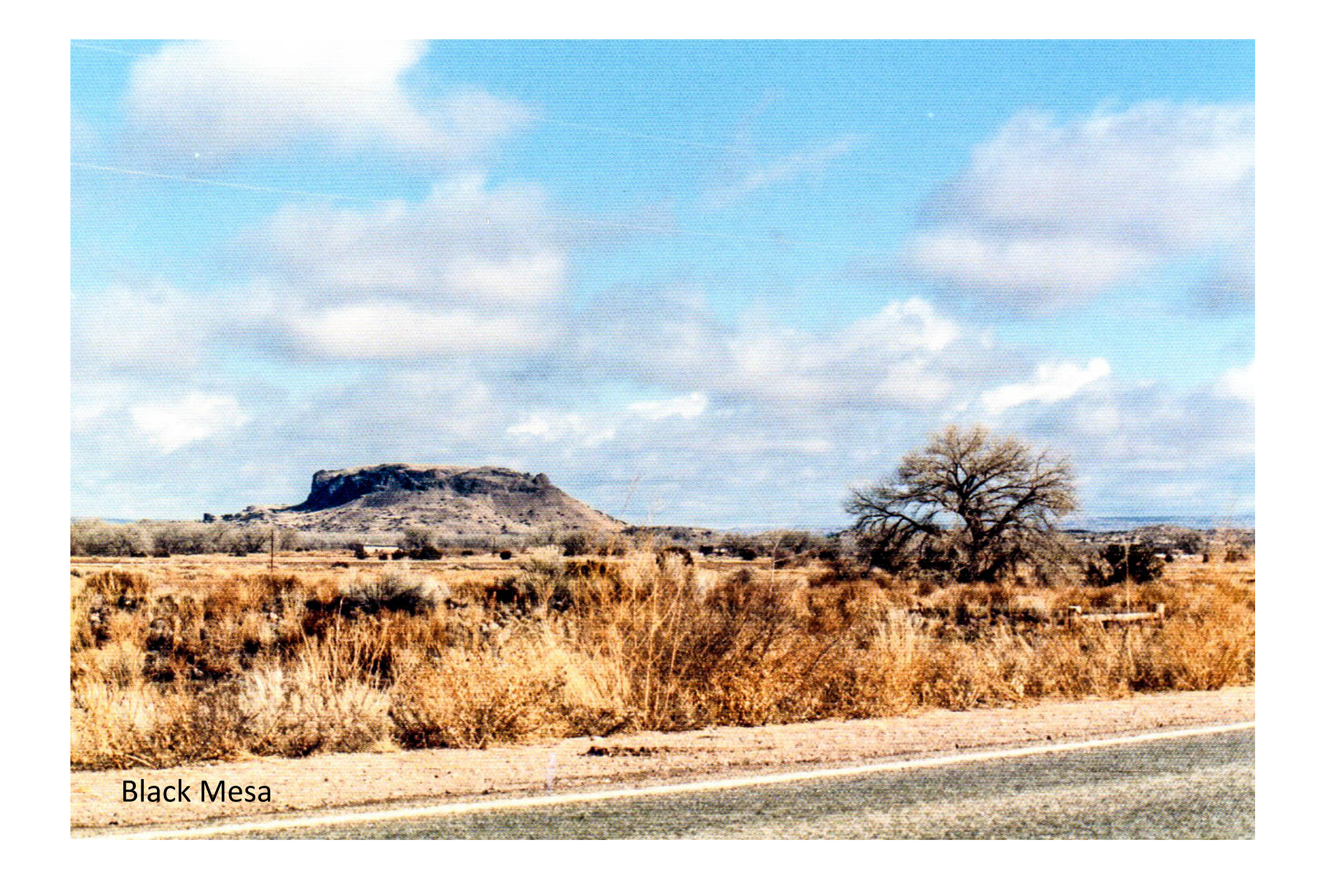
目的トリチウムを用いた実験を実際に行い、

種々のノウハウを身に付けて

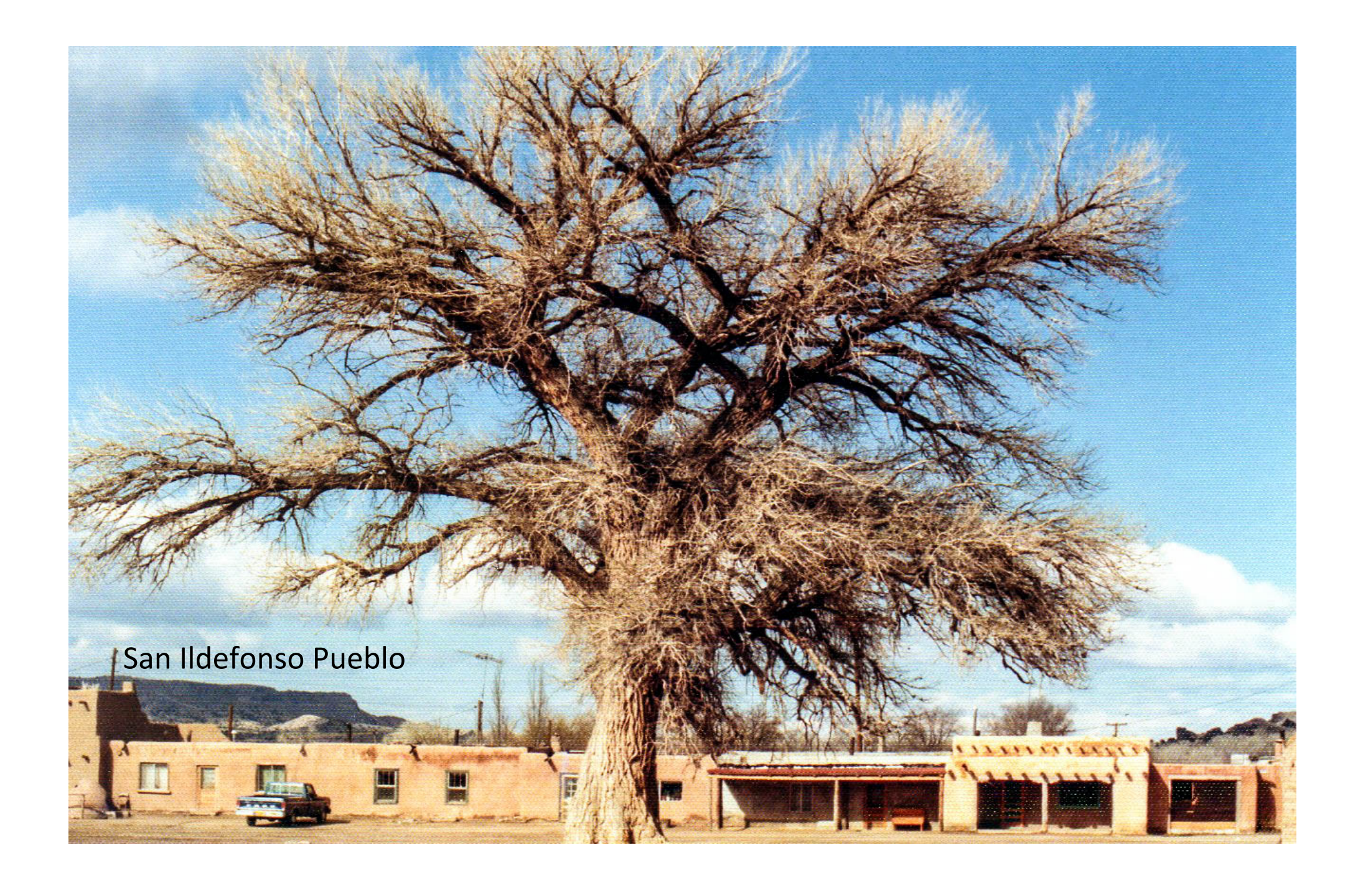
日本に核融合研究トリチウム実験室を作る準備をすること



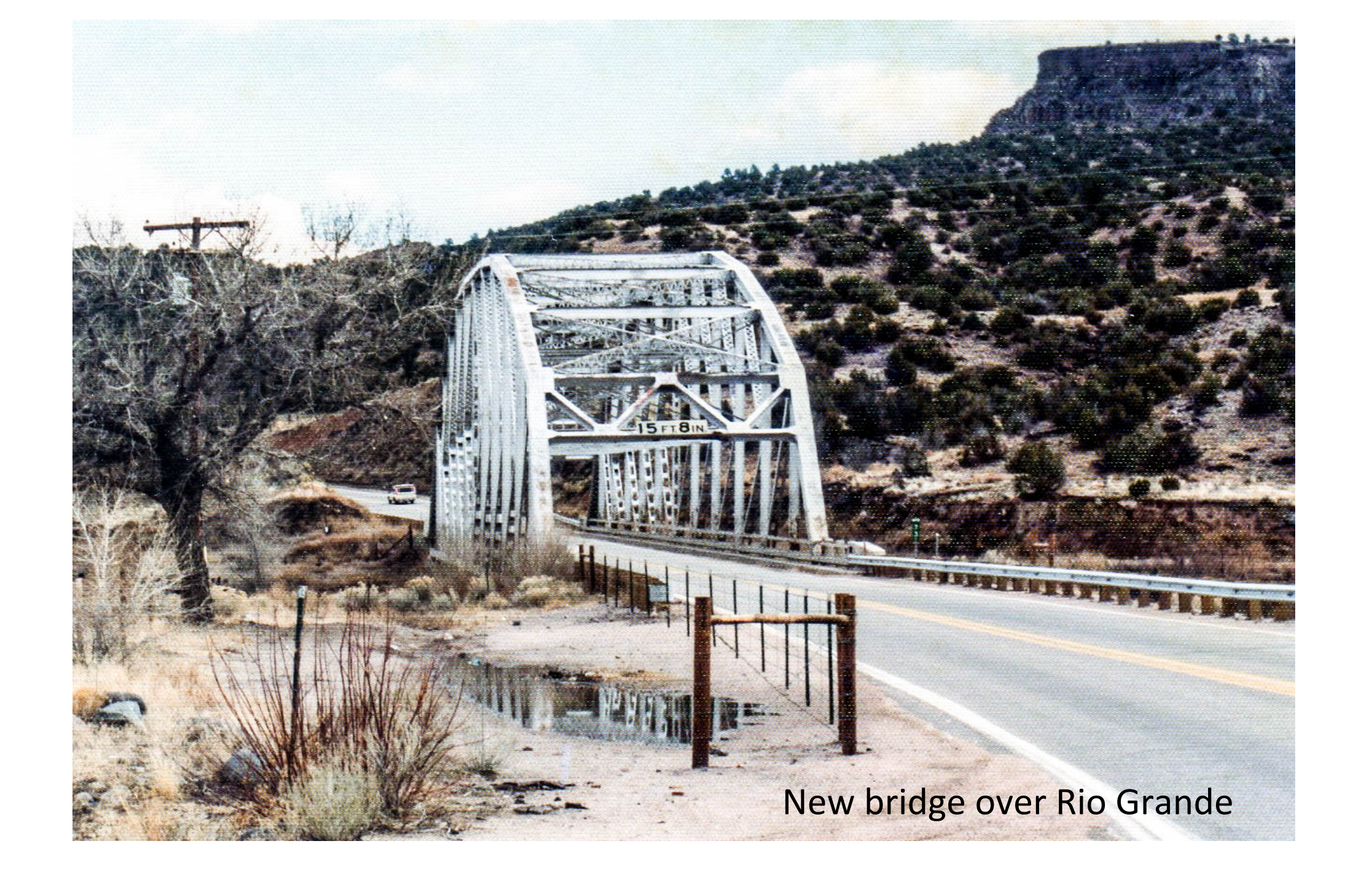


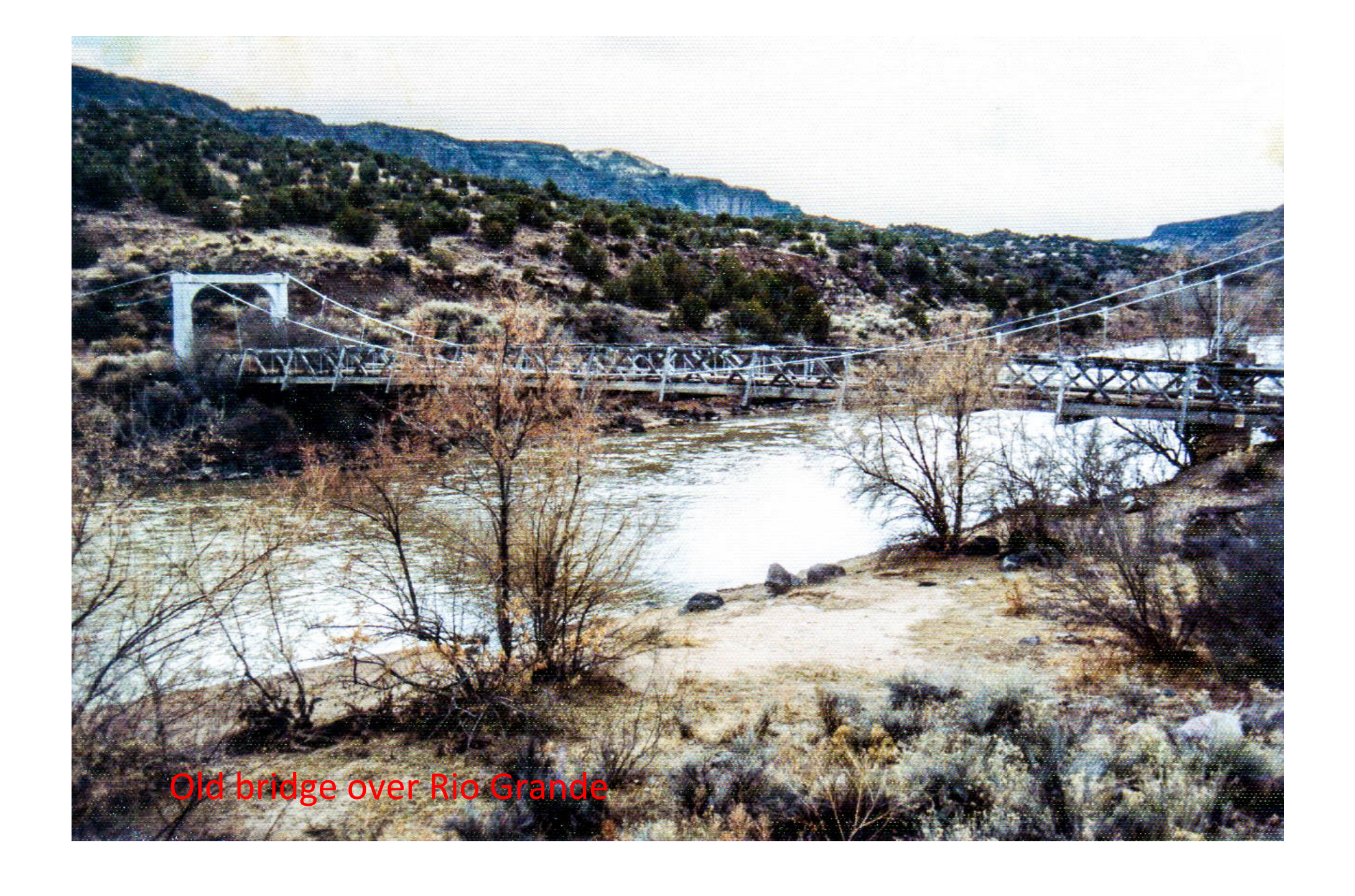


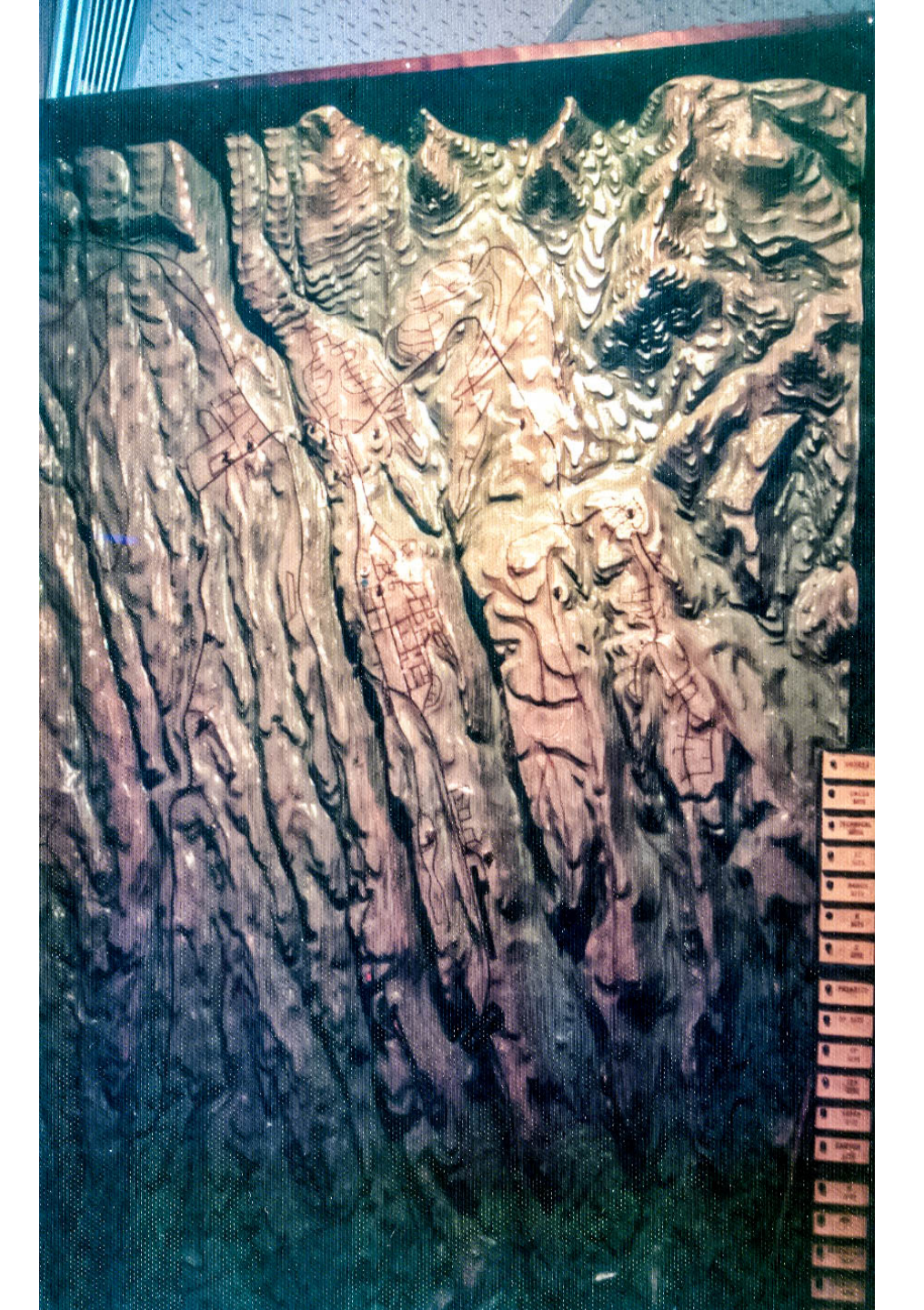












### Los Alamos Scientific Laboratory 付近の地形

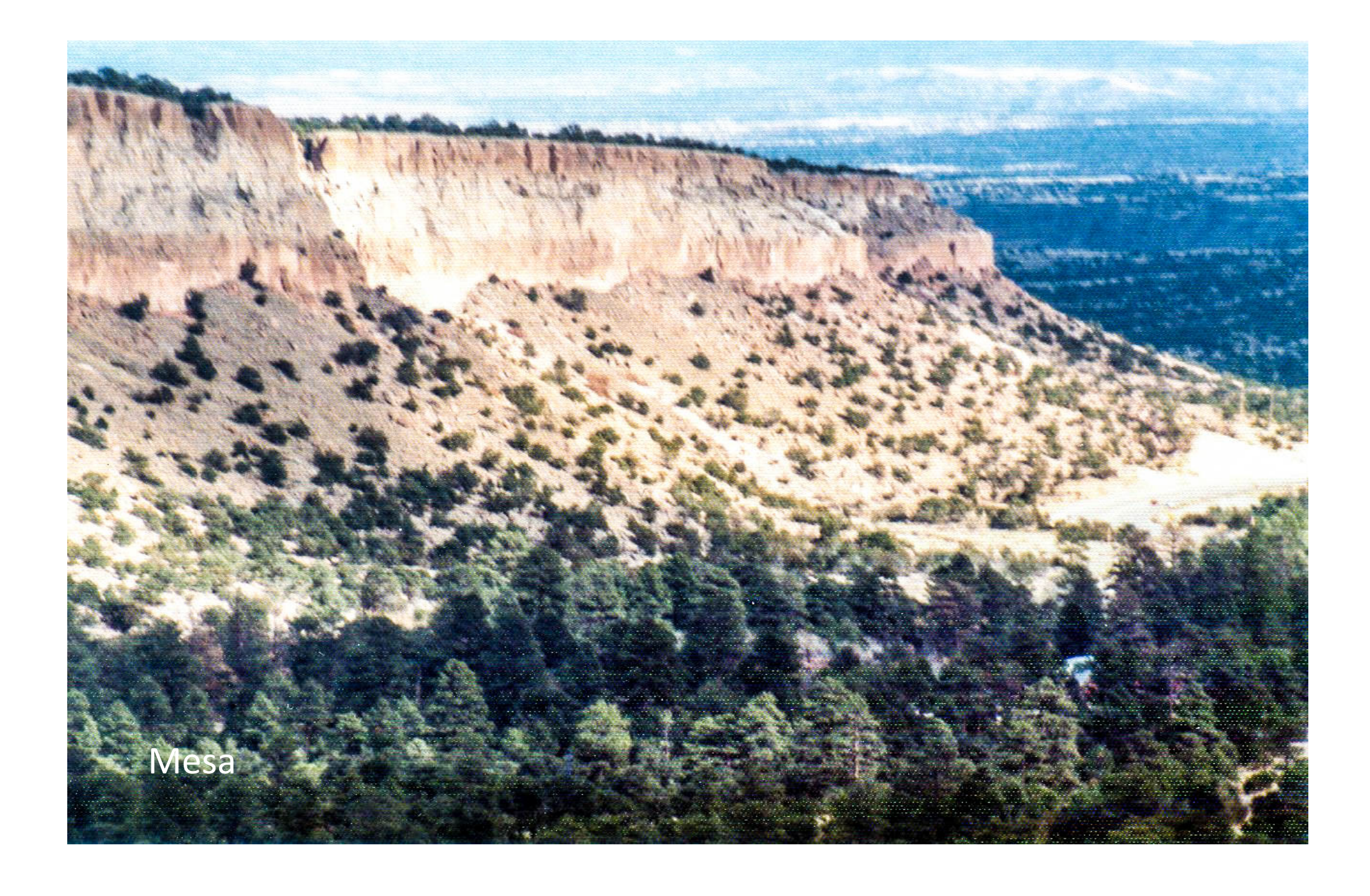
Mesa メサ

頂上が比較的平らで周囲に急な崖を持つ、 Plateaau ほど広くはない台地地形;米国南西部・ メキシコの乾燥地帯によく見られる。(RHD)

研究所の施設は、メサの上に点在。 隣のメサの施設に行くには 扇のように広がるメサの要の点まで戻る必要

Norris E. Bradbury Science Museum, LASL



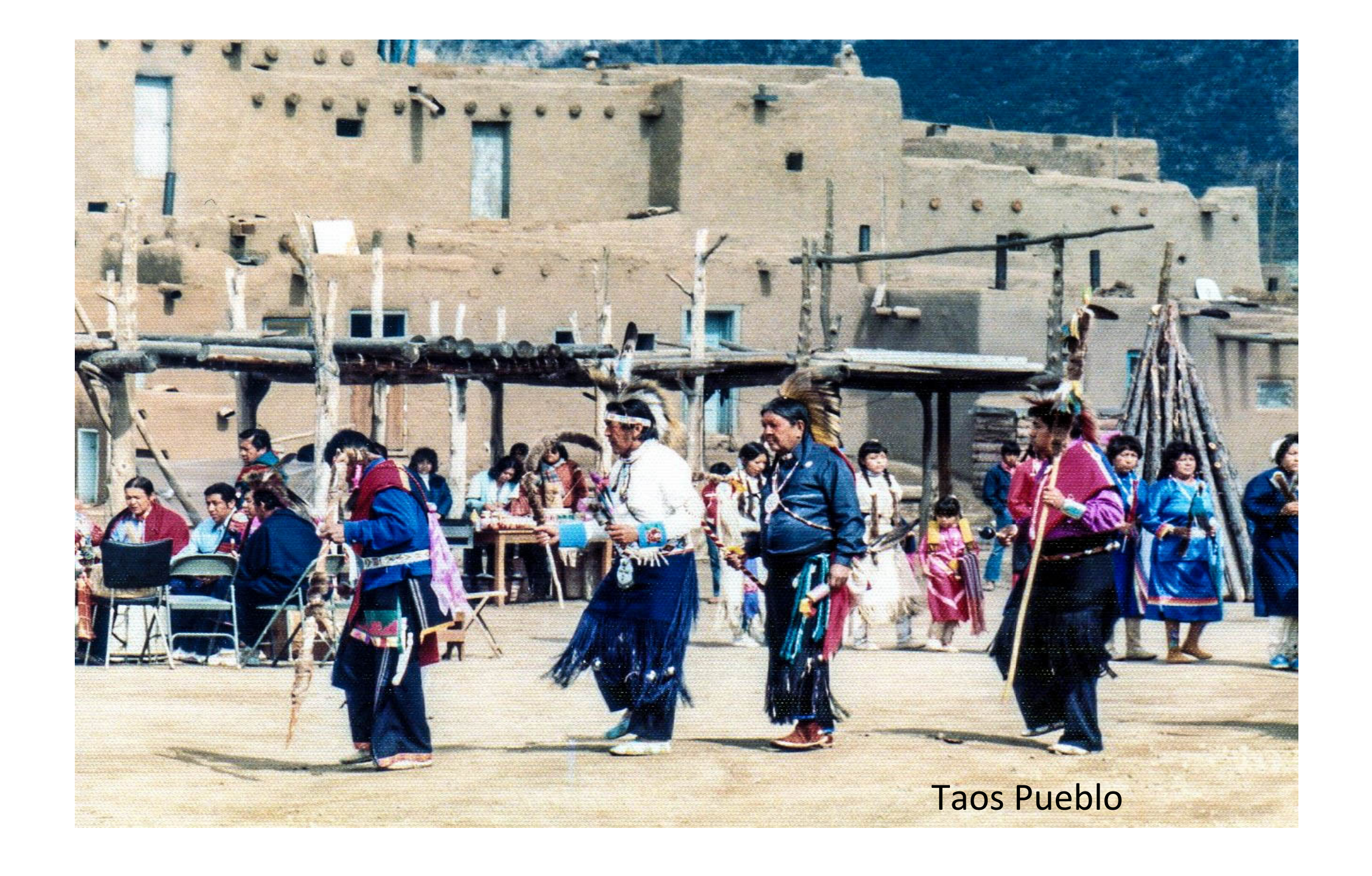












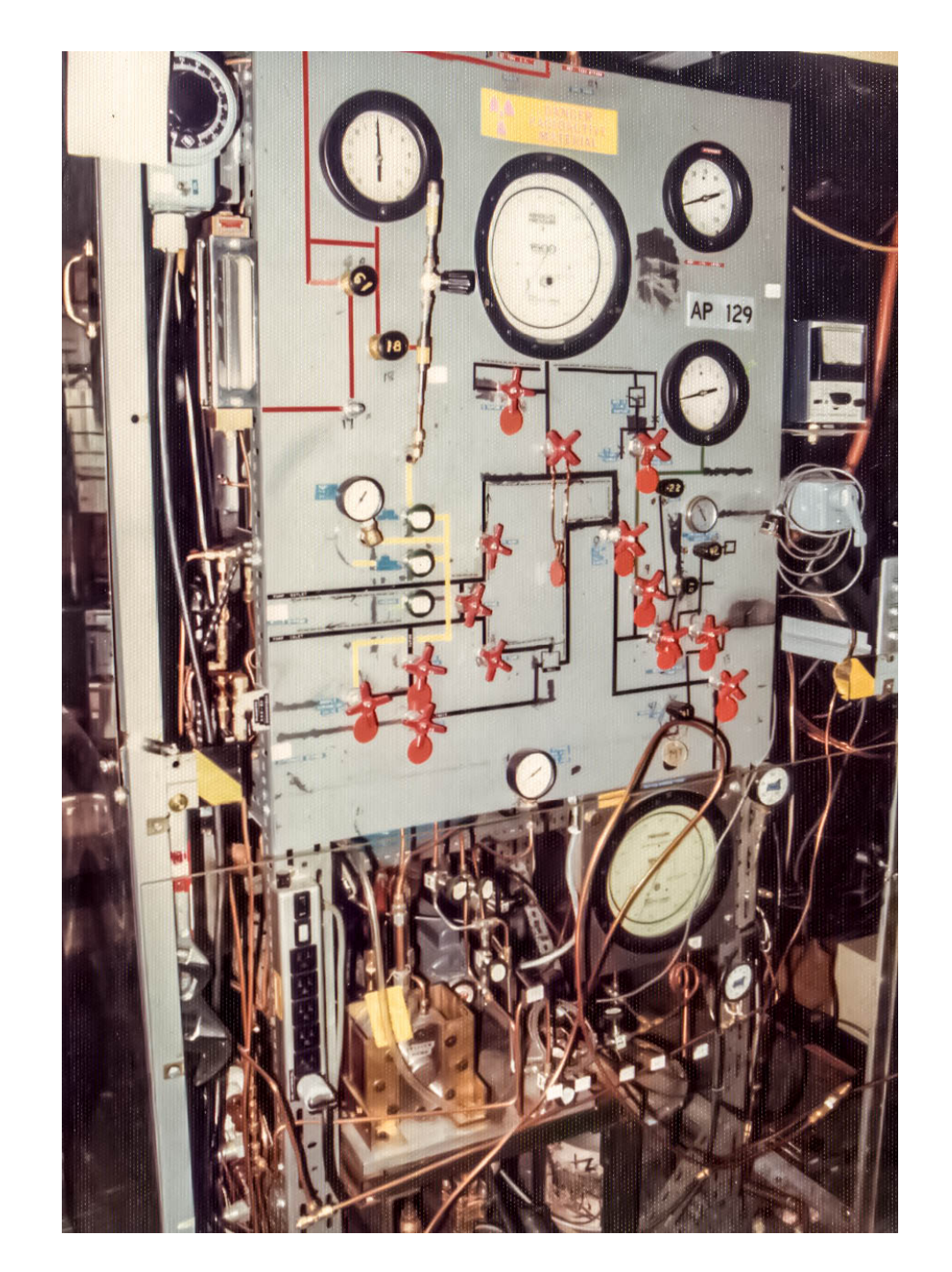


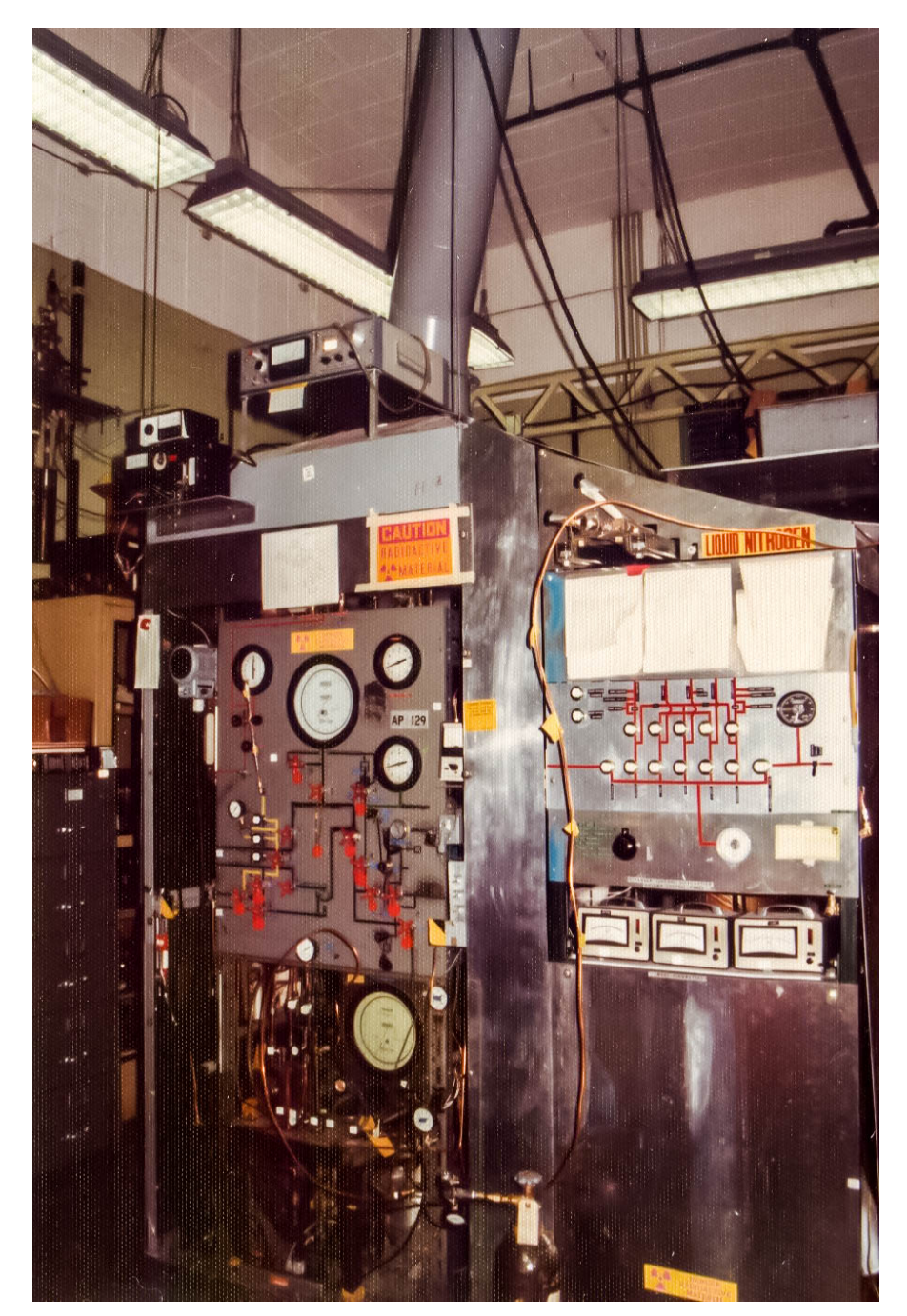
## LASL 深冷蒸留水素同位体分離 予備実験装置

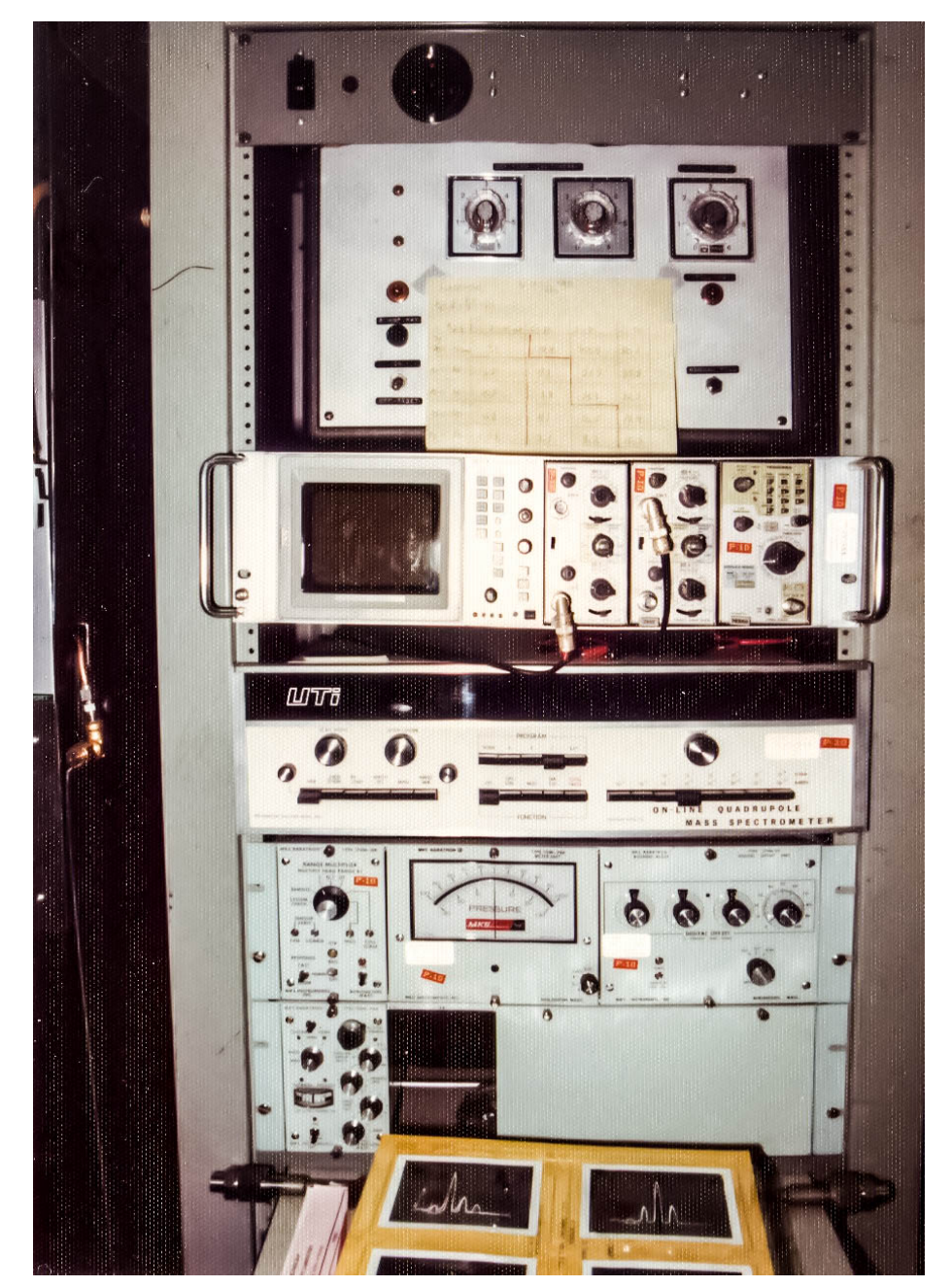
極低温実験室(Cryogenic Laboratory) P-10 Laboratory

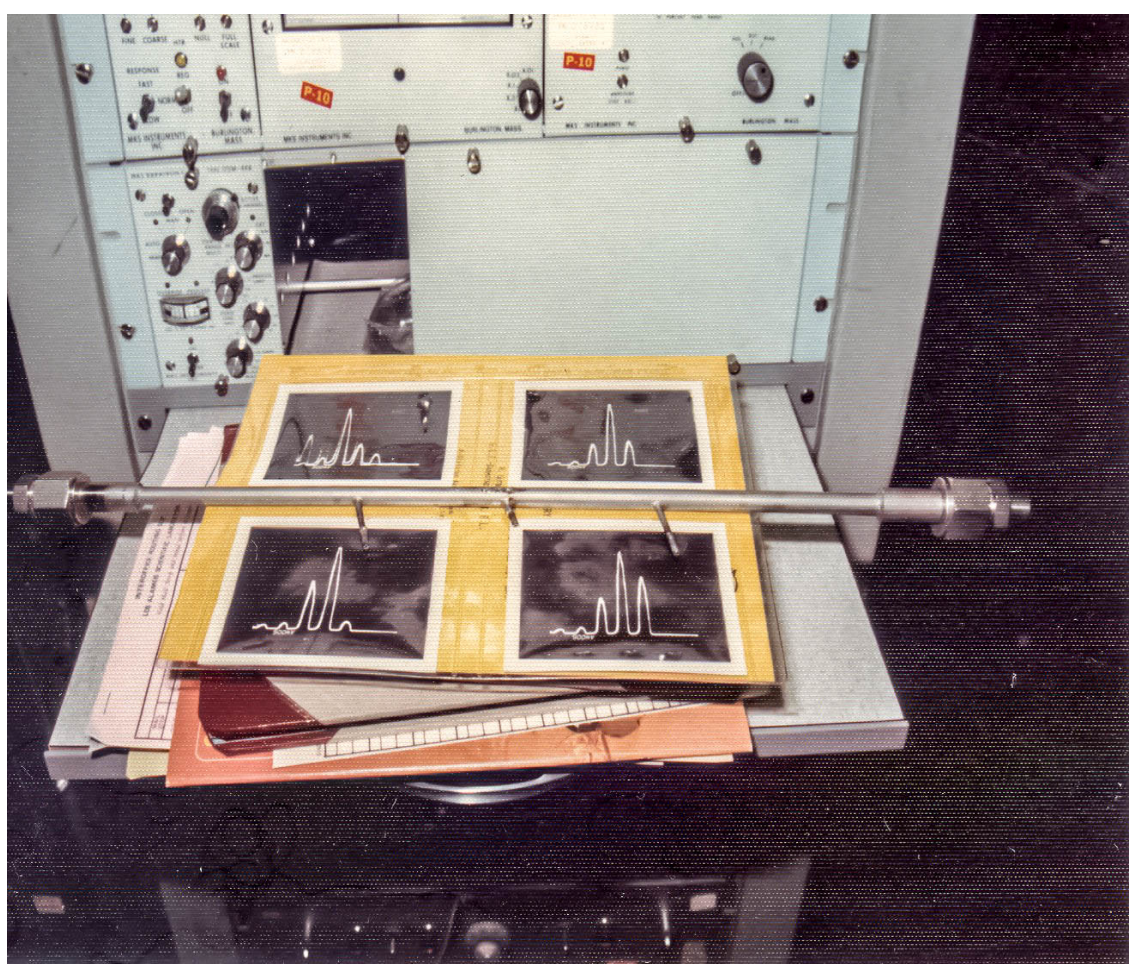


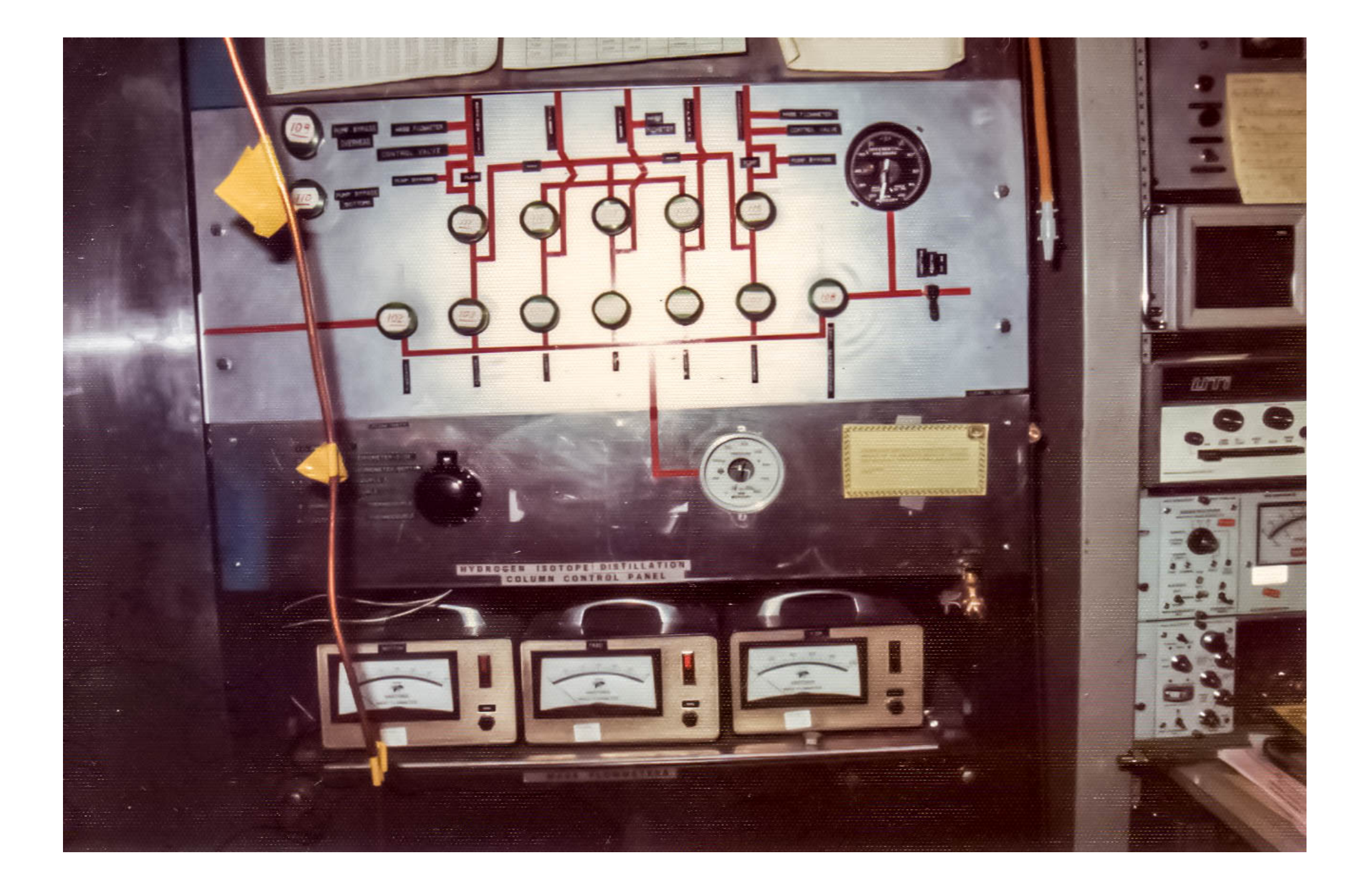




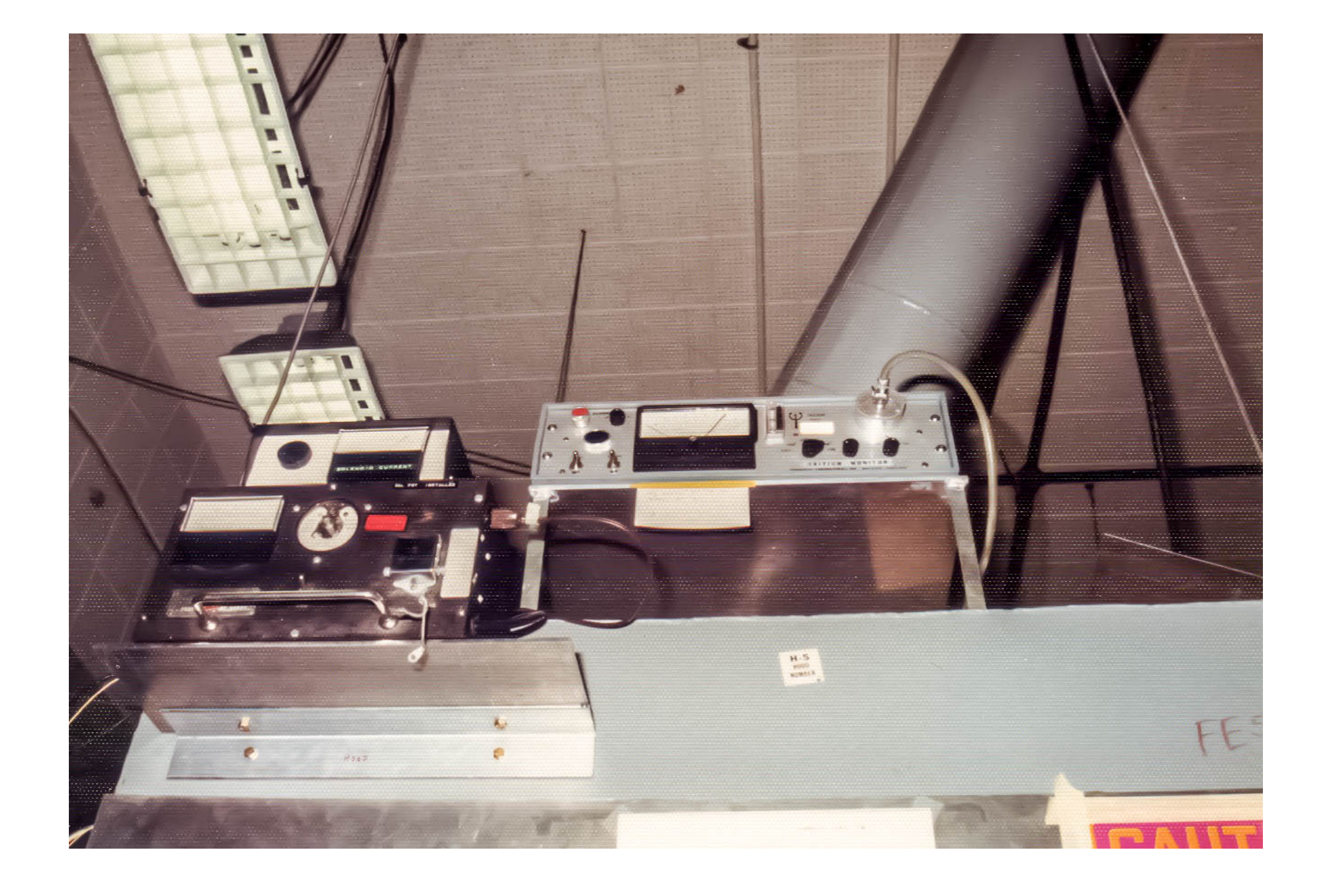










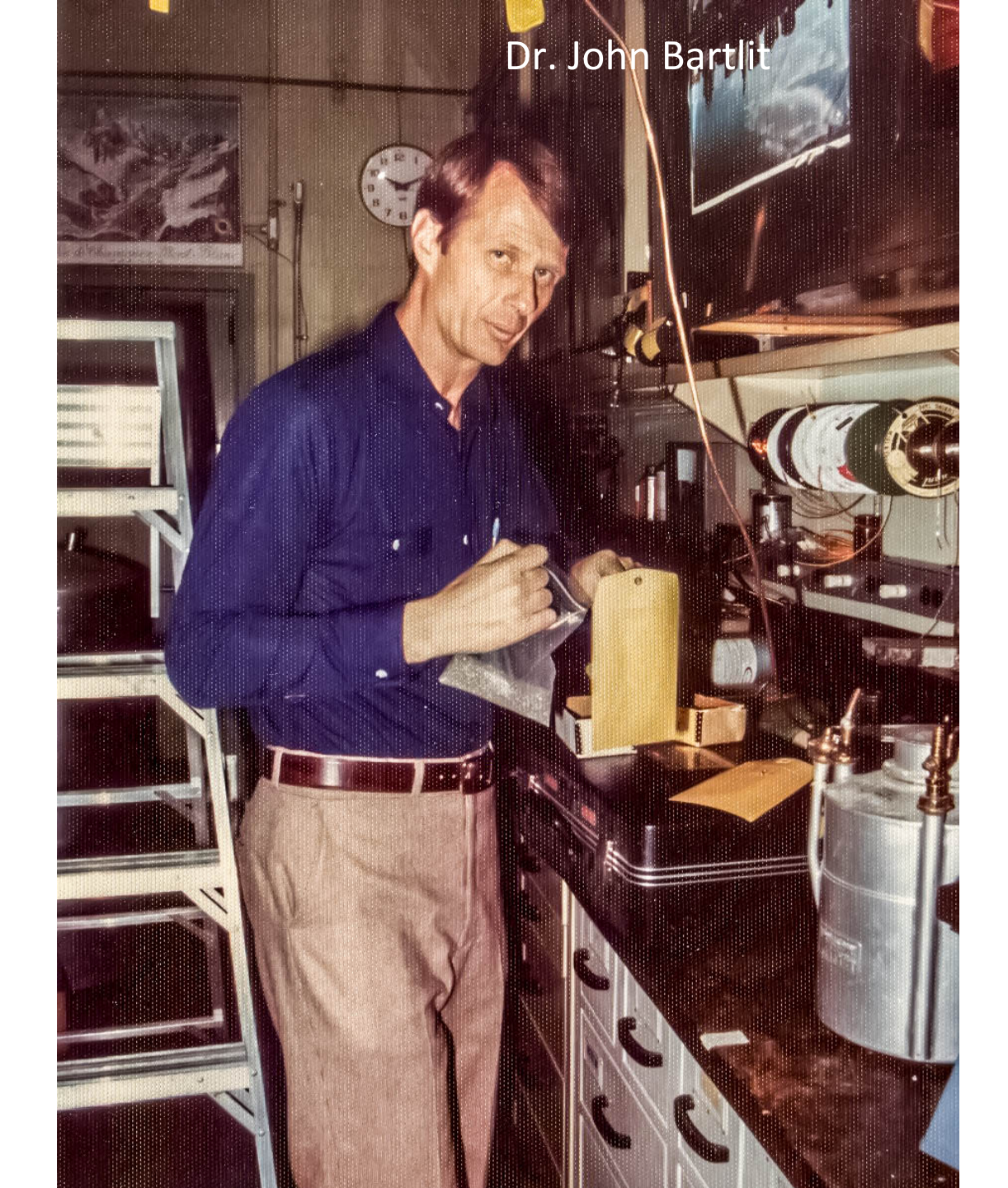




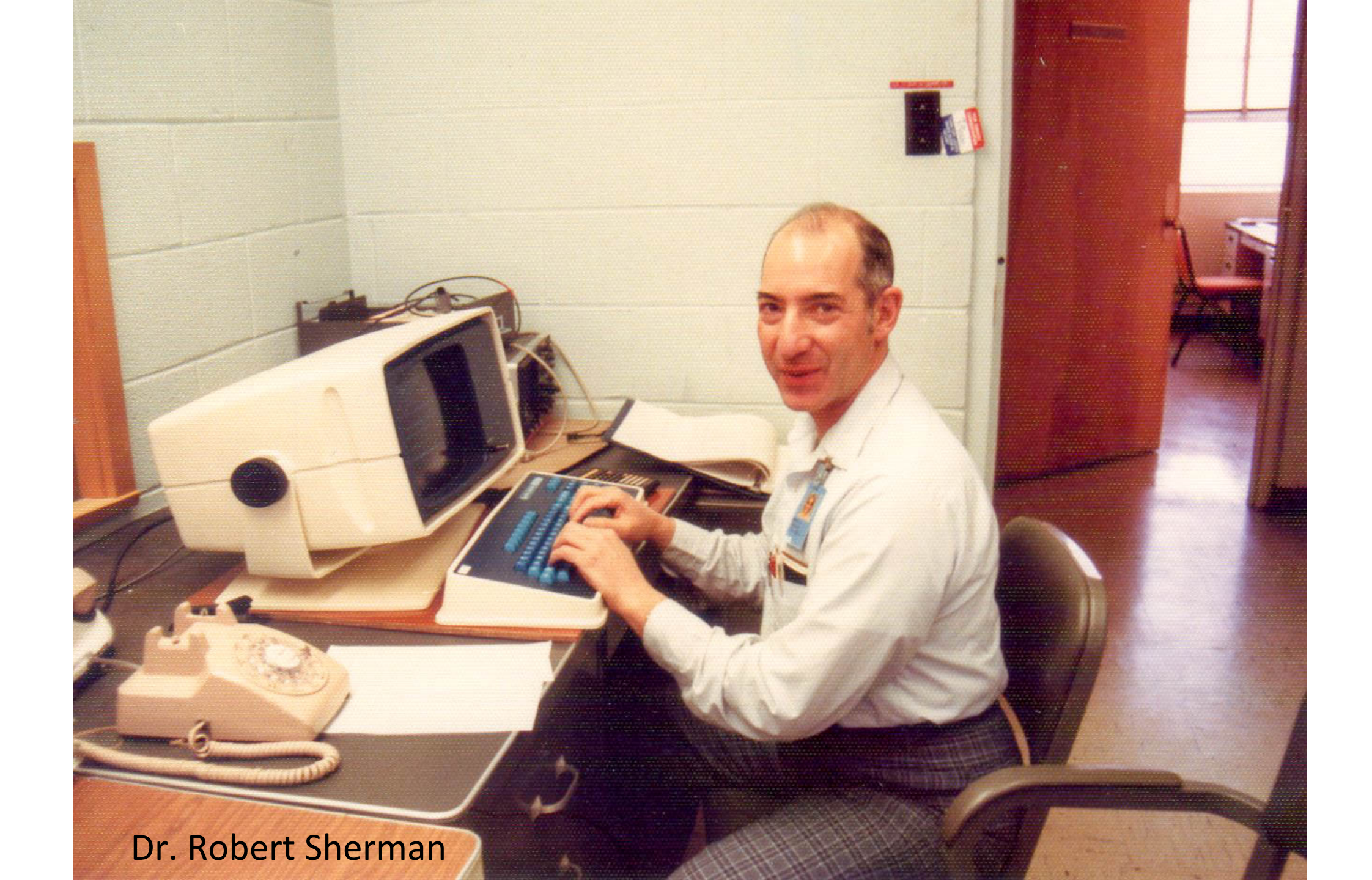








水素深冷蒸留塔の充填物 Helipak のサンプルを 取り分けてもらっているところ



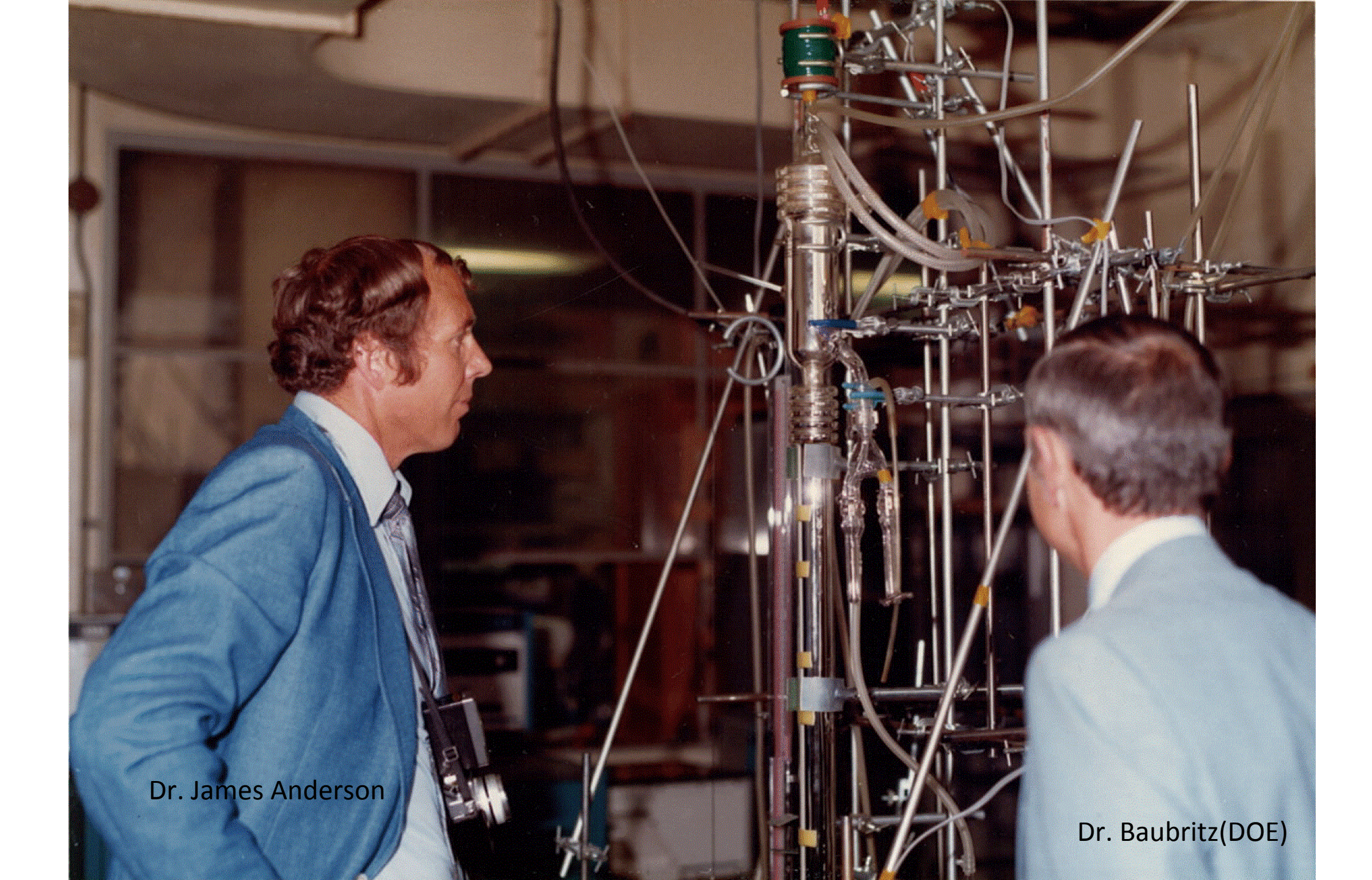


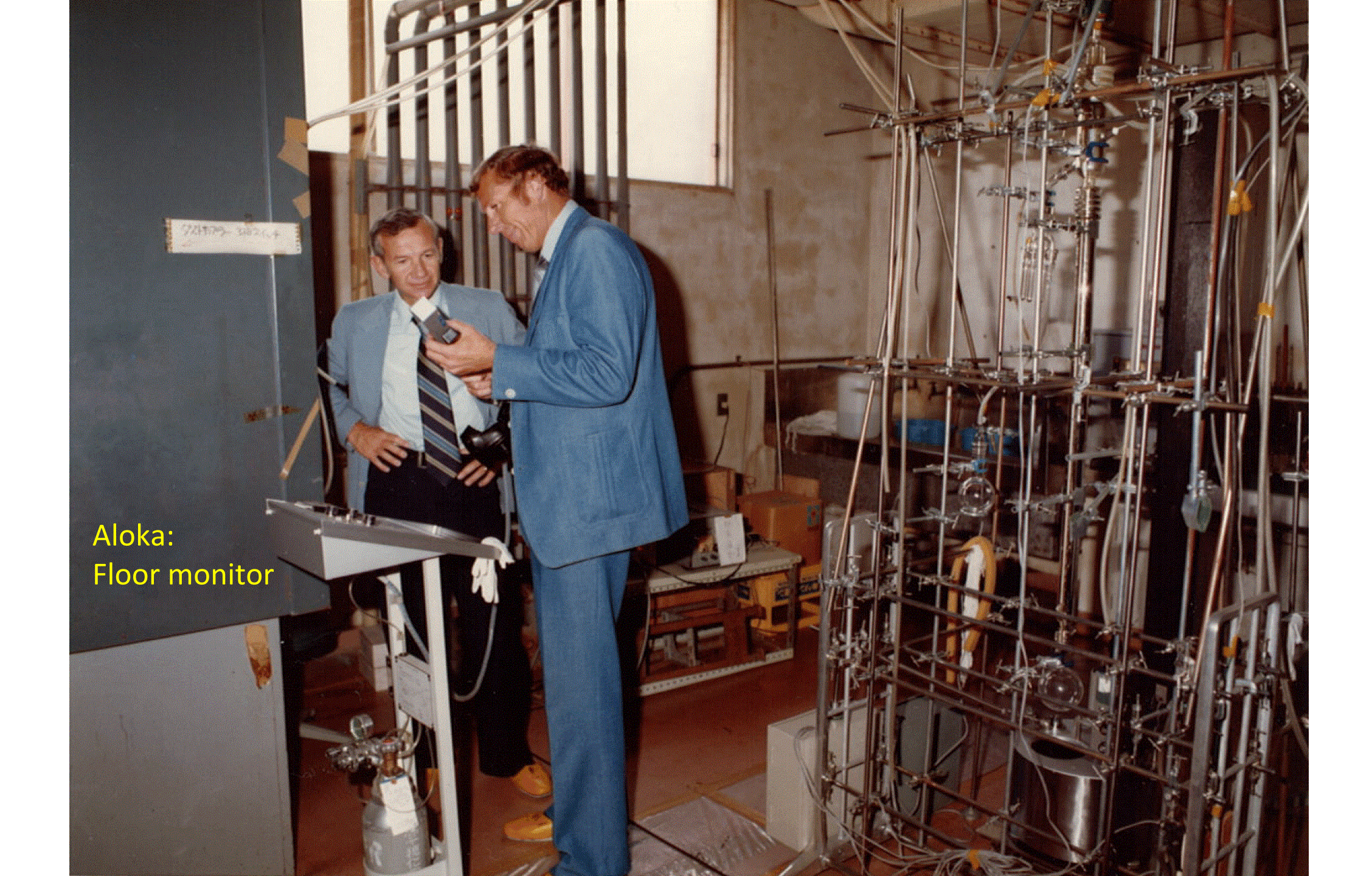


TSTA を構成するプロセス・システムを 解析する計算機プログラムについて 内容を教えてくれた研究員

# DOE, LASL 研究者が来訪











## 同位体分離実験(装置)室の設置

- ・昭和51年度辺りから概算要求準備開始
- ・核分裂炉燃料としてのウラン235濃縮,重水濃縮
- ・核融合炉燃料としての水素同位体分離(特にトリチウム)
- その他 リチウム、炭素、窒素等

- 昭和55年度「同位体分離実験装置」 設置決定
- 昭和55年度「同位体分離実験室」 設置決定

#### 概算要求書

同位体分離実験装置

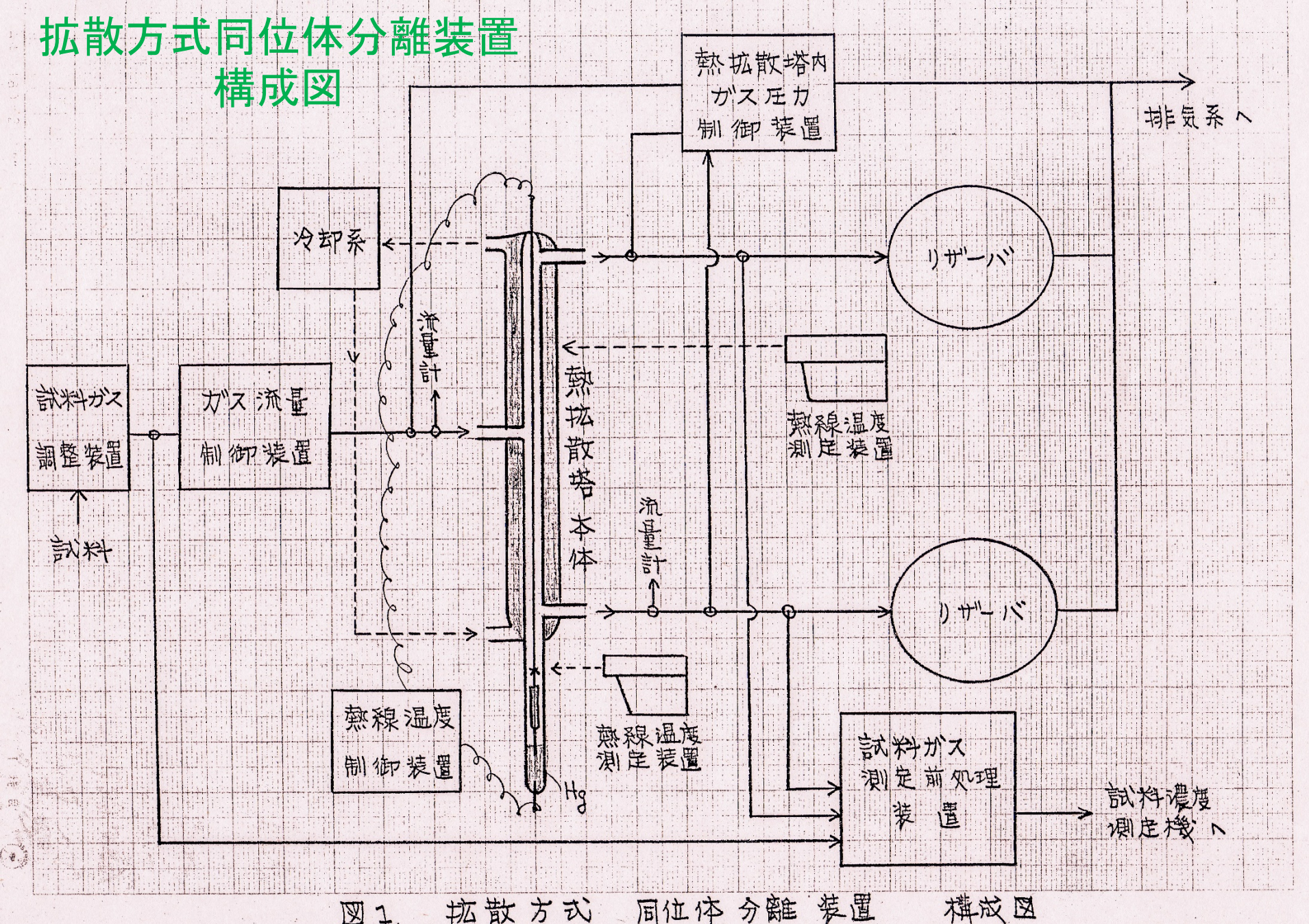
世話人金川昭

1 要求事由

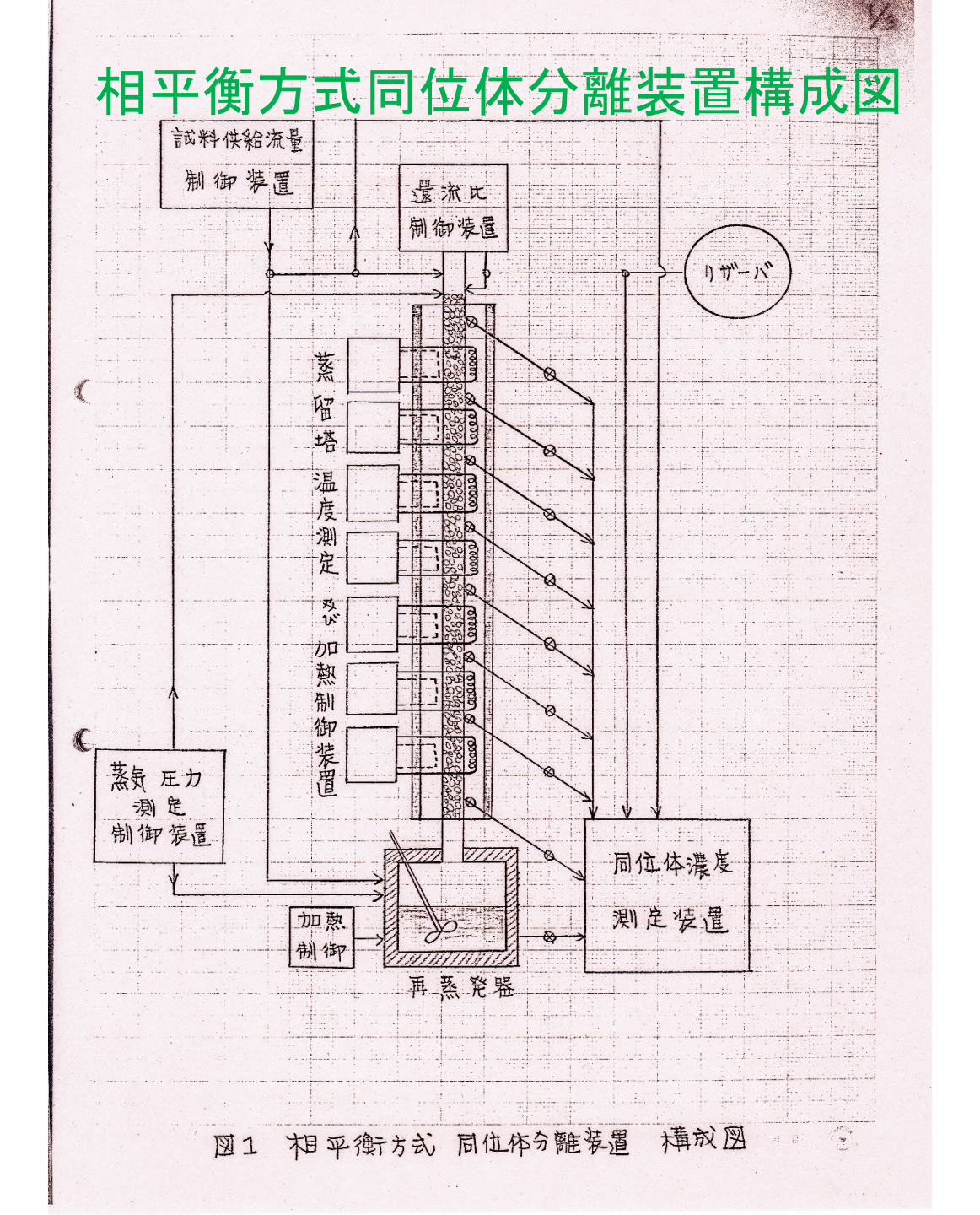
原子力産業における同位体分離。重要性は、原子力の 開発がまず始めに同位体分離を行うことから始められて いる事実におっても明白であるが、近時その重要性は核 分裂炉の核燃料サイクルの確立おりが環境活染安全対象 の確立が急務ととれていることとなどから一層の増大も みせている。

一般的に、同位体分離的熱力学的にきわめて効率の思い方法で行かれていることが多り。これは同位体分離が同位体的の信量の差異にもとづく僅少な同位体効果も利用して行かれていることにあるが、その分離核構の詳細な探索おらび分離特性の系統的な解明によっては、その分離効率も著しく何にとせ得る可能性が充分に残しれている。とちに、かかる分離効果の小土い単位分離工程を重量組合せることによって対定の濃度も製品とちる同位体分離で

金川教授手書き



同位体分離 装置 拡散方式 図 1.



### 化学交換式同位体分離装置構成図 是 相 流 循環流量 制御装置 液相流 供給装置 低温塔没却系 温度制御装置 液相流取》出し流量 リザーバ 制御 1装置 反应塔 供給流体 温度 調整装置 同位体濃度 高温塔 測定裝置 加熱系 温度制御装置 リサーバ 液相流 図1. 化学交换式 同位体介触装置

同位体分離実験装置設置時には 製作をあきらめたが、現在では ISL(同位体分離実験室)の主力装置

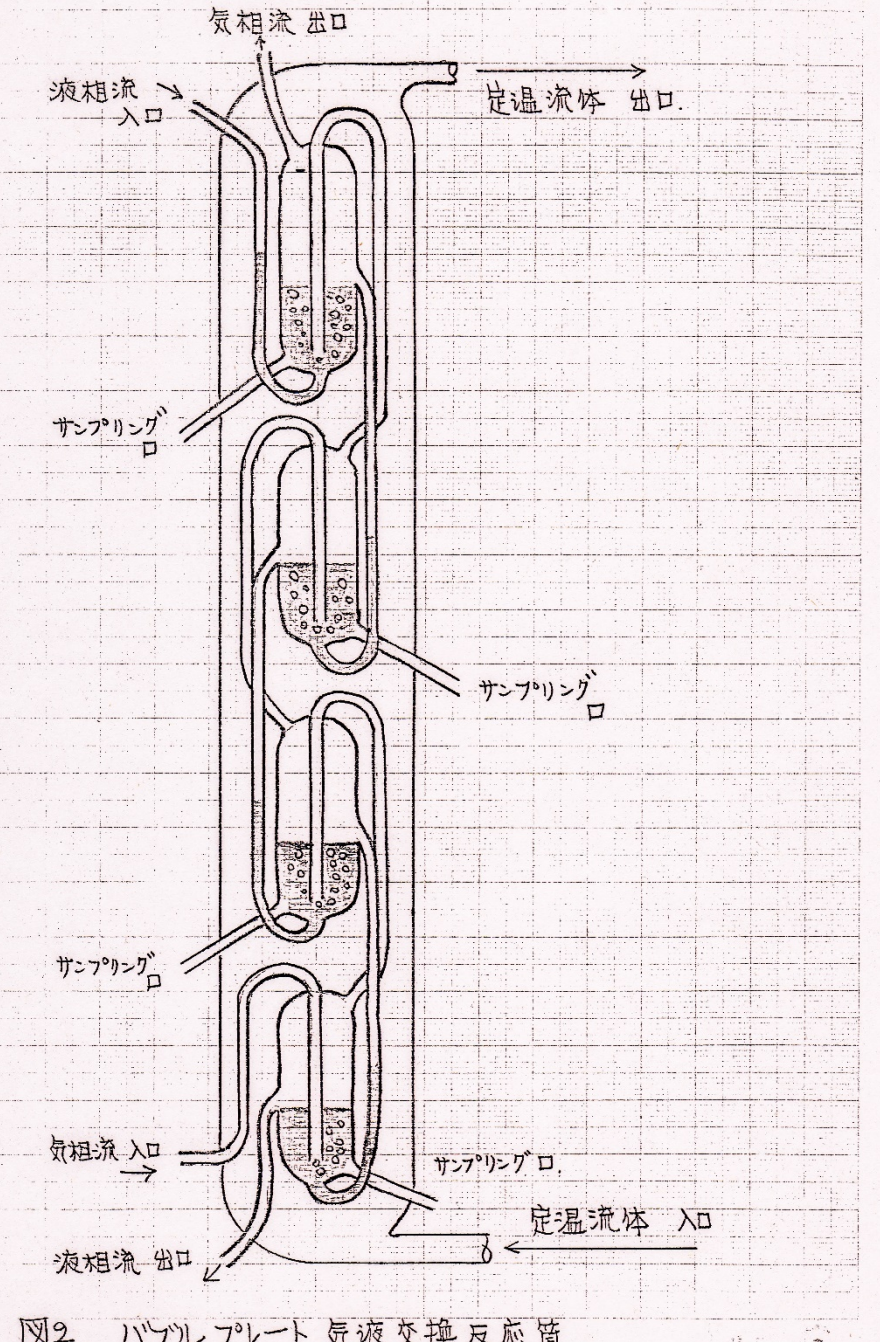
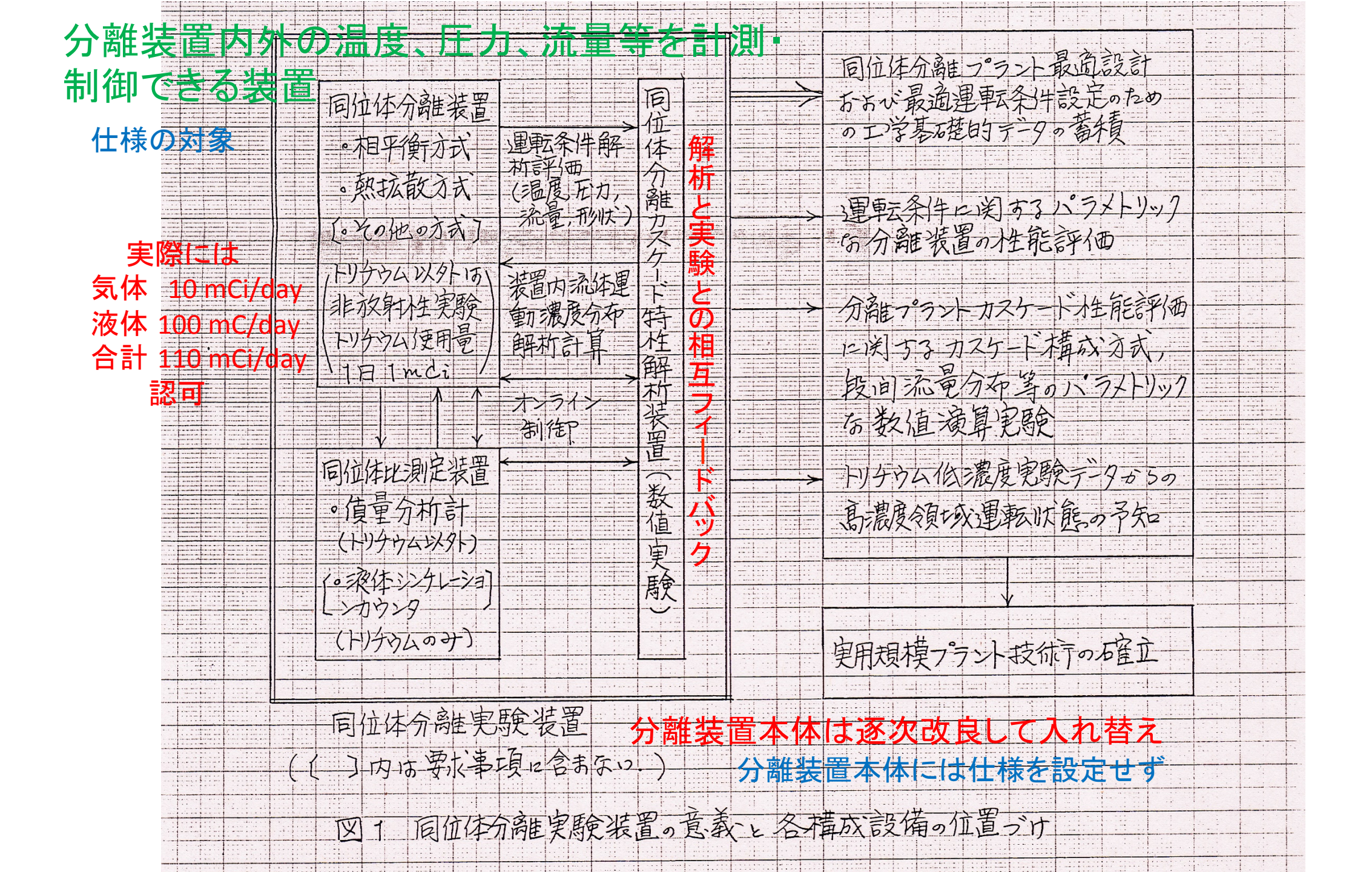


図2 バブルプルート 気液交換反応筒

## (参考1) 同位体分離実験装置 說明資料

表1 同位体分離 重要例

及1 1711年71日 主文15了					· parameter of an attended to a street of arrests of
	元素	注目同位体	天然存在比(%)	事由	
	水素	D (重水素)	0.015	中性子吸收断面積が著以小さい、滅速剤	
	水分	一丁(トリナウイ4)	~ 0	核融合於燃料,下外分以環境污染	
	1111	6 Li	7.5	トリケウム生産原料 6Li+n→T+4He	
	リナウム	7 Lì	92.5	中性子吸收断面積が小さり、溶原は塩火戸	
	木立素	- loB	18.7	中性子吸收断面覆大,制护村,医寮	
	室素	IPN	0.365	トレーサー利用	
	酸素	180	0.204	トレーサー利用	
	カラン		0.72	核分裂以户以然料,ウラン濃縮	



#### (参考2) 相平衡方式同位体分離装置(蒸留塔) 説明資料

原理:混合物。蒸気圧。差七利用レた分離法

目的: 多段交流蒸馏分離塔。分離効率。同上

装置の根果



写真1-1-1990公水同位体分離用蒸留予備実験装置

一凝縮器 一冷却水温度,流量

蒸留塔 - 塔内温度分布,蒸氮面圆流量, 本体 蒸流下流量 計測制物

苏発器 — 苏発燕気量, 温度 压力 計測 制 制

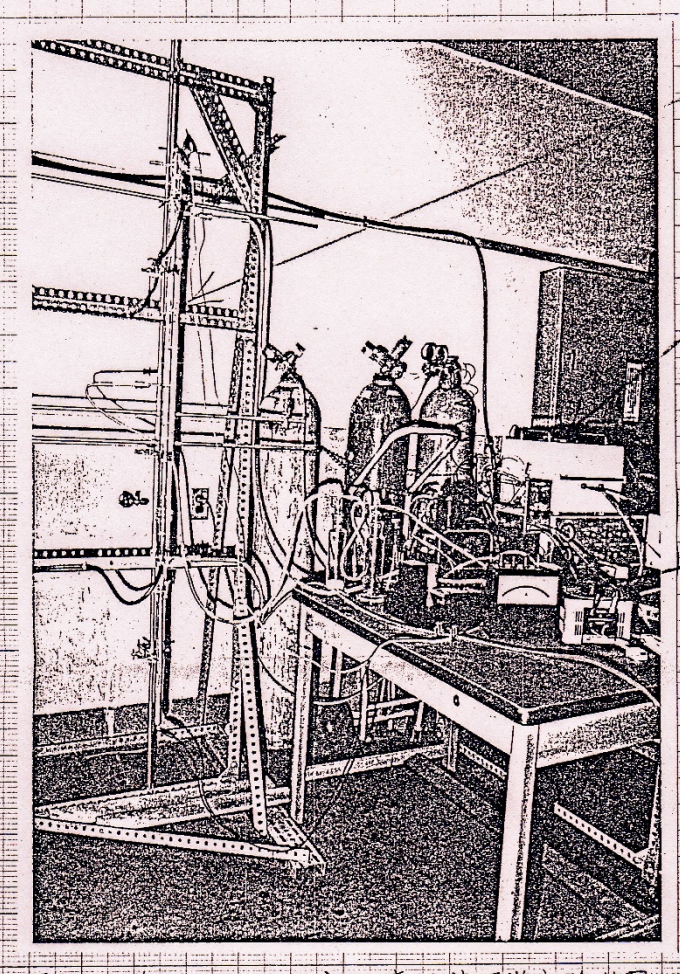
(運転条件制御

(参考3) 熱拡散方式同位体分離装置(熱拡散塔) 說明資料

原理: 混合物の温度勾西己下の拡散移動速度。差を利用した分離法

目的:多段向流熱拡散分離塔の分離効率。向上

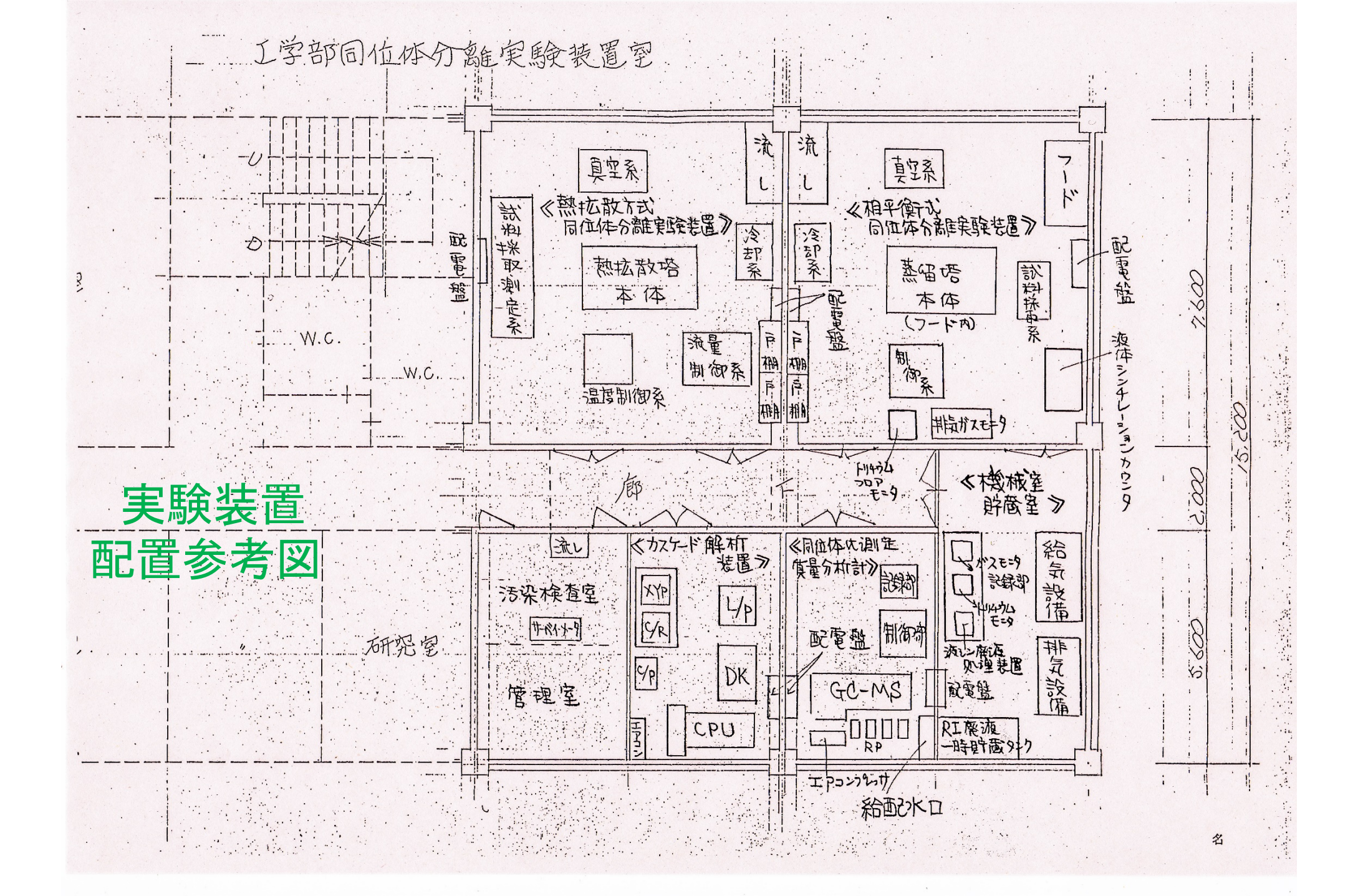
装置の林既要:

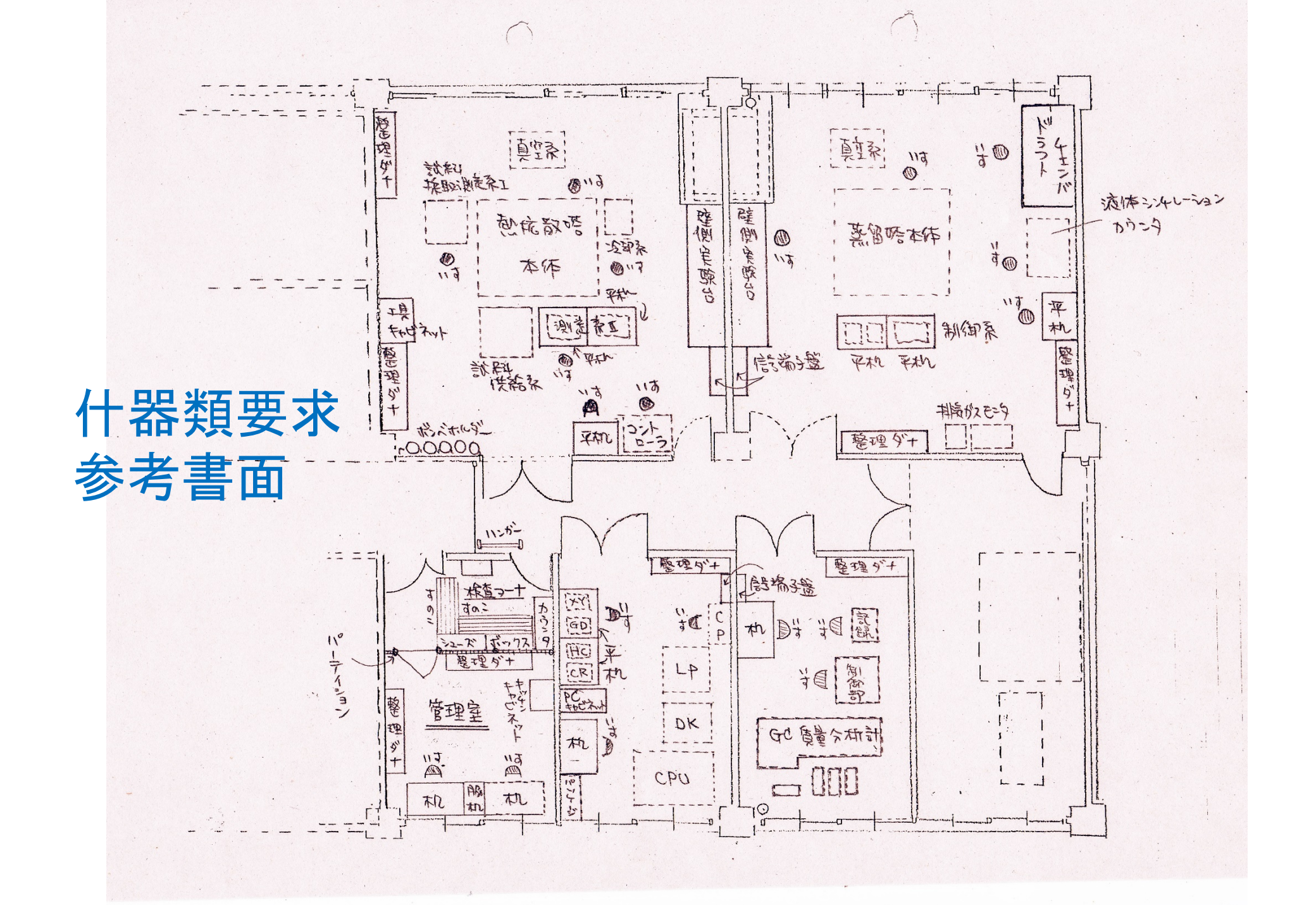


熱線温度 \_ 熱線温度,調整器 計測制御

(運転条件制御)

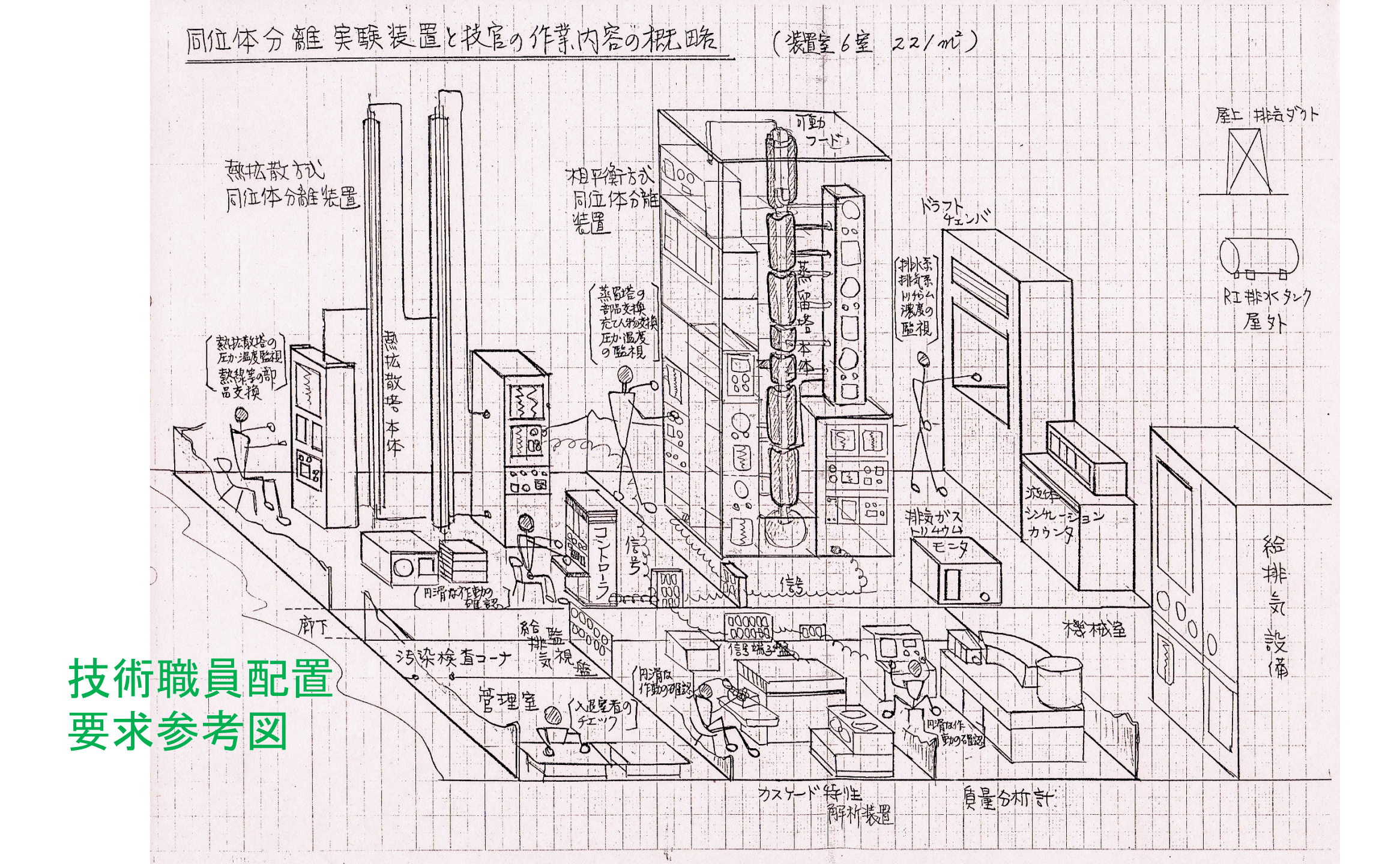
写真2 希拉同位体分離用熱拡散予備実験装置





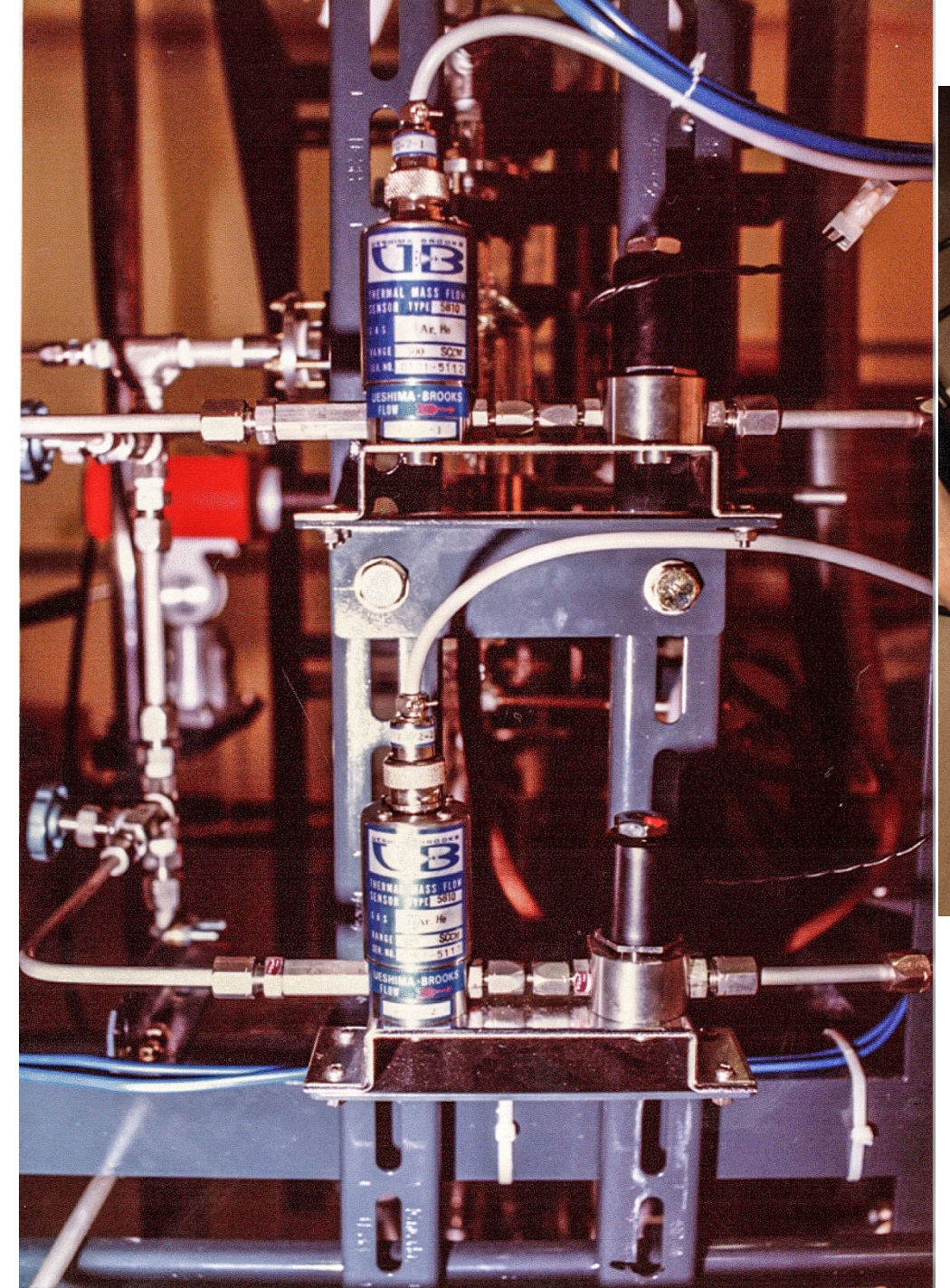
### トリチウム取扱い施設 申請準備書面

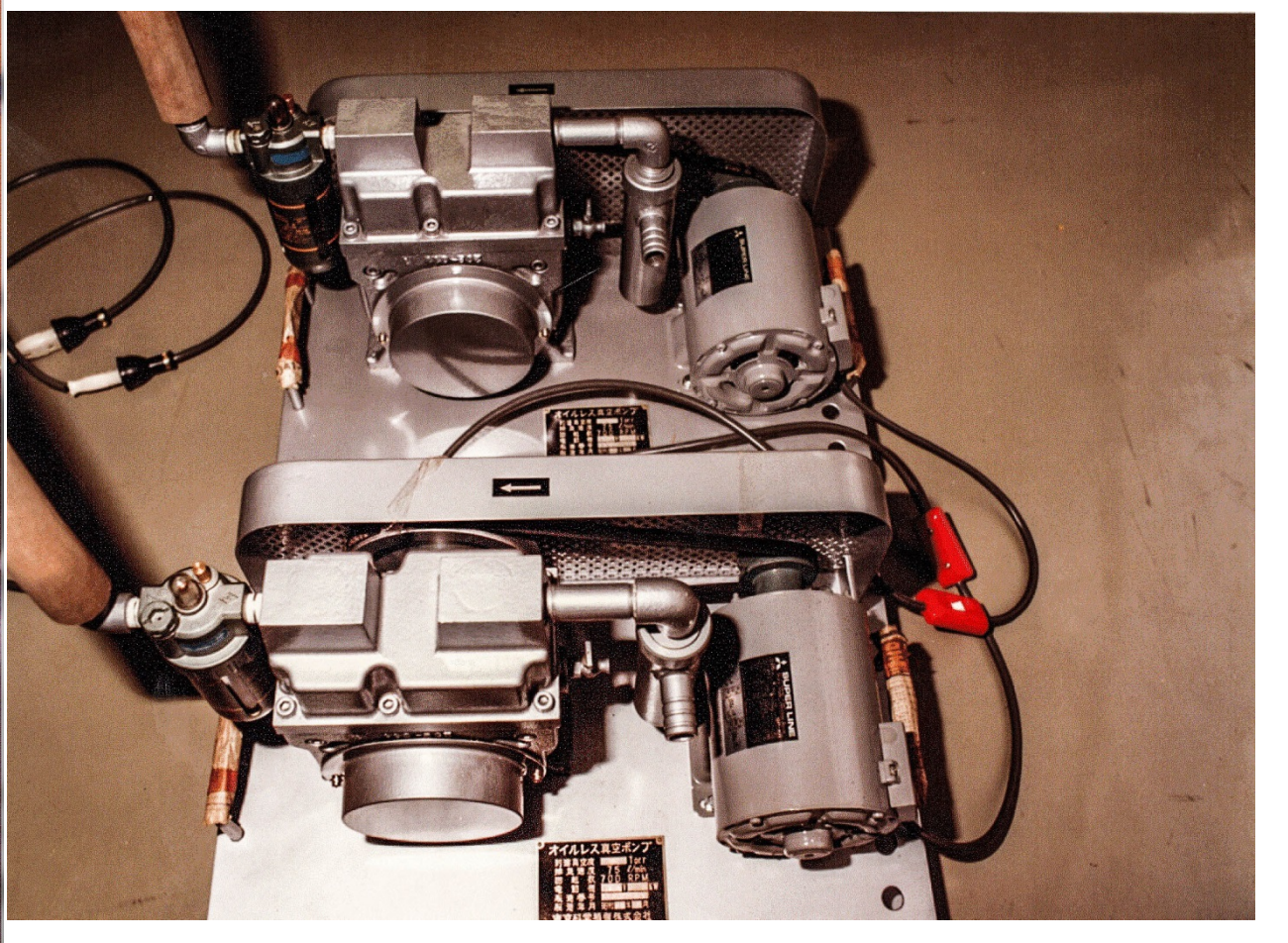
· · · · · · · · · · · · · · · · · · ·					
	トリケウム取扱施設				
产局种周· 影詩在	名古屋大学 工学部				
施設名称_	原子核第2特別皇験室内 《常园位体分離実験室(建設中) 化加55%				
施設面模(m²)	32 m² * 222 m² 标绕笔面積(m²) 0 m² * 0 m²				
+1474 Ci/11	*				
取权量 Ci/A	5 mCi 110 mCi ( h1494 xx 100 mCi))				
Ci/=	1 Ci 10 Ci }(申請中)				
最大野燕曼Ci	20 Ci				
硫糖数 私员	2名(金川昭、山本一長)				
学生	学部 4 名 大学院 4 名				
主要設備構品名(	水無留法同位体分離予備実験花置。液体シンチレーションカウンタ				
現有(	(Aloka LSC-602)。[熱核散分離塔 ← コールドエリア]				
*	相平衡式同位体分離実験装置。熱拡散式同位体分離実験装置。				
昭和55年度 〈 予算購入. 〉	GC-MS 質量分析計(B立 M-80)。同位体分離カスケード解析装置				
1.46 本序(1), (	(HITAC E-800:274). 41444. 29-7 == 4 (Aloka RIC-510).				
主要研究課题名	水震留法によるトリチウム同位体分離				
X 概要(1件/00	有効塔長100 cmの充てん式蒸留塔を試作し、りがイラ温度。				
字4(内)	えてん物種類などを変化させ、全選派 並びに 回分無関特性を測定。				
	新装置では、蒸留塔各部分の温度・圧力・流量を詳細に測定が				
	制御 L. 連続蒸留分離臭験 & する 予告。				
	<b>慰拡散法によ3 水素同位体分離</b>				
	現在、熱拡散塔はコールドエリアに設置されており、Ar-He混合物				
	を用いて分離実験を続けている。 熱線温度、流量、カットを変化させ				
	分離特性を測定している。				
	悪智塔 熱拡散塔のシミュレーション				
	分離恐内部、流れ、温度、圧力分布などをあらわす基礎な程以系				
	を直接数値解法することはより、塔内部状態を取め、合能特性を				
•	推定し、場の改良最適運転条件探索の基礎データとしている。				
7					





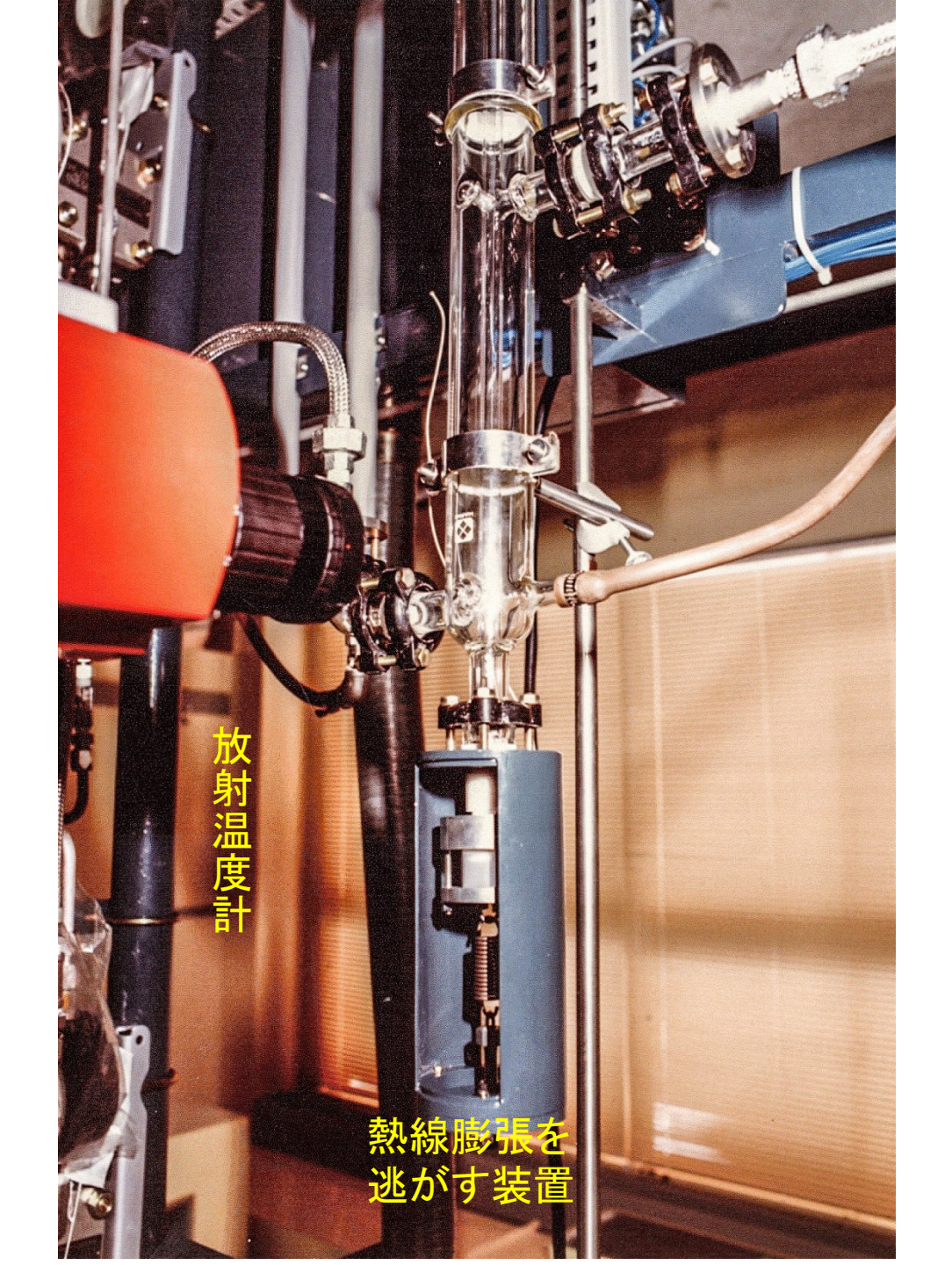


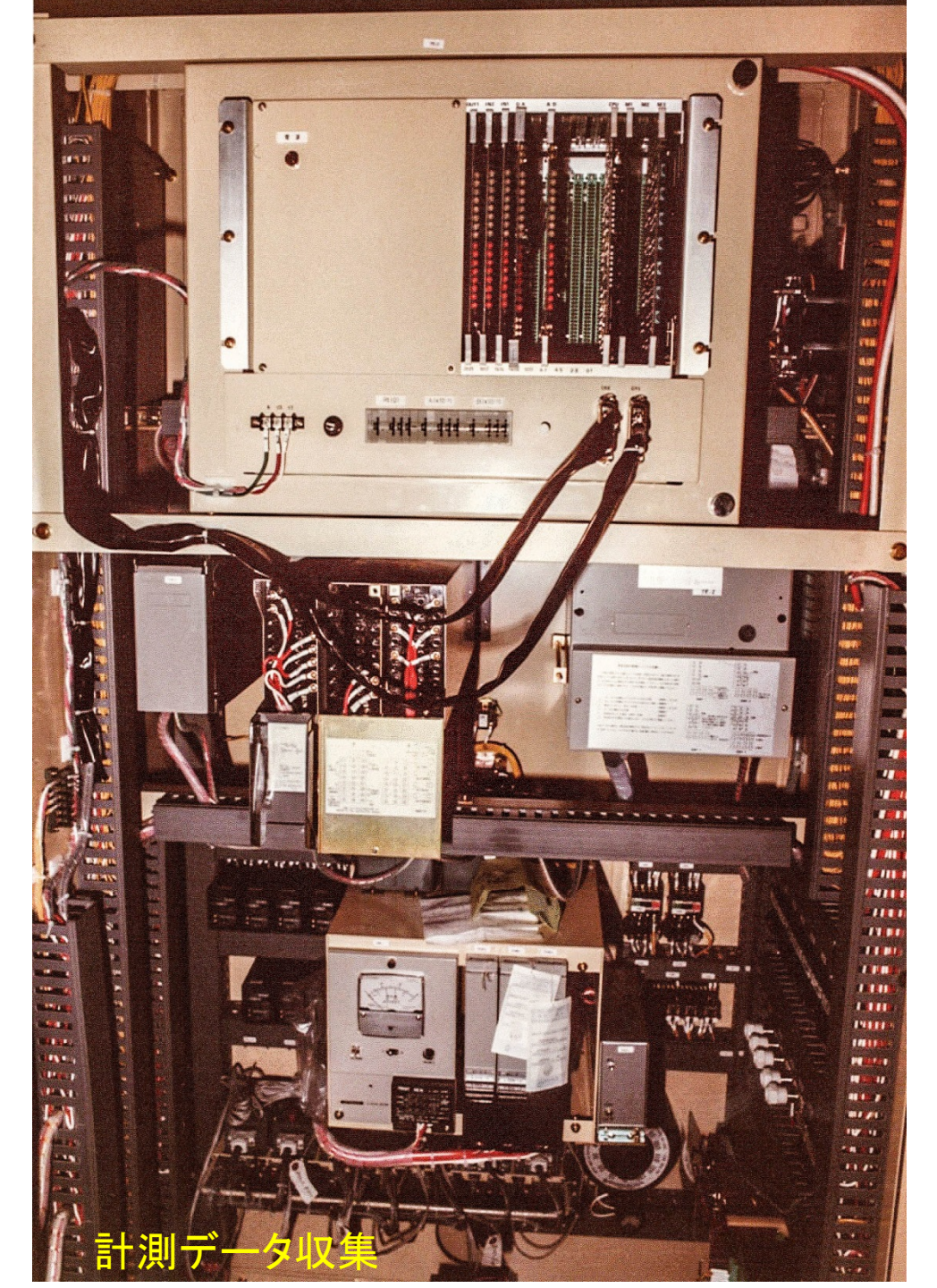


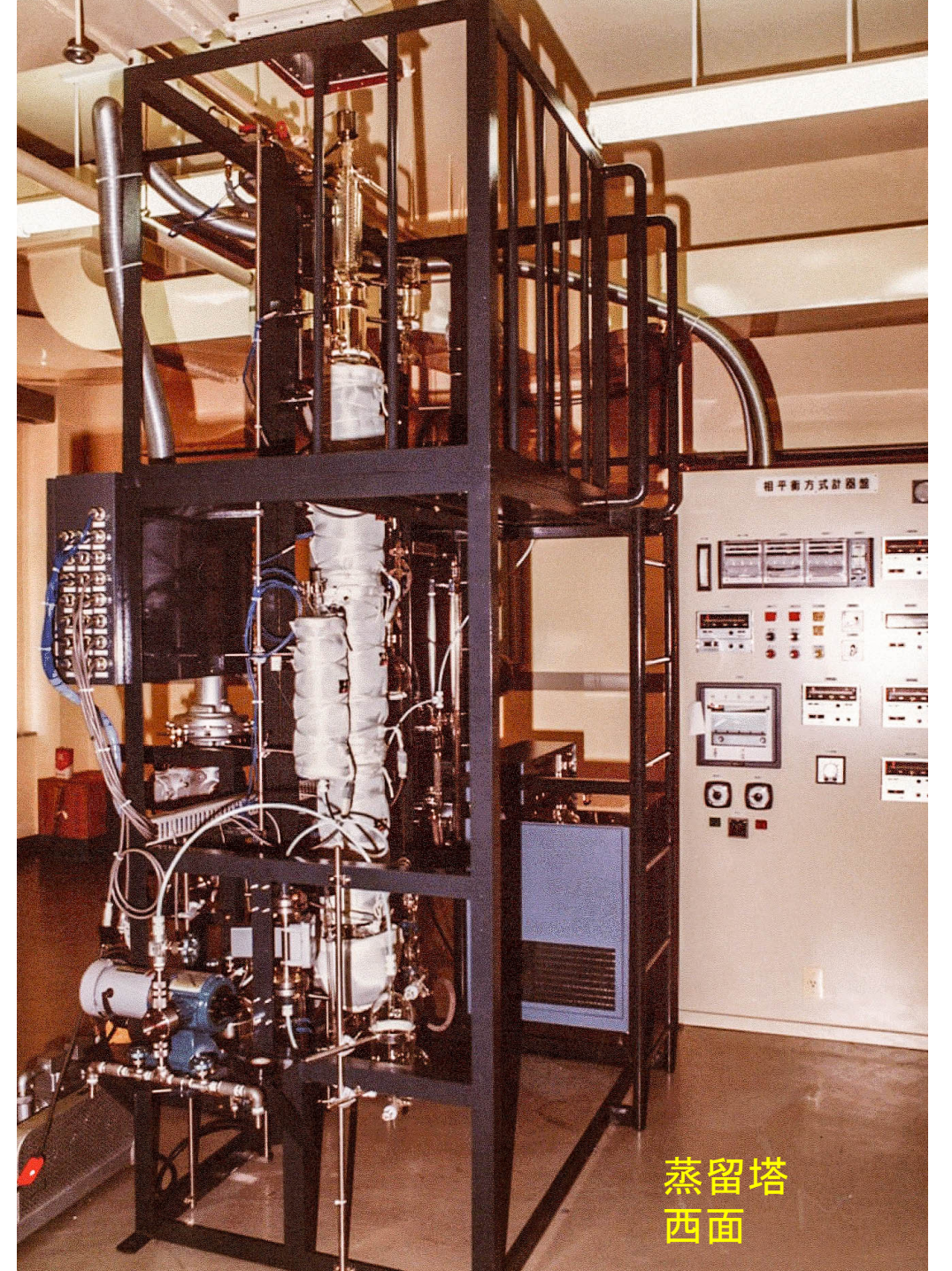


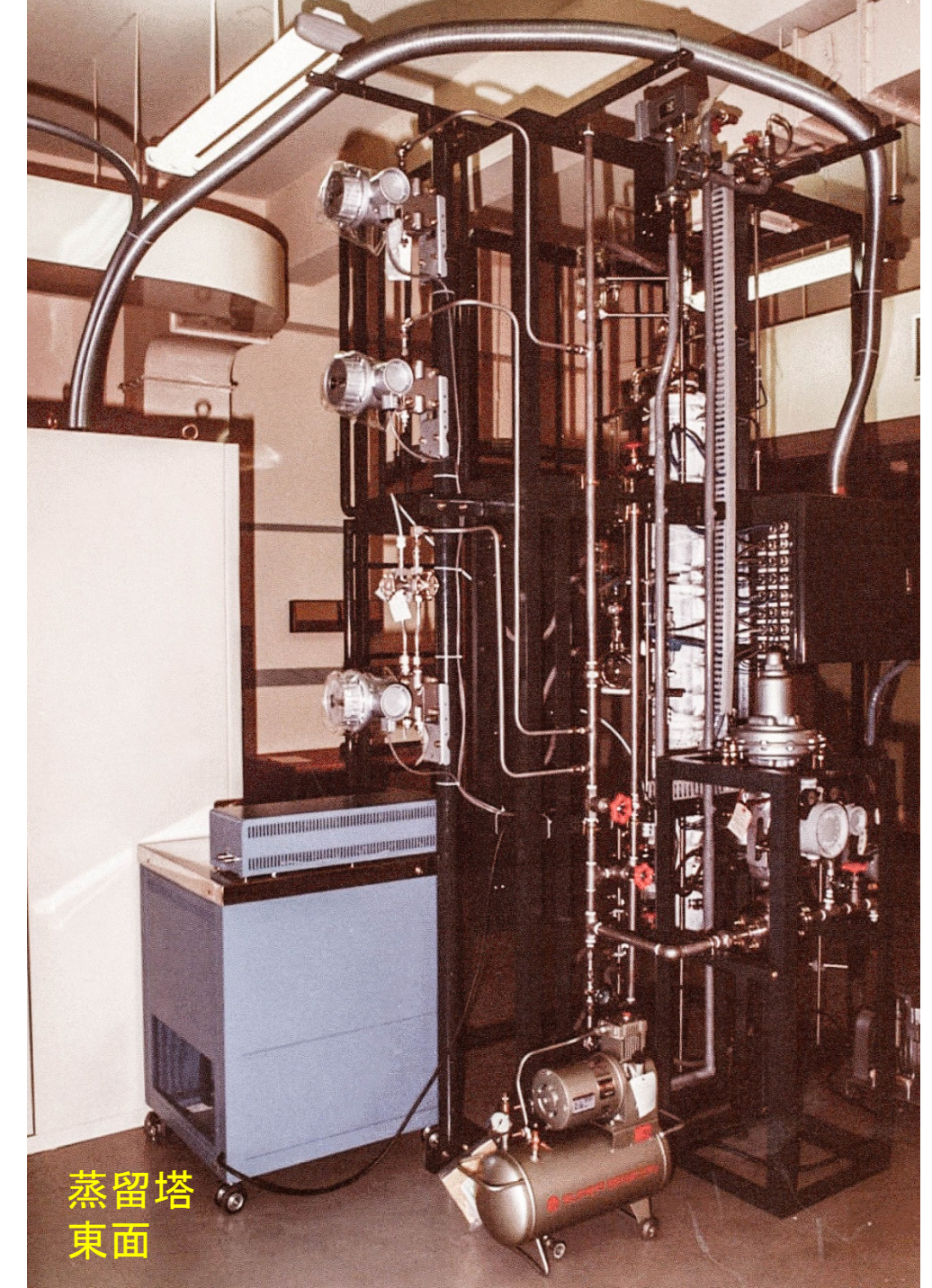
オイルレス真空ポンプ

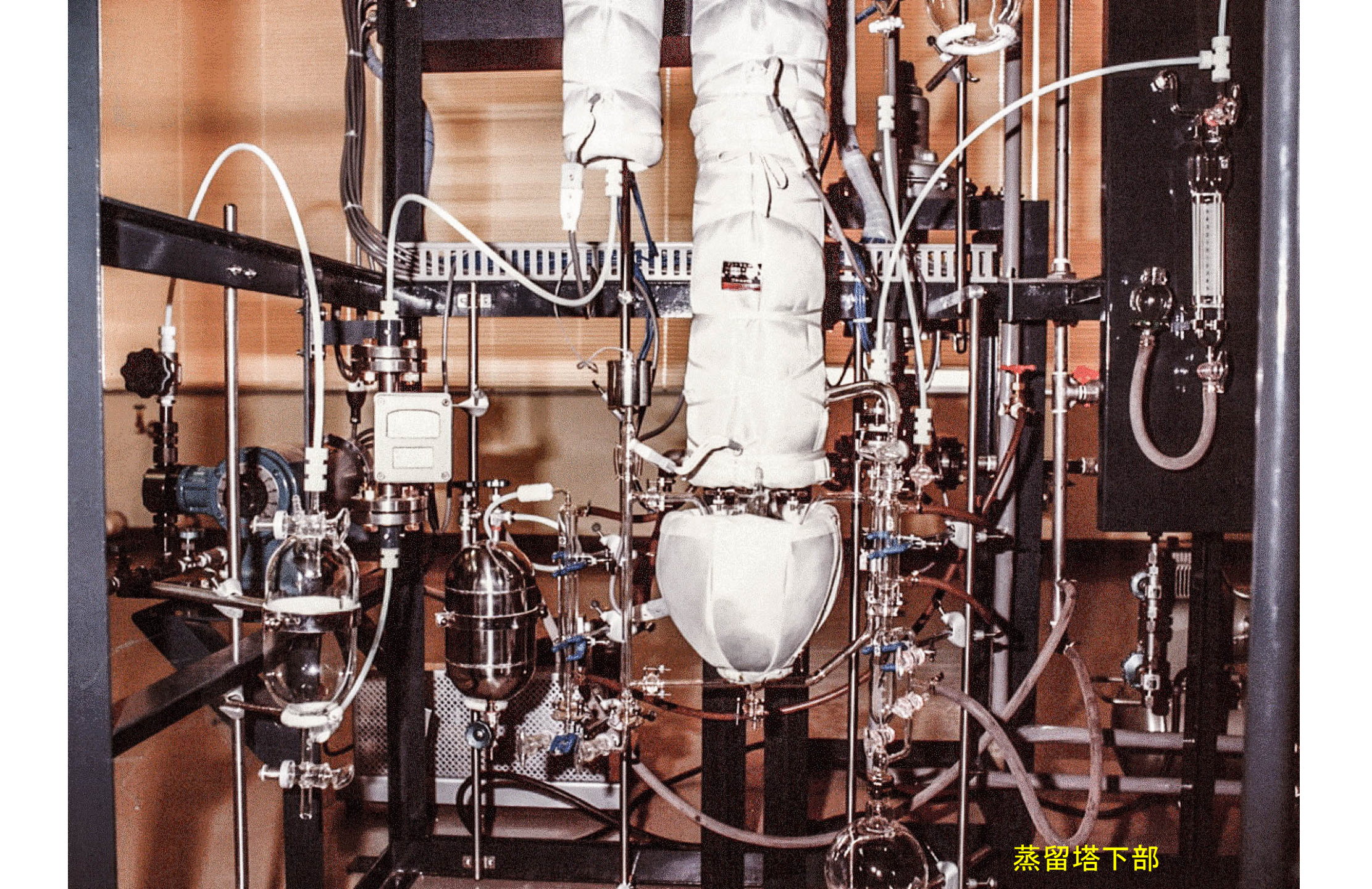
質量流量計

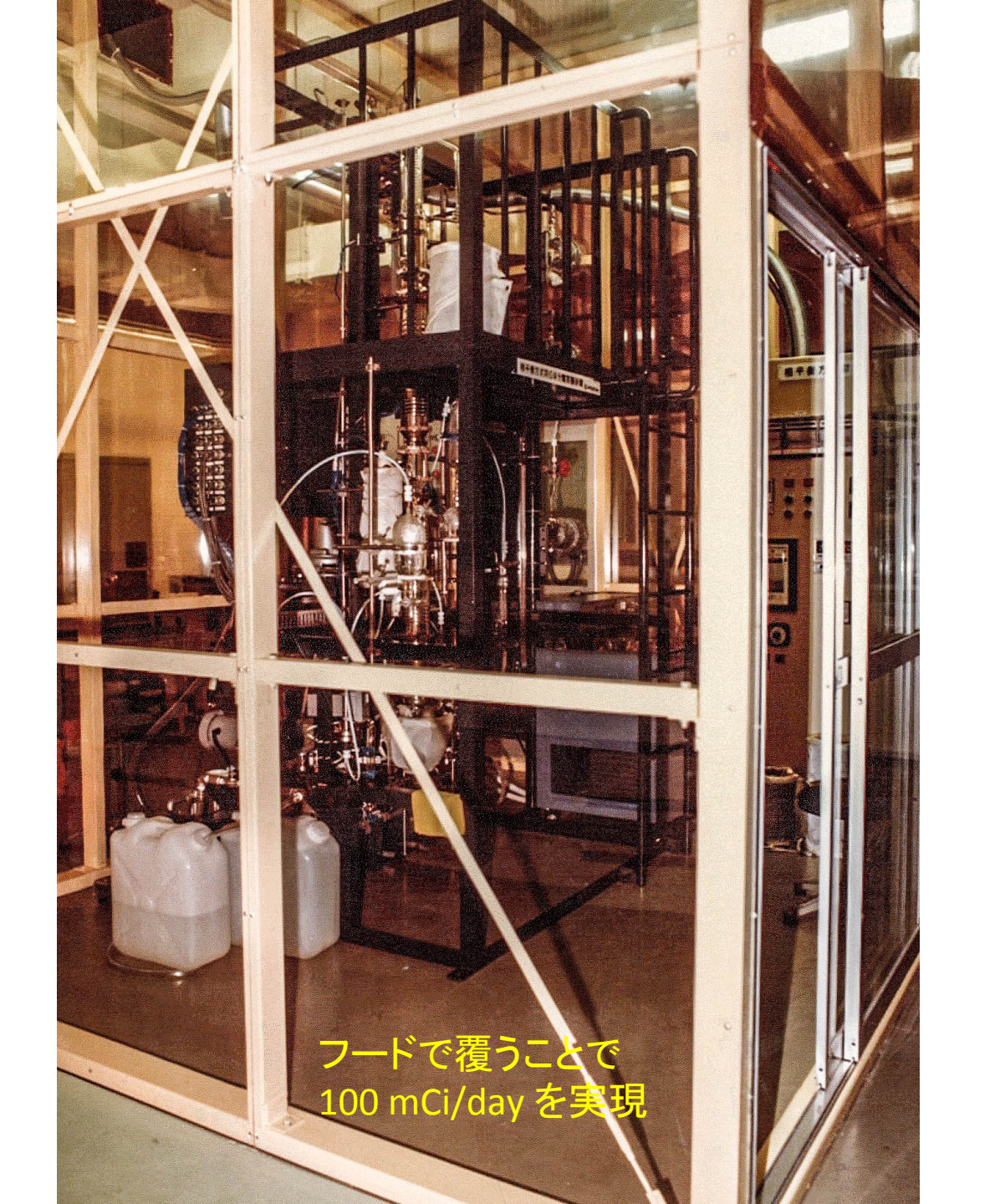


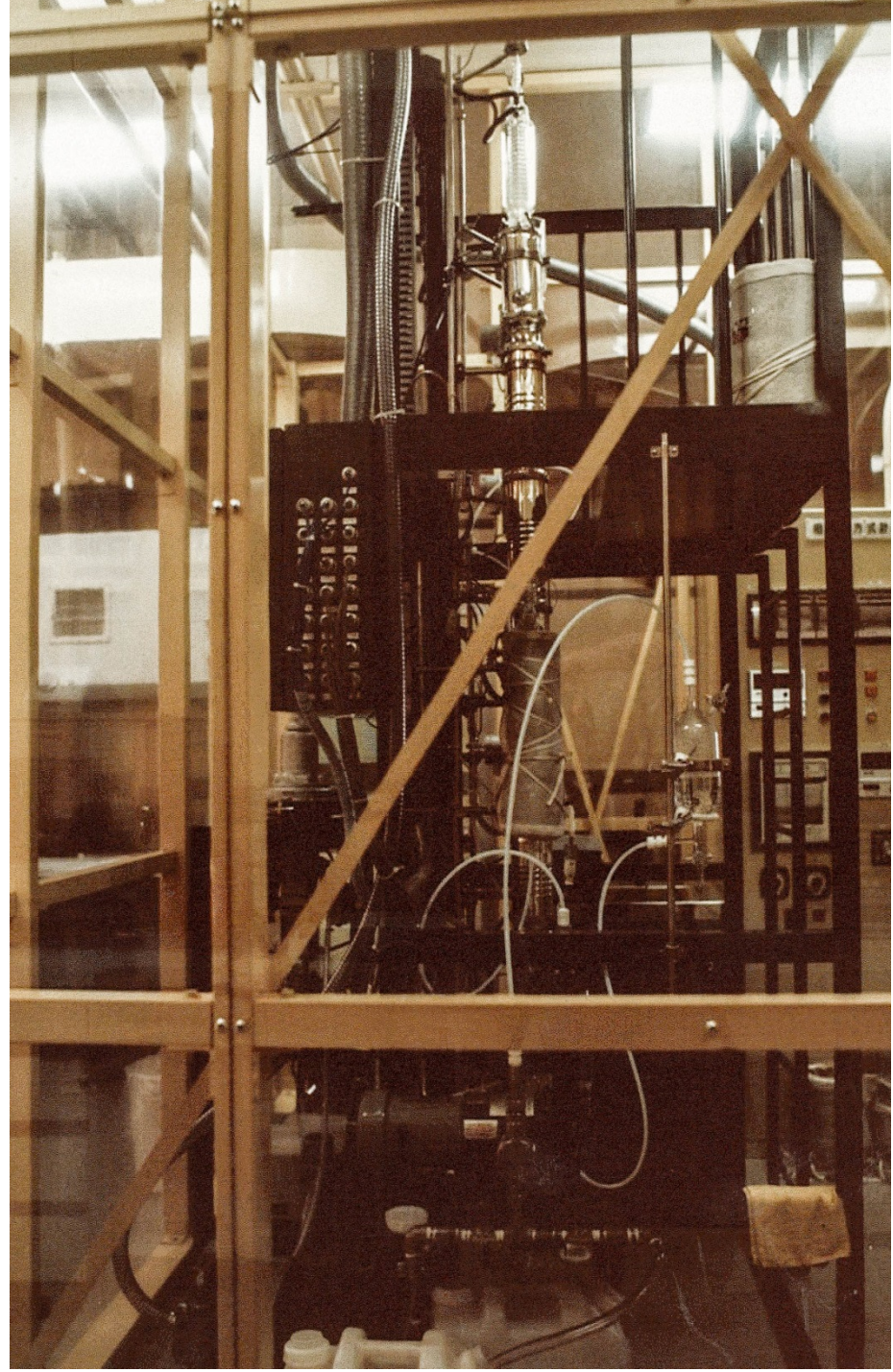




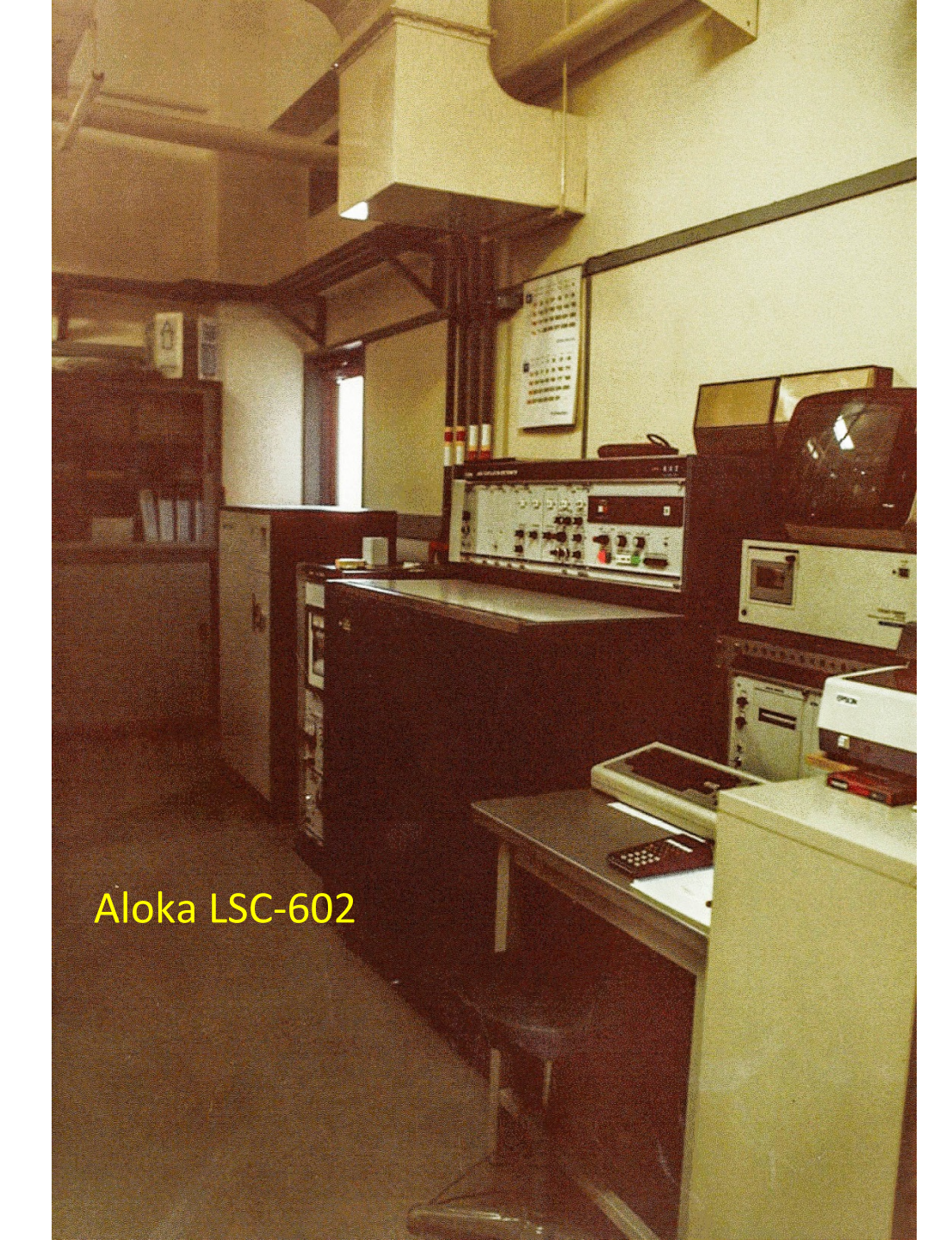




















名古屋大学工学部 原子核工学教室

# 三十年誌

1996年10月





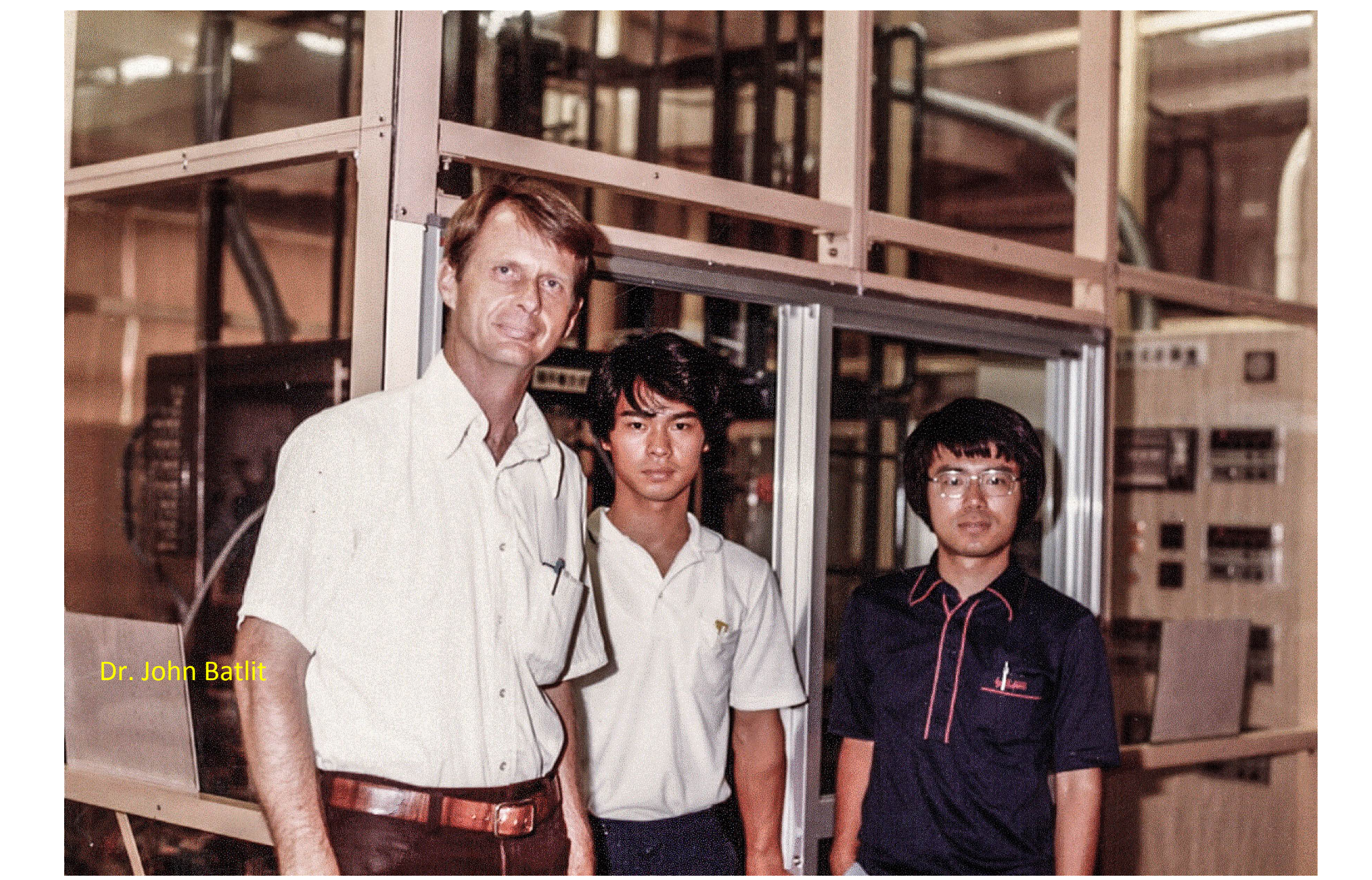


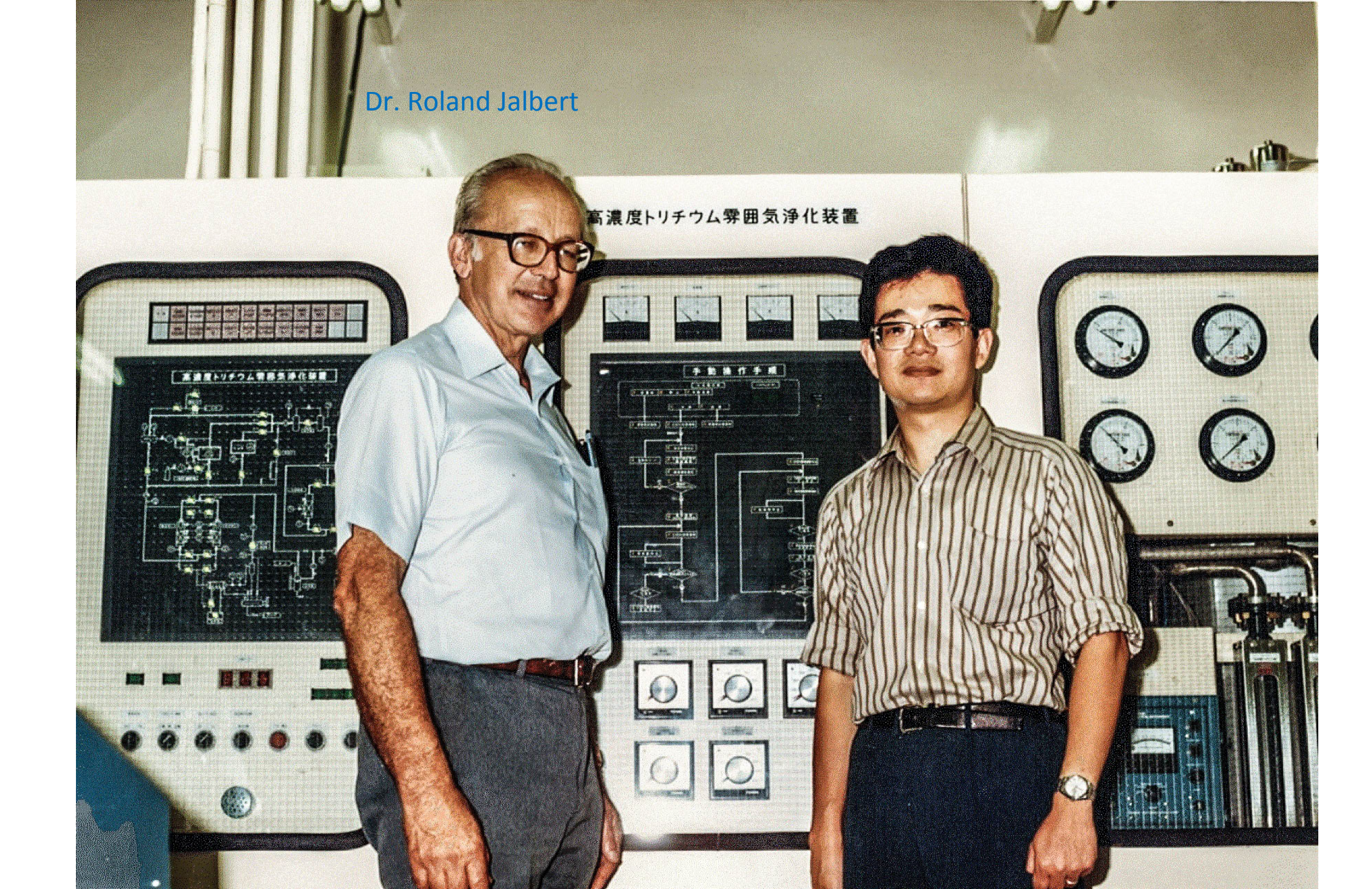
現在の教室建屋 (1996.9)

工学部6号館最東端1Fに 同位体分離実験室設置 1986年春

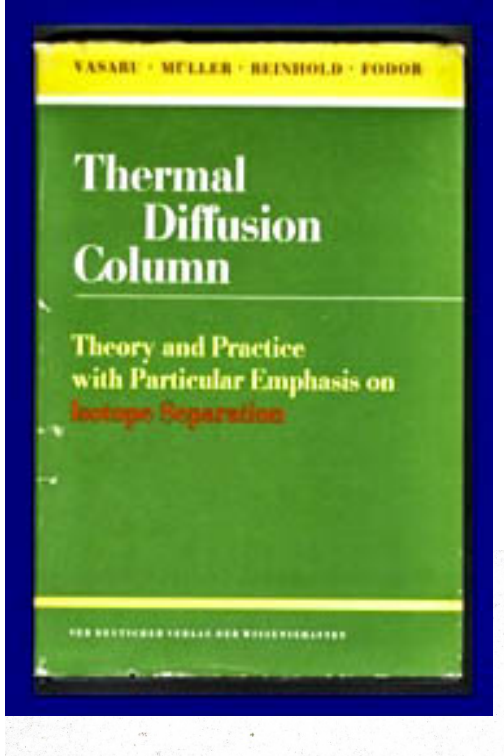
10年前

20年前 工学部6号館最東端は地階のみ









For Dr. Yamemoto with couplinents

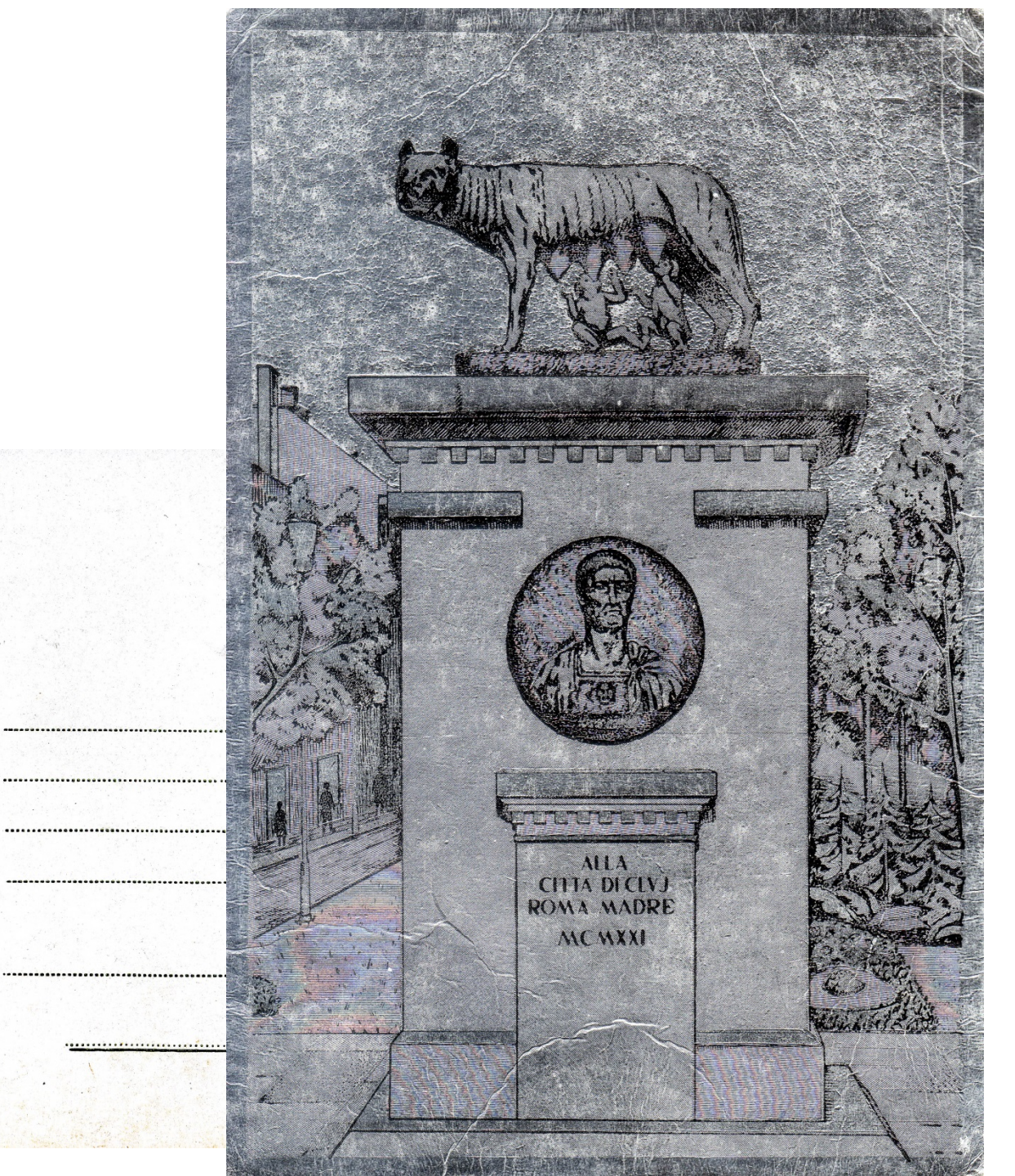
Kerara

oct 8, 198,

CLUJ-NAPOCA — Lupa Capitolina

Cd. 10017 N.I. 11389/75

Lei 1,60



# 熱拡散塔分離性能開発手法の開発

- 熱拡散塔軸方向1次元濃度分布解析(Jones-Furry 理論)プログラム作成('74)
- 熱拡散塔軸対称内部2次元流れ解析('81,掲載'85,86)
- 熱拡散塔軸対称内部2次元濃度分布解析('83,掲載'87) 世界で初めて成功 (信じてもらえず分離実験結果と比較してから発表)
- 熱拡散塔簡単化モデル(軸方向1次元濃度分布)開発 Jones-Furry 理論の解析的不可能部分を回避するため 熱拡散塔の分離係数を、代表平均温度の概念('84,掲載'87)を用いて、 塔の形状(塔高さ、塔径、熱線径、供給・抜き出し位置etc)、 運転条件(分離対象気体、運転圧力、供給流量、カットetc)の パラメータで明示的に表現('84,掲載'90)
- 流れ場と拡散問題の統合:物性値の大きく異なる混合物の分離問題への適用
- 多成分分離:2分子気体混合物の熱線表面での平衡移行
- 熱拡散塔下部における渦の生成と振動の解明(運転圧力の上限)

#### A.3 2次元詳細分離性能解析

#### A.3.1 流れ場解析と濃度分布解析

#### 連続方程式

$$\frac{1}{r} \cdot \frac{\partial}{\partial r} (\rho r v_r) + \frac{\partial}{\partial z} (\rho v_z) = 0.$$

#### 運動方程式, r-成分

$$\rho(v_r \frac{\partial v_r}{\partial r} + v_z \frac{\partial v_r}{\partial z}) + \frac{R}{M} \frac{\partial}{\partial r} (\rho T)$$

$$-(\mu_0 + \mu_1 T) \left(\frac{4}{3} \frac{\partial^2 v_r}{\partial r^2} + \frac{4}{3r} \frac{\partial v_r}{\partial r} - \frac{4v_r}{3r^2} + \frac{\partial^2 v_r}{\partial z^2} + \frac{1}{3} \frac{\partial^2 v_z}{\partial r \partial z}\right)$$

$$-\mu_1 \left\{\frac{\partial T}{\partial r} \left(\frac{4}{3} \frac{\partial v_r}{\partial r} - \frac{2v_r}{3r} - \frac{2}{3} \frac{\partial v_z}{\partial z}\right) + \frac{\partial T}{\partial z} \left(\frac{\partial v_z}{\partial r} + \frac{\partial v_r}{\partial z}\right)\right\} = 0.$$

#### 運動方程式, z-成分

$$\rho(v_r \frac{\partial v_z}{\partial r} + v_z \frac{\partial v_z}{\partial z}) + \frac{R}{M} \frac{\partial}{\partial z} (\rho T)$$

$$-(\mu_0 + \mu_1 T) (\frac{\partial^2 v_z}{\partial r^2} + \frac{1}{r} \frac{\partial v_z}{\partial r} + \frac{4}{3} \frac{\partial^2 v_z}{\partial z^2} + \frac{1}{3r} \frac{\partial^2 v_r}{\partial r \partial z})$$

$$-\mu_1 \{ \frac{\partial T}{\partial r} (\frac{\partial v_z}{\partial r} + \frac{\partial v_r}{\partial z}) + \frac{\partial T}{\partial z} (\frac{4}{3} \frac{\partial v_z}{\partial z} - \frac{2v_r}{3r} - \frac{2}{3} \frac{\partial v_r}{\partial r}) \} + \rho g = 0.$$

#### エネルギ方程式

$$\rho \hat{C}_{v} \left(v_{r} \frac{\partial T}{\partial r} + v_{z} \frac{\partial T}{\partial z}\right) - \left(k_{0} + k_{1} T\right) \left(\frac{1}{r} \frac{\partial T}{\partial r} + \frac{\partial^{2} T}{\partial r^{2}} + \frac{\partial^{2} T}{\partial z^{2}}\right) - k_{1} \left\{\left(\frac{\partial T}{\partial r}\right)^{2} + \left(\frac{\partial T}{\partial z}\right)^{2}\right\} + \frac{R}{M} (\rho T) \left(\frac{v_{r}}{r} + \frac{\partial v_{r}}{\partial r} + \frac{\partial v_{z}}{\partial z}\right) = 0.$$

#### 解析の仮定

- 1. 理想気体でNewton流体.
- 2. 粘性係数 $\mu$ , 熱伝導係数 k は温度 Tの一次関数.
- 3. 熱線表面(半径  $r_h$ ):  $T_h$ K, 冷壁表面 ( $r_c$ ):  $T_c$ K. 境界温度固定
- 4. 温度場,流れ場は軸対称.
- 5. 粘性散逸は無視
- 6. 組成平均の密度は、組成に因って不変. これは、
  - (a) 質量差の小さい同 位体混合物.
  - (b) 片方の成分が極く 僅か.

の時に成立.

#### 分離困難な方が解析は容易

## 数值解法

- 1. Control volume approach. 物質収支を高精度に満足
- 2.2次の精度の中央差分.
- 3. Newton 反復、Gauss の直接消去. このプログラミングが困難を極めた

## 数値解法の工夫

- 1. 基準温度分布の導入. 微係数の精度向上.
  - 1 mm で100℃以上の温度勾配による桁落ち回避
- 2. 塔全体の質量保存則の導入. 0 への収束回避.
  - このプログラミングが困難を極めた
- 3. Gauss 直接消去での Scaling, Partial pivoting.

流れ解析で得られた  $\{\rho_{ij}, v_{r,ij}, v_{z,ij}, T_{ij}\}$  を 移流・拡散方程式に代入して、Newton 法で解く.

## 移流·拡散方程式

$$\frac{1}{r} \cdot \frac{\partial}{\partial r} \left[ r \rho x_A v_r - r \rho \frac{M_B}{M} D_{AB} \left\{ \frac{\partial x_A}{\partial r} + \alpha_T x_A (1 - x_A) \frac{1}{T} \cdot \frac{\partial T}{\partial r} \right\} \right] 
+ \frac{\partial}{\partial z} \left[ \rho x_A v_z - \rho \frac{M_B}{M} D_{AB} \left\{ \frac{\partial x_A}{\partial z} + \alpha_T x_A (1 - x_A) \frac{1}{T} \cdot \frac{\partial T}{\partial z} \right\} \right] = 0.$$

## A.3.2 $H_2$ -HT 分子間の $\alpha_T$ 概略評価 ('84,掲載'88)

The Chapman-Cowling approximation

$$D_{AB} = \frac{0.002680}{P(\text{in atm.})\sigma_{AB}^2} \sqrt{T^3 \frac{M_A + M_B}{2M_A M_B}} \cdot \frac{f_d}{\Omega^{(1,1)*}}.$$

The Monchick-Sandler-Mason scheme + 粗い近似

$$\alpha_{T} = (6\mathbf{C}_{AB}^{\star} - 5)_{inel} \cdot \frac{S_{A}x_{A} - S_{B}x_{B}}{Q_{A}x_{A}^{2} + Q_{B}x_{B}^{2} + Q_{AB}x_{A}x_{B}} + \frac{1}{5}[(6\tilde{\mathbf{C}}_{AB} - 5) - (6\tilde{\mathbf{C}}_{BA} - 5)],$$

 $\mathbf{C}_{inel}^{\star}, \tilde{\mathbf{C}}_{AB}, \tilde{\mathbf{C}}_{BA}$  : 非弾性衝突積分の比 (-)

 $S_A, Q_A, Q_{AB}$ etc. : 種々の衝突積分の関数 (-)

## 熱拡散定数CC近似では 水素同位体分離予測不可

σ<sub>AB</sub> : A-B 衝突直径 (Å)

fa: 1次から高次近似

への補正係数 (-)

 $\Omega^{(1,1)*}$  : 無次元衝突積分,

T と $\epsilon/k$  の関数

 $\epsilon/\mathrm{k}$  : 分子間ポテンシャル深さ ( $\mathrm{k}$ 

(k: the Boltzmann 定数)

HT-H<sub>2</sub> 混合気体 (A: HT, B: H<sub>2</sub>)

 $\sigma_{AB}$ : 3.06 Å,  $\epsilon/k$  30.4 K

Lennard-Jones (9-6) potential.

x<sub>HT</sub> ~0 の時の近似式

 $\alpha_T = [(6\mathbf{C}_{AB}^{\star} - 5)_{el} - 0.0968](-S_B/Q_B) - 0.0484 \simeq 0.0945 - 0.16337 \cdot \exp(-0.01024 \cdot T).$ 

#### A.3.3 計算機性能への要求事項

#### Newton 法で要求する計算機記憶領域

n:変数の数.

N<sub>R</sub> : 半径方向分割数.

Nz: 軸方向分割数.

ヤコビ行列サイズ :  $(n \times N_R \times N_Z)^2$ 

主記憶最低必要量 :

 $6n^2N_R^2$ 

外部記憶最低必要量 :  $n^2N_R^2(3N_Z-2)$ 

 $N_R < N_Z$ , 単精度:× 4B, 倍精度:8B,4 倍精度:16B.

#### Newton 法反復1回当り計算に要する時間

メッシュ	流れ場	濃度分布	計算機 (精度)	
$(14\times40)$	18 s	_		
$(14 \times 60)$	26.7 s	_	FACOM M200(D)	
$(24 \times 60)$	100.5 s	-		
$(17 \times 158)$	~74 m	$\sim 3 \text{ m}$		
$(17\times314)$	∼144 m	$\sim$ 6 m	HITAC E800/7(D)	
$(17 \times 158)$	∼63 s	~1.6 s		
$(17 \times 314)$	$\sim$ 130 s	$\sim 3 \text{ s}$	FACOM M780/20(Q)	
$(24 \times 314)$	~390 s	(∼10 s)		

流れ場 5~7 回. 濃度場 2~4 回 で収束

YHP-9735(40MFLOPS)(17×158)mesh に対し流れ場~55 s, 濃度場~1 s.流れ場・濃度場連立 2 成分系~150 s.流れ場・濃度場連立 3 成分系~245 s.連立解法では 10~23 回で収束

#### 1次元簡単化分離性能解析

#### 熱拡散塔に対するJones-Furry-Onsager 理論と、 遠心分離機に対するCohen-Kanagawa 理論とは 手法は同じ 塔定数

#### 軸方向1次元輸送方程式

## Jones-Furry-Onsager理論

$$\tau_A = \tau + H \cdot x(1-x) - (K_c + K_d) \cdot \frac{dx}{dZ}.$$

τ : 分離すべき混合物の全輸送量,

 $\tau_A$ : species A の輸送,

x(Z): 半径方向に積分した species A の分率密度,

H: 熱拡散効果による流れに関する係数,

Kc:対流による再混合に関する係数、

Kd: 拡散による再混合に関する係数.

# $H \equiv 2\pi \int_{r_b}^{r_c} \alpha_T \frac{\partial \ln T}{\partial r} (\int_{r_b}^{r} \rho v_z(r) dr) dr,$ $K_c \equiv 2\pi \int_{r_c}^{r_c} \frac{1}{\rho Dr} (\int_{r_c}^{r} \rho v_z(r) dr)^2 dr,$ $K_d \equiv 2\pi \int_{r_c}^{r_c} \rho Dr dr.$

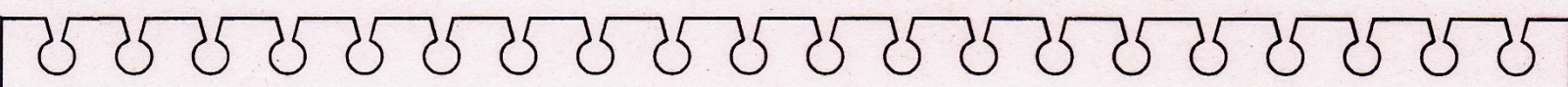
 $\alpha_T$ : 熱拡散ファクタ, (-)

D : (通常) 拡散係数, (cm<sup>2</sup>/s)

 $\rho$  : 密度,  $(g/cm^3)$ 

 $v_z(r)$  : 軸方向速度分布. (cm/s)

Manhattan Project の際には、塔定数の計算のための膨大な数表が作成された



解析的に取扱不可能の理由 (1)  $v_z(r)$  の陽表現がない. (2) 温度分布に対数を採ると 解析的積分不可能. (3) 繰り返し積分が複雑.

### 自然対流基本式(定常,軸対称)

$$0 = -\frac{\partial p}{\partial z} + \mu \left[ \frac{1}{r} \frac{\partial}{\partial} \left( r \frac{\partial v_z}{\partial r} \right) \right] + \rho g_z$$

$$\downarrow \boxed{dp/dz = -\bar{\rho}g}$$

#### 自然対流近似運動方程式

$$0 = \bar{\mu} \left[ \frac{1}{r} \frac{\partial}{\partial} \left( r \frac{\partial v_z}{\partial r} \right) \right] + \bar{\rho} \bar{\beta} g (T - \bar{T})$$

 $\bar{T}$  : 系を代表する温度,

⇒ 物性値を評価する温度.

β: 体積膨張率,

 $\equiv 1/T$ 理想気体.

$$r_c$$
で無次元化:  $r^* \equiv r/r_c$   $\delta \equiv r_h/r_c$ 

境界条件  $v_z(\delta) = v_z(1) = 0.$ 

$$\theta^* F \rho_c = 2\pi \int_{r_h}^{r_c} \rho v_z(r) r dr.$$

温度分布 
$$T(r) = \frac{\Delta T}{\ln \delta} \cdot \ln r^* + T_c.$$

## Semi-explicit 速度分布

$$v_z(r^*) = \frac{\bar{\rho}\bar{\beta}g\Delta T \cdot r_c^2}{4\bar{\mu}\ln\delta}$$

$$\times \left[ -\frac{I_2}{I_1} \cdot f_1 + f_2 + \frac{2\theta^* F\bar{\mu}}{\pi r_c^4 \bar{\rho}g\bar{\beta}T_c} \cdot \frac{1}{I_1} \cdot f_1 \right].$$
自然対流 強制対流

$$f_1(\delta, r^*) \equiv -(1 - r^{*2}) + \frac{1 - \delta^2}{\ln \delta} \ln r^*,$$
 $f_2(\delta, r^*) \equiv -(r^{*2} - \delta^2) \ln r^*,$ 
 $I_1 \equiv \int_{\delta}^{1} \frac{f_1 r^* dr^*}{\ln r^* + a},$ 
 $I_2 \equiv \int_{\delta}^{1} \frac{f_2 r^* dr^*}{\ln r^* + a},$ 
 $a \equiv T_c \cdot \ln \delta / \Delta T,$ 

#### 代表平均温度

#### **Reference Mean Temperature**

$$\bar{T} = T_c \left[ 1 - \frac{\Delta T}{T_c} \frac{1}{\ln \delta} (1 + \frac{I_2}{I_1}) \right] + \frac{2\theta^* F \bar{\mu} \Delta T}{\ln \delta \pi r_c^4 \rho g \bar{\beta} T_c} \cdot \frac{1}{I_1}.$$

#### 無次元輸送方程式

$$0 = w(x - x_A) + \alpha_T H^* x (1 - x) - (BK_c^* + \frac{K_d^*}{B}) \frac{dx}{dZ^*}$$

無次元供給流量
$$w \equiv \frac{2\theta^* F \bar{\mu}}{\pi r_c^4 \rho_c g} \cdot A^2$$
, 物性値・幾何条件 $B \equiv \frac{\rho_c g r_c^3}{4 \bar{\mu} D \ln \delta} \cdot \frac{\Delta T}{T_c} / A^2$ .

平均密度から決まる温度との関係

$$ar{T} = \langle T 
angle \left[ 1 - rac{\Delta T}{T_c} rac{1}{2 \ln \delta} (1 + 2 rac{I_2}{I_1}) 
ight].$$

答定数  

$$H^* \equiv \int_{\delta}^{1} \frac{1}{r(\ln r + a)} \left( \int_{\delta}^{r} \frac{u^* r dr}{\ln r + a} \right) dr,$$
  
 $K_c^* \equiv \int_{\delta}^{1} \frac{\ln r + a}{r} \left( \int_{\delta}^{r} \frac{u^* r dr}{\ln r + a} \right)^2 dr,$   
 $K_d^* \equiv \int_{\delta}^{1} \frac{r dr}{\ln r + a},$ 

無次元速度
$$u^* \equiv w \cdot \frac{f_1(r)}{I_1} - \frac{I_2}{I_1} \cdot f_1(r) + f_2(r)$$
.

熱拡散塔の幾何条件,運転条件の値で明示的に表現された 無次元塔定数

$$H^* \simeq \left[ -\frac{1}{64} \left( \frac{\Delta T}{T_c} \right)^2 \frac{1}{(\ln \delta)^2} \cdot \frac{2 + \ln \delta}{1 + \ln \delta} / A^2 \right]$$

$$+ \left[ \frac{1}{4} \left( \frac{\Delta T}{T_c} \right) \frac{3 \ln \delta + 4}{\ln \delta (1 + \ln \delta)} / A \right] \cdot w,$$

$$K_c^* \simeq \left[ \frac{1}{16^3 \cdot 27} \cdot \frac{\Delta T}{T_c} \cdot \frac{1}{\ln \delta} \cdot \frac{15 (\ln \delta)^2 + 56 \ln \delta + 53}{(1 + \ln \delta)^2} / A \right]$$

$$+ \left[ -\frac{39 (\ln \delta)^2 + 121 \cdot \ln \delta + 94}{8 \times 16 \times 27 \cdot (1 + \ln \delta)^2} \right] \cdot w$$

$$+ \left[ \left( \frac{T_c}{\Delta T} \right) \frac{\ln \delta}{(1 + \ln \delta)^2} \left\{ \frac{11}{24} (\ln \delta)^2 + \frac{19}{18} (\ln \delta) + \frac{5}{8} \right\} \cdot A \right] \cdot w^2,$$

$$K_d^* \simeq \frac{\Delta T}{T_c} \cdot \frac{1}{2 \ln \delta} / A.$$

## A.5 深冷壁熱拡散塔

## 熱拡散塔の運転圧力を上げていくと分離係数は増大し、ある最大値をとった後減少する

## 全還流·分離係数

$$\alpha\beta = \exp\left[\frac{\alpha_T \cdot H_0^*}{B \cdot K_{c0}^* + K_d^*/B} \cdot Z^*\right]$$

## 最適圧力分離係数を最大にする圧力

$$\frac{\partial}{\partial P}\alpha\beta = 0$$
 の解.

圧力依存項 
$$B = P^2 \cdot \frac{Mgr_c^3}{4\bar{\mu}D'R\ln\delta} \cdot \frac{\Delta T}{T_c^2}/A^2$$

$$\equiv P^2 \cdot B'.$$

但し, 
$$\rho_c = \frac{PM}{RT_c}$$
,  $D' \equiv D_{st} \cdot P_{st}$  then,  $D = D'/P$ .

$$\frac{\partial}{\partial P} \frac{1}{P^2 B' \cdot K_{c0}^* + K_d^* / (P^2 B')} = 0$$

最適圧力 :  $\bar{T}/\sqrt{r_c^3\Delta T}$ に比例

$$P_{opt}^2 = \frac{1}{B'} \sqrt{\frac{K_d^*}{K_{c0}^*}}$$
 Rutherford の実験結果をよく説明できる 
$$= 384\sqrt{6} \cdot \frac{\mu D' R}{r_c^3 M g} \cdot \frac{T_c^2}{\Delta T} [1 - \frac{\Delta T}{T_c} \cdot \frac{4 + 3ln\delta}{4 \ln \delta (1 + \ln \delta)}]^2 \sqrt{\frac{(\ln \delta)^2 (1 + \ln \delta)^2}{15 (\ln \delta)^2 + 56 \ln \delta + 53}}.$$

最適圧力で得られる最大分離係数 :  $\alpha_T \cdot (\Delta T/T_c A) \cdot Z^*$  に比例する引数

$$(\alpha \beta)_{P_{opt}}^{max} = \exp\{\alpha_T \cdot \frac{H_0^*}{2\sqrt{K_{c0}^* \cdot K_d^*}} \cdot Z^*\}$$

$$= \exp\left[\frac{\Delta T}{T_c} \cdot \frac{3\sqrt{6}(2 + \ln \delta) \cdot \alpha_T \cdot Z^*}{2 \cdot \ln \delta \sqrt{15(\ln \delta)^2 + 56 \ln \delta + 53}} / \{1 - \frac{\Delta T}{T_c} \cdot \frac{4 + 3 \ln \delta}{4 \ln \delta (1 + \ln \delta)}\}\right].$$

## $\Delta T$ の増加 $\longrightarrow \alpha \beta$ の増加

 $\Delta T$  は、 $(\alpha \beta)_{P_{opt}}^{max}$  の中では $\Delta T/T_c$ の形.



 $\frac{\Delta T}{T_c}$ の増加  $\longrightarrow (\alpha\beta)$  の増加.

1988年11月

深冷壁熱拡散塔の概念着想

# 88888888888

"通常冷壁"  $T_c$ = 288.15 K から "深冷壁"  $T_c$ = 77.35 K にすることにより,  $\alpha\beta$  の飛躍的増大の可能性.

冷壁温度	$\alpha$	$\beta$	lphaeta	$P_{opt}$
288.15 K	1.98	54.65	108.29	0.120 MPa
77.35 K	9.9914	1053.3	10520.46	0.038  MPa
2 次元	F = 1.0	cm <sup>3</sup> (at	288.15 K, 0	0.1 MPa)/m .
詳細計算	$\theta = 0.1$	1(深冷壁	). $\theta = 0.5$	(通常冷壁) .

1990年8月 大型計算機センターへ移植 100万円/月突破

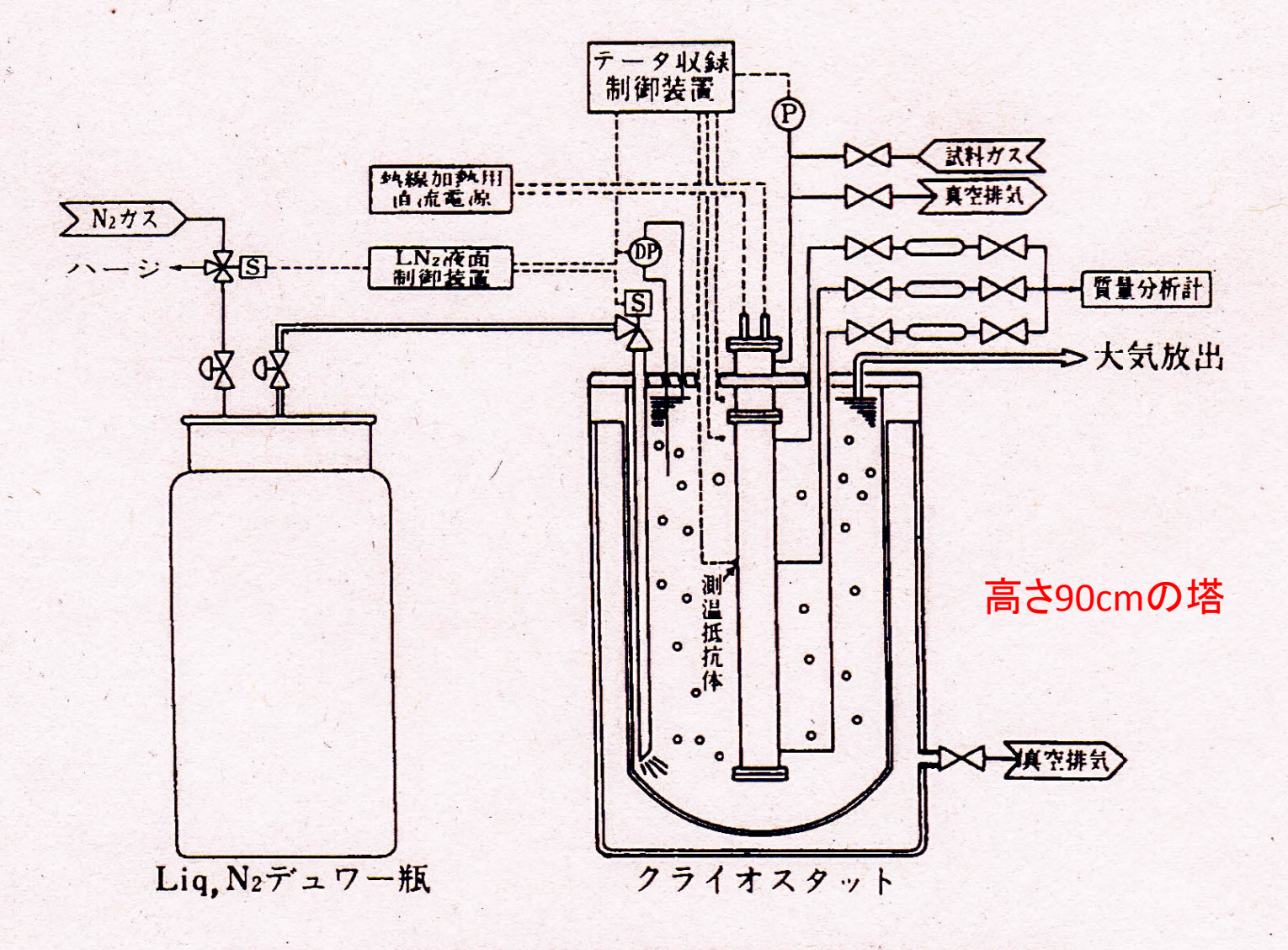


図1 深冷壁熱拡散塔予備実験装置

住友重機械工業(株)平塚研究所

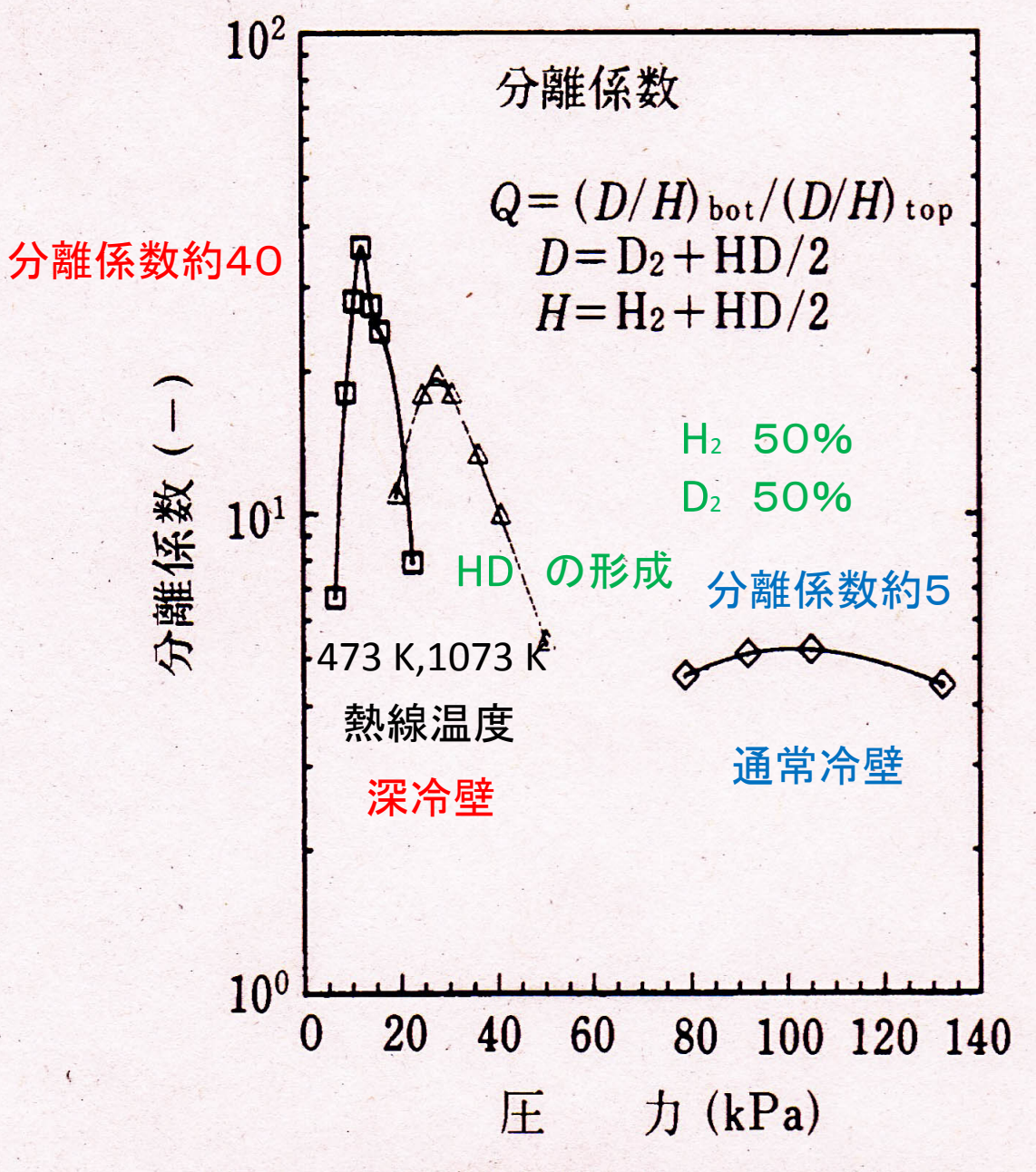


図2 深冷壁熱拡散塔予備実験結果

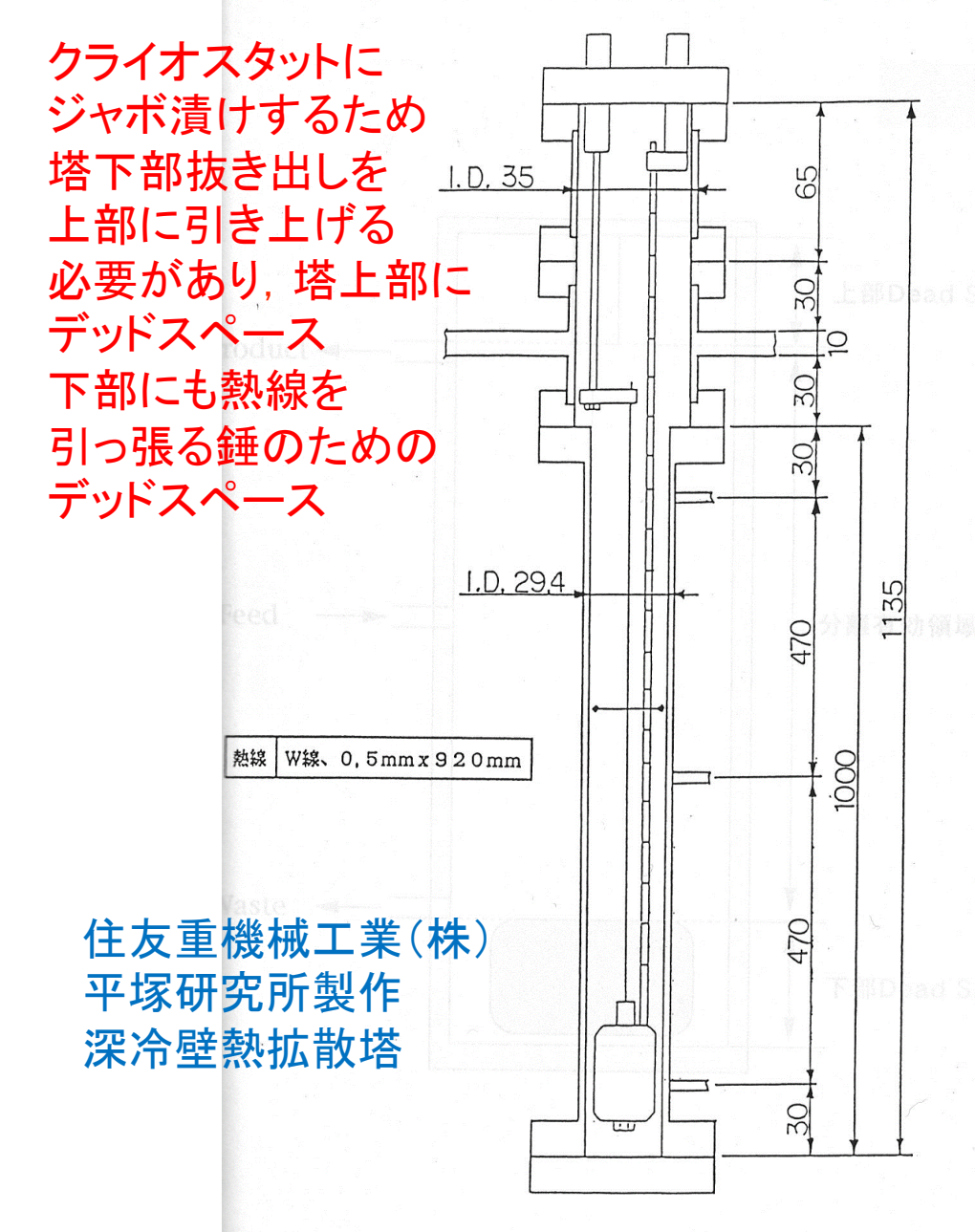
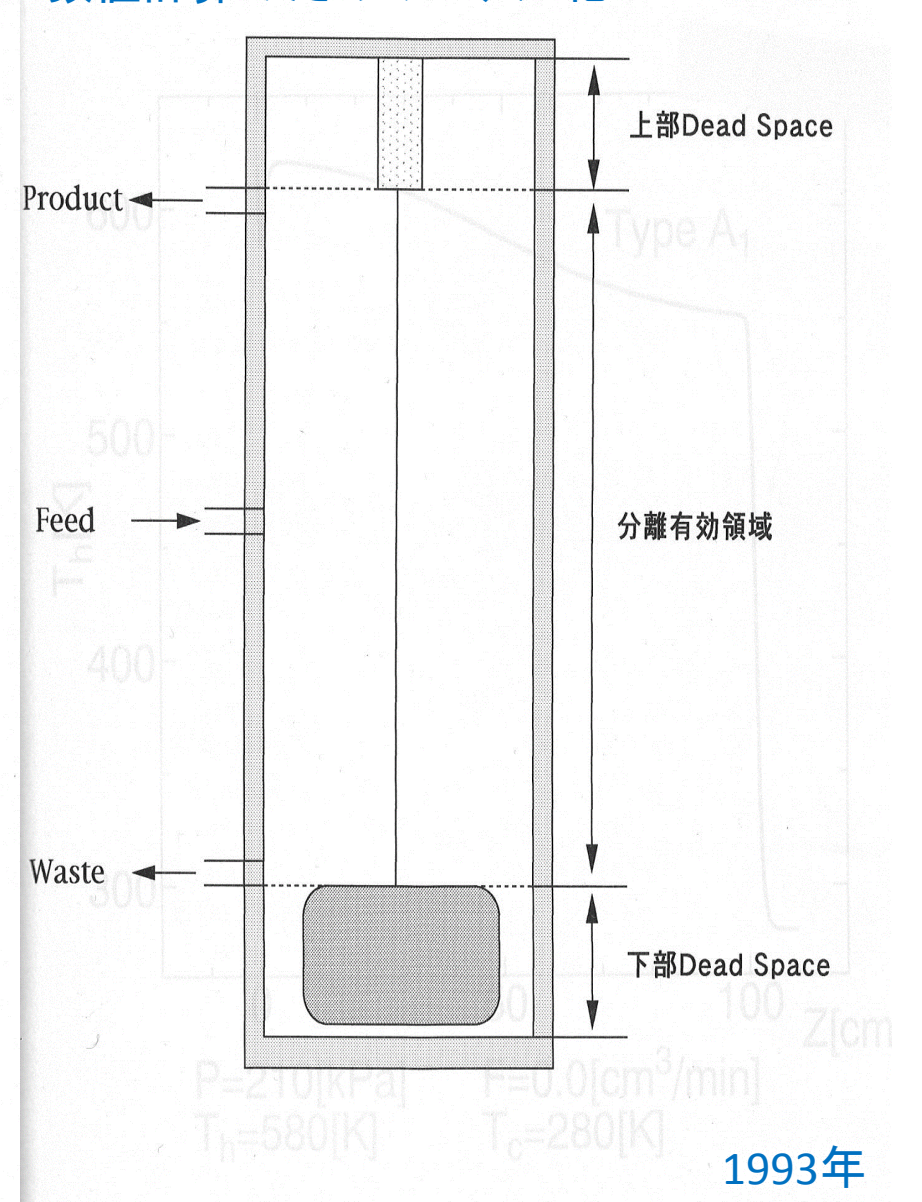
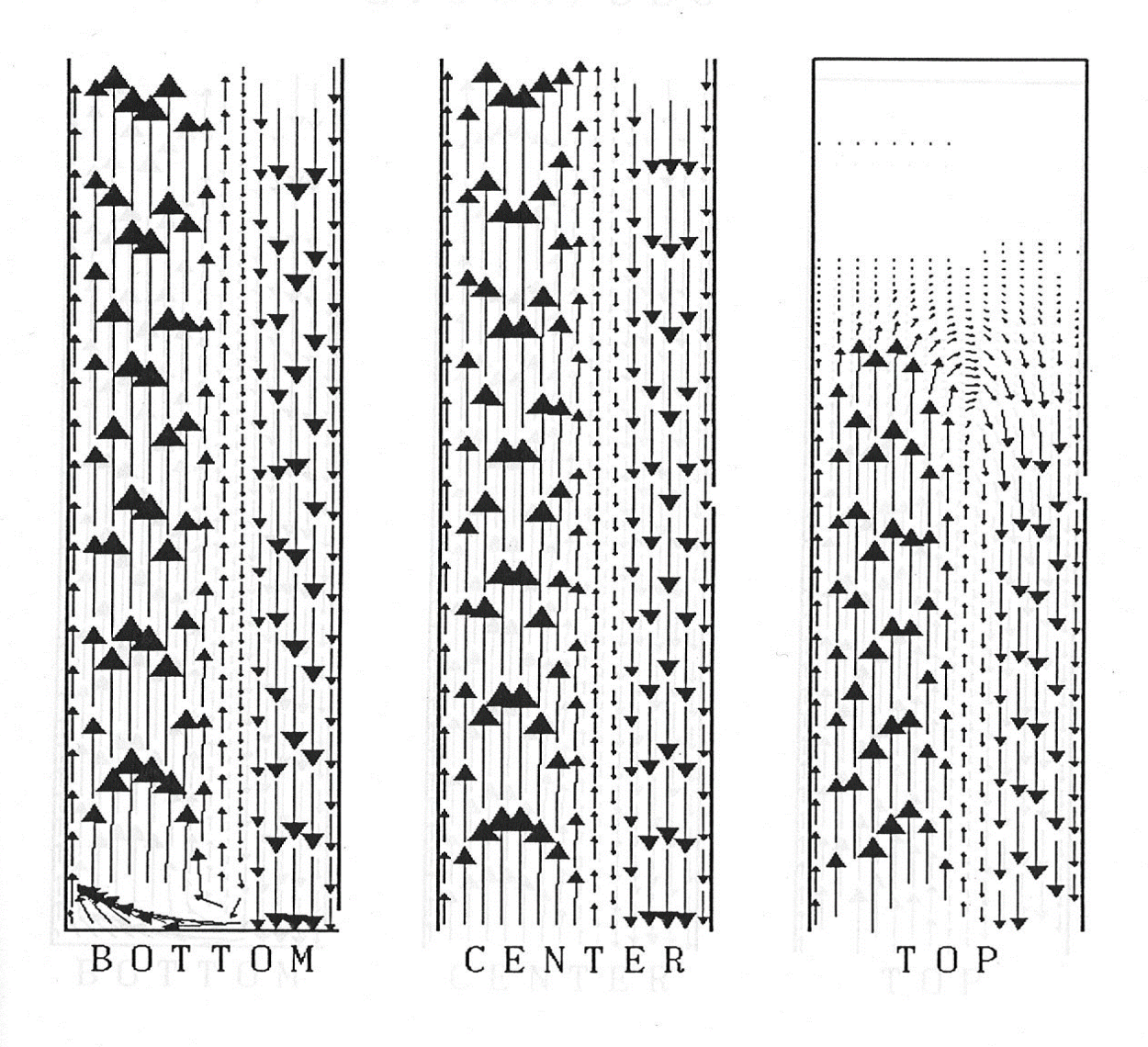


図 B.1: 住友重機械工業(株) 平塚研究所の深冷壁熱拡散塔

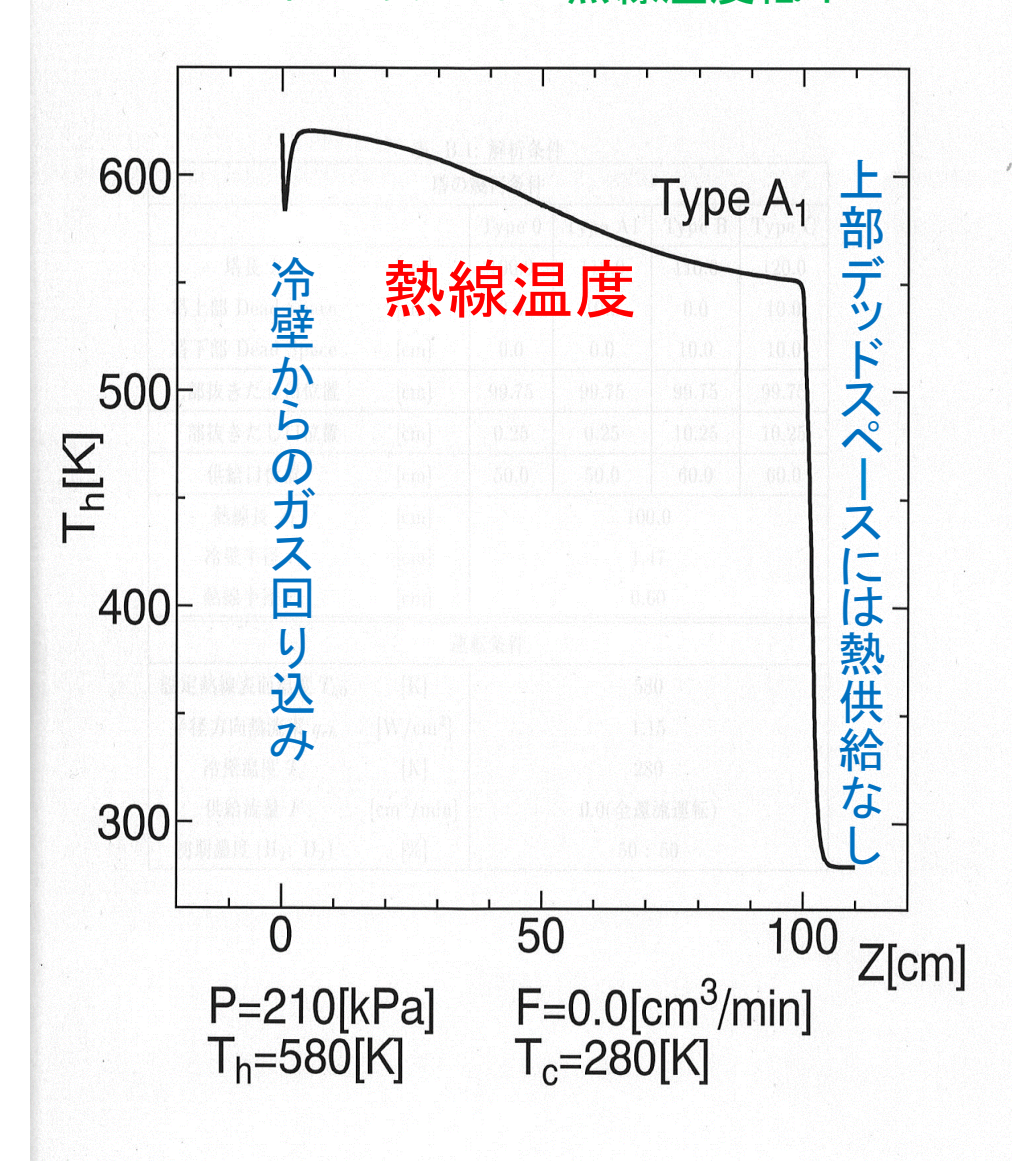
#### 数値計算のためのモデル化



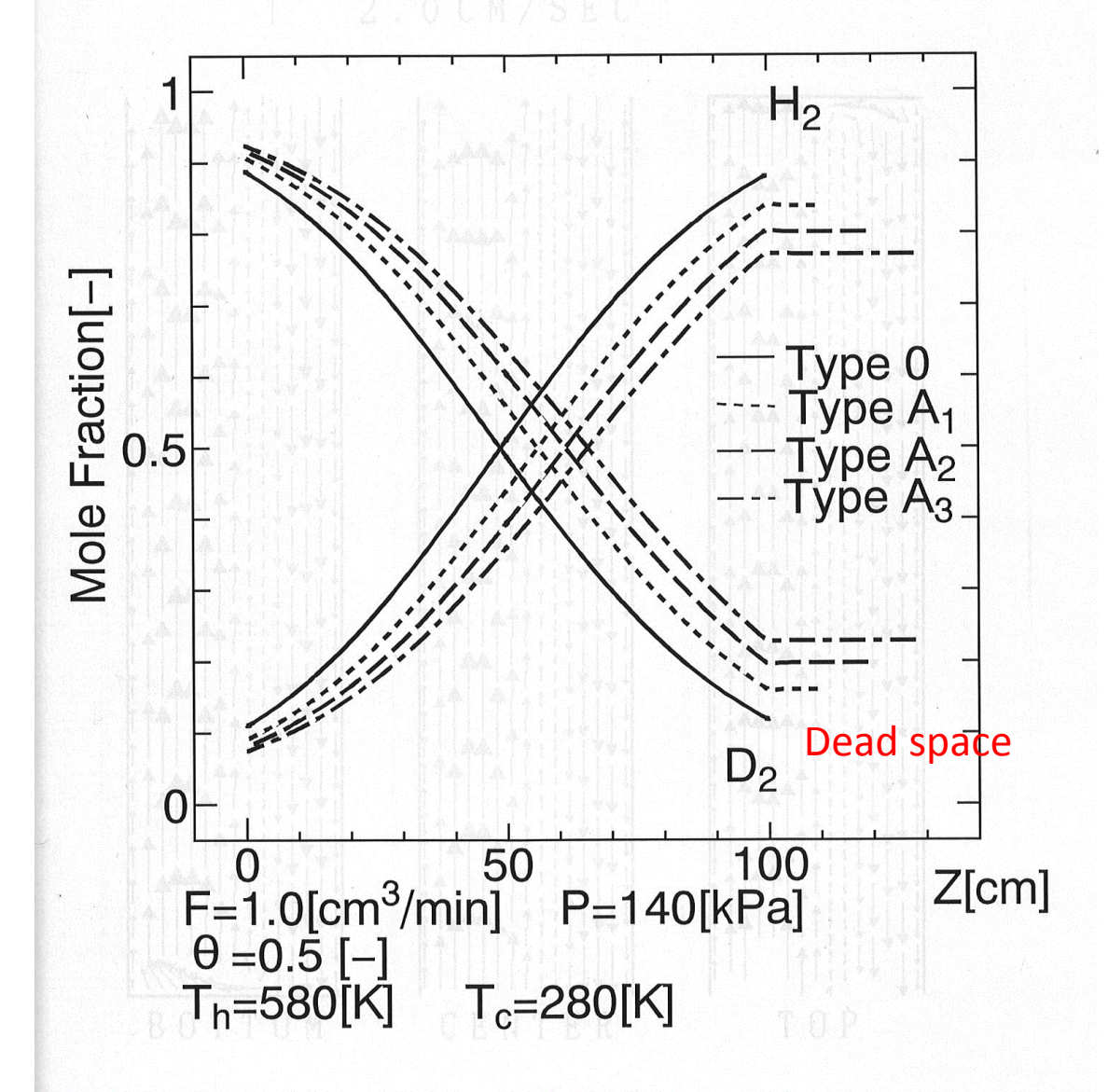


上部デッドスペースでは 流れが存在せず

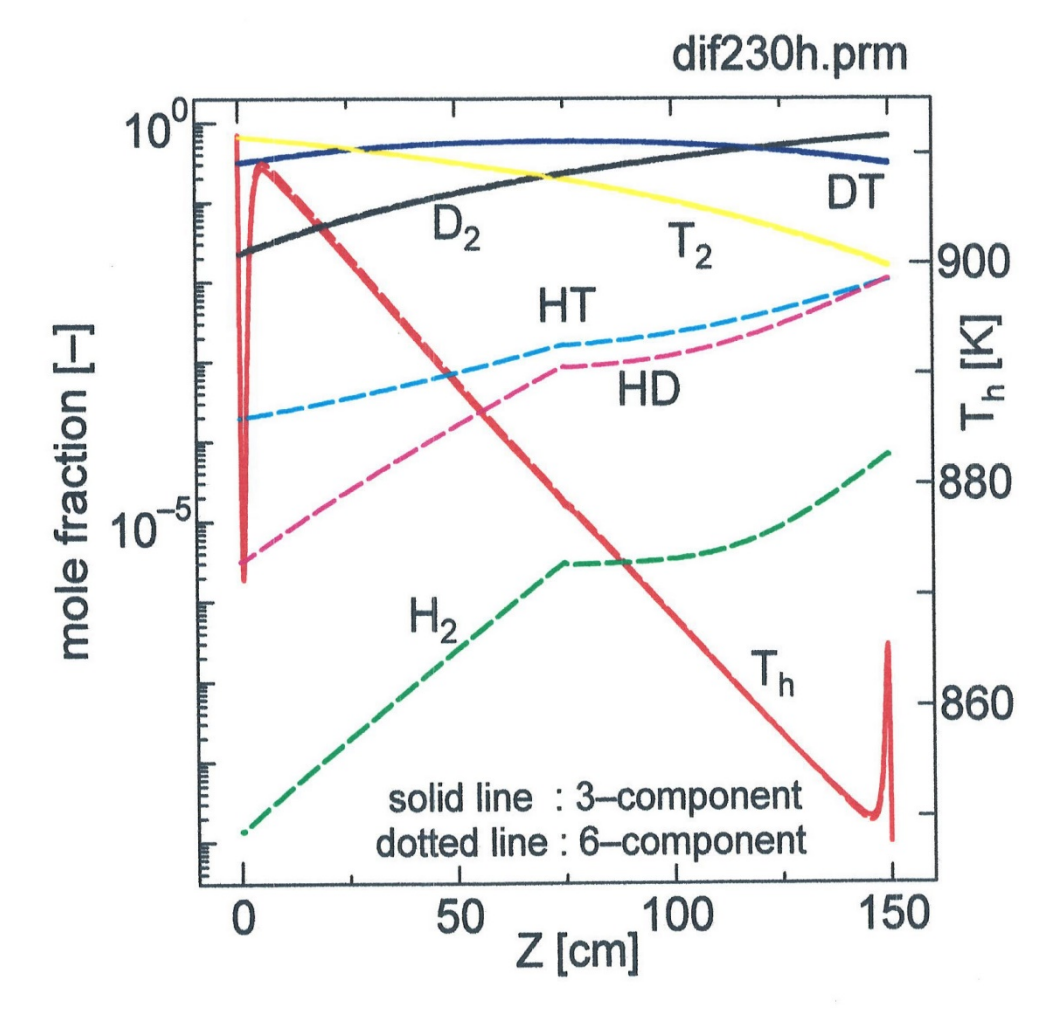
塔下部では 塔上部ほど 重水素濃縮 軽水素濃縮 熱線温度上昇 熱線温度低下



# 上部デッドスペースの大きさによる 軽水素, 重水素組成分布の変化



## 水素同位体分子6成分濃度分布



熱線表面同位体平衡移行あり

## T2 を基準成分とした分離係数

10CA508A.PRM

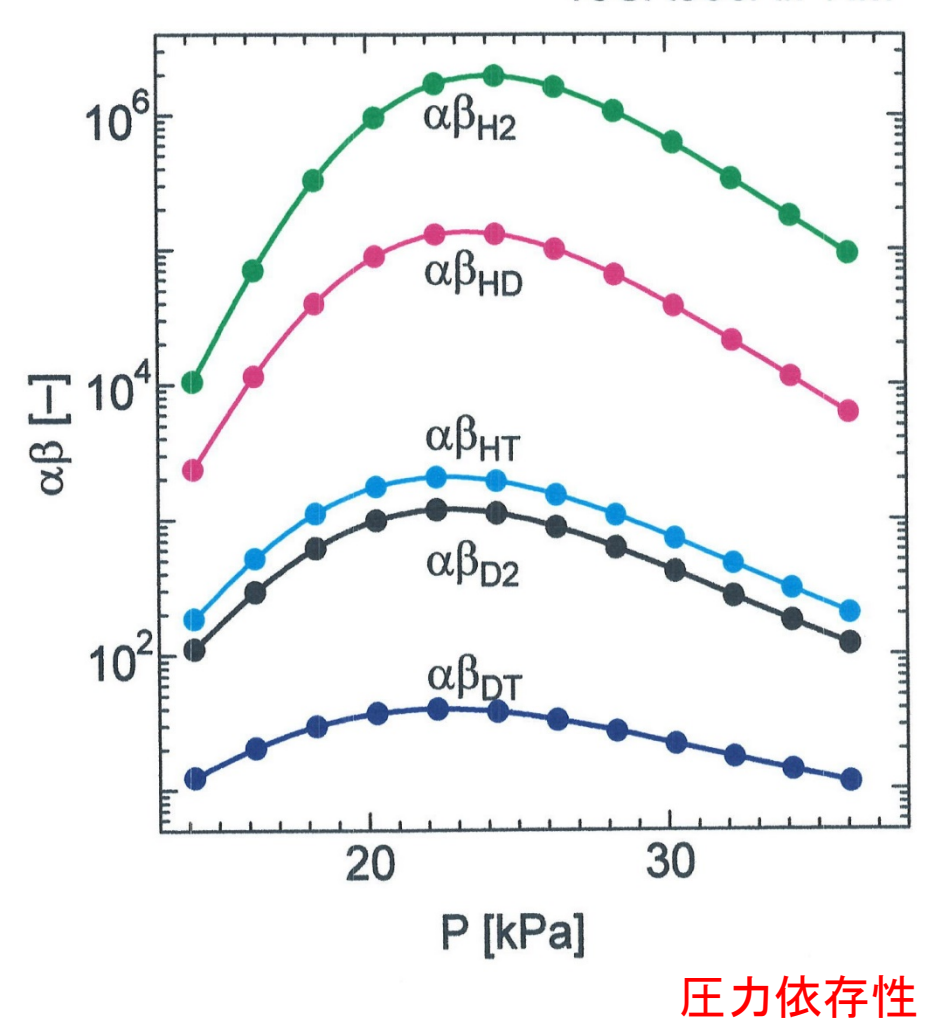
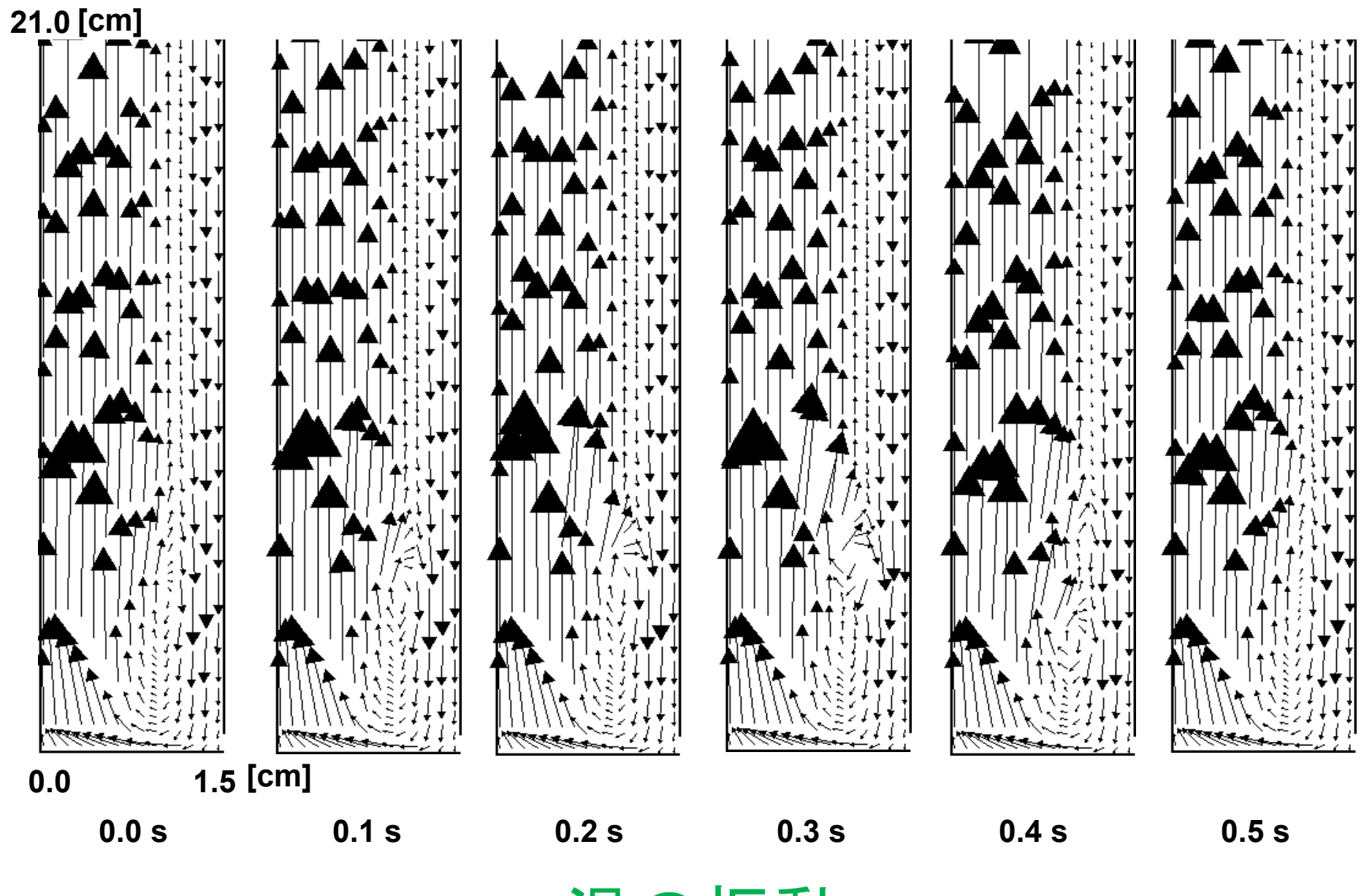


図 5.2: 塔内圧力に対する αβ (case 2)

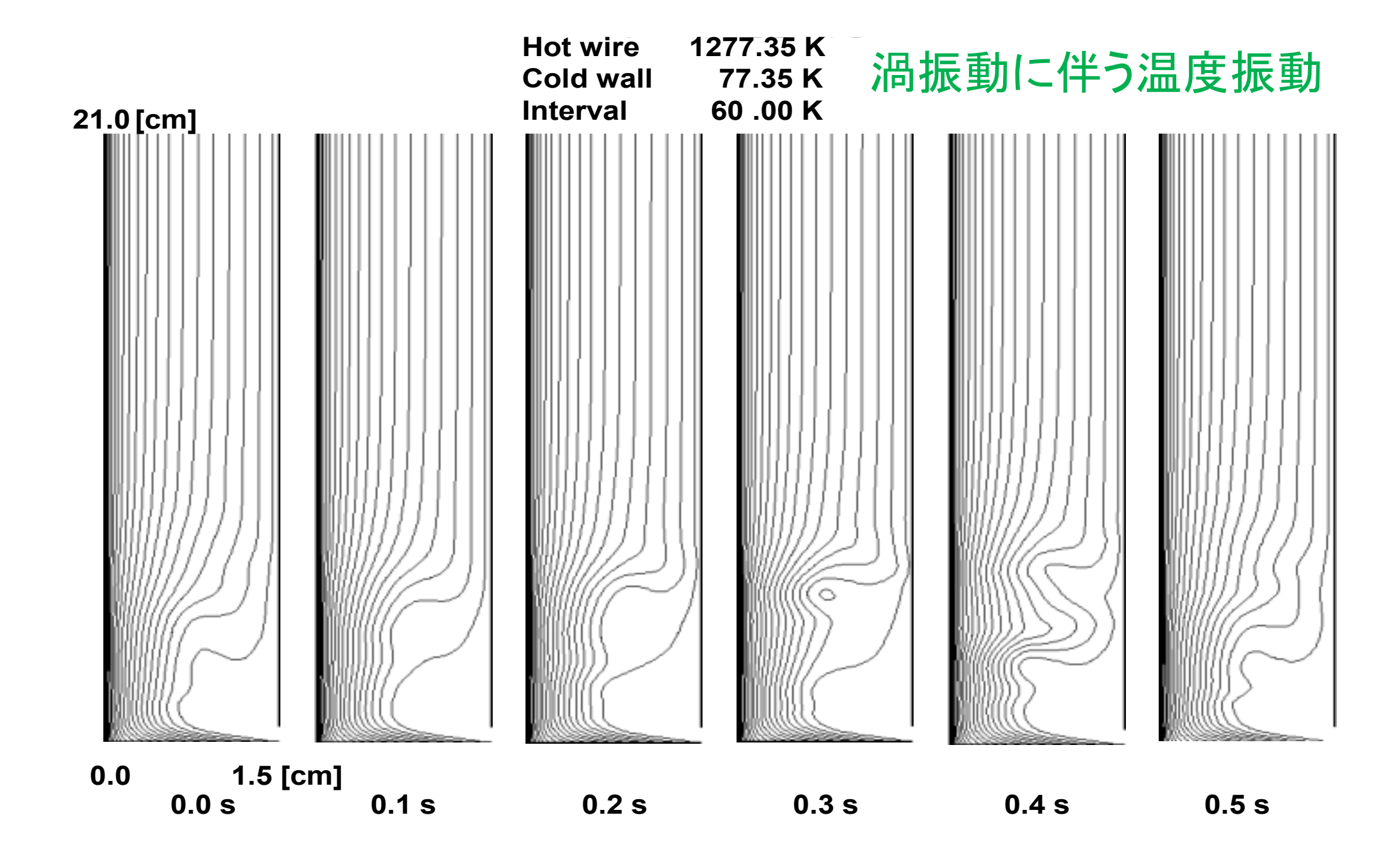
# 熱拡散塔の自然対流

- ・自然対流の大きさは、運転圧力の上昇と共に大きくなる
- ある圧力で、 塔の下部に渦を生じる (この時点まで層流定常解析が 可能)
- 更に圧力が上がると、この渦が上下に震動を始める(定常解析は収束しなくなり、動的解析が必要となる)
- 過が振動すると、その部分の気体が混合されるので、せっかく分離した成分が混合されることになり、分離の観点からは好ましくない。

10.0 cm/s



# 渦の振動



#### 120.00CM/SEC

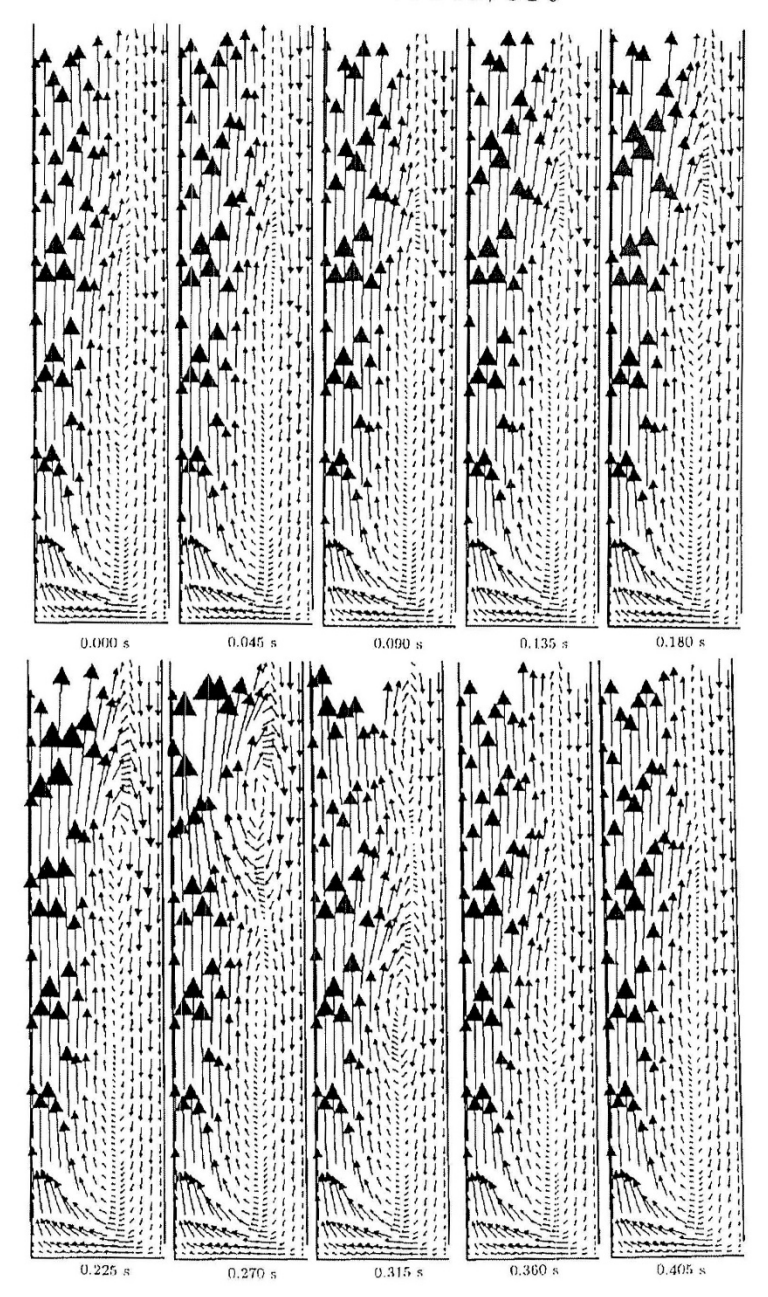
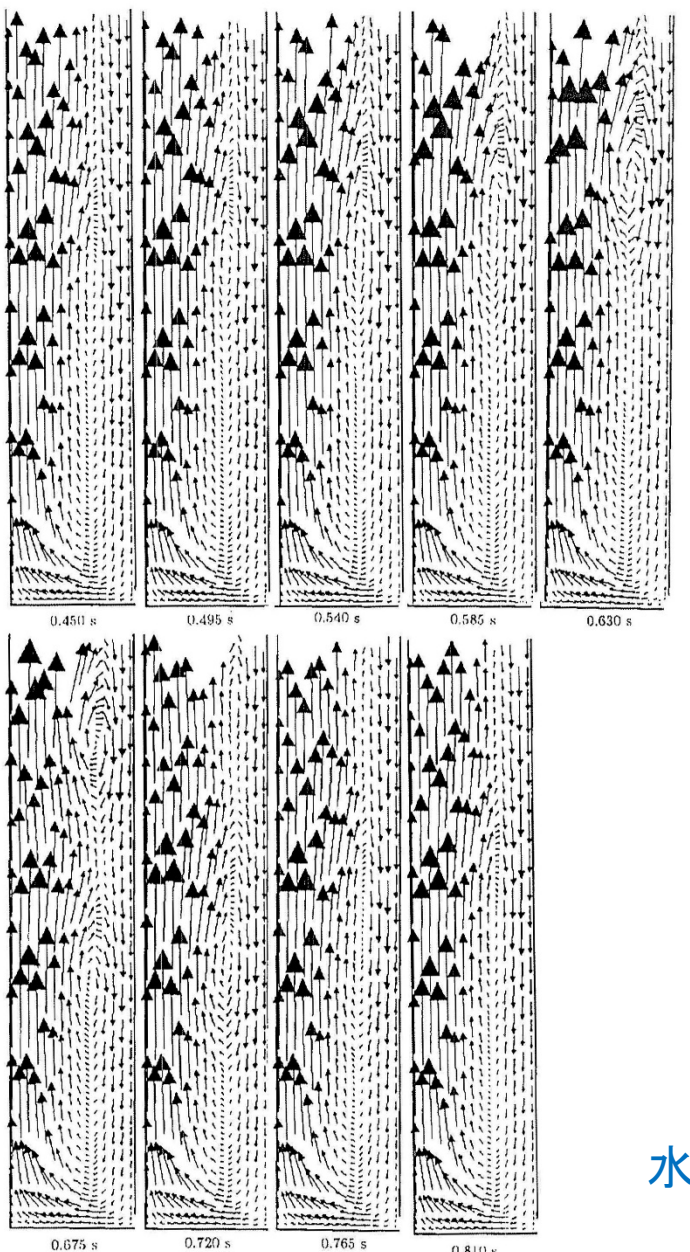


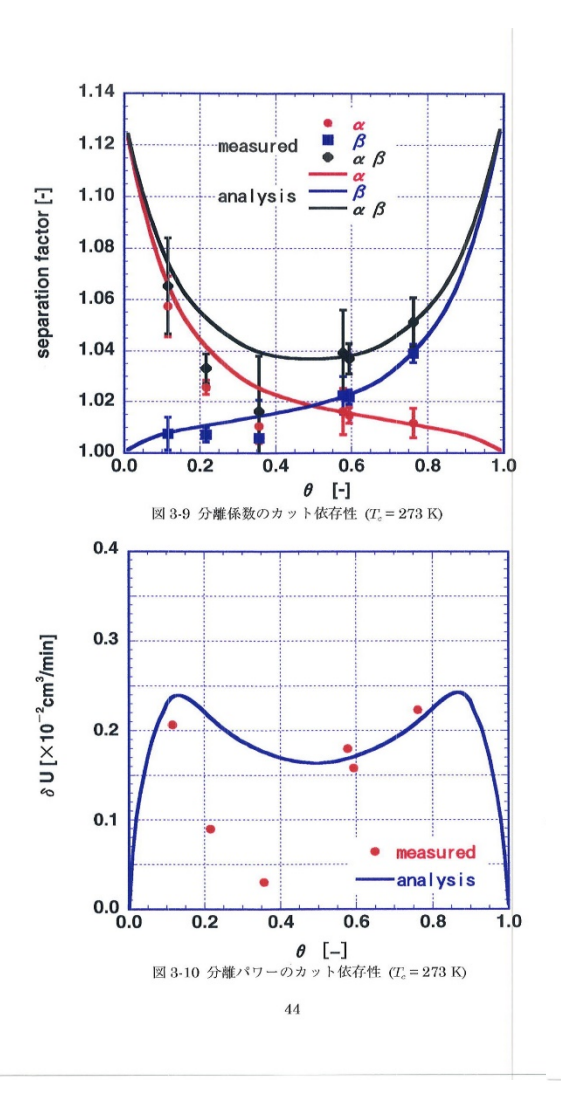
図 4.13: P=115 kPaのときの塔底部分7cmの流れ場変動(1)

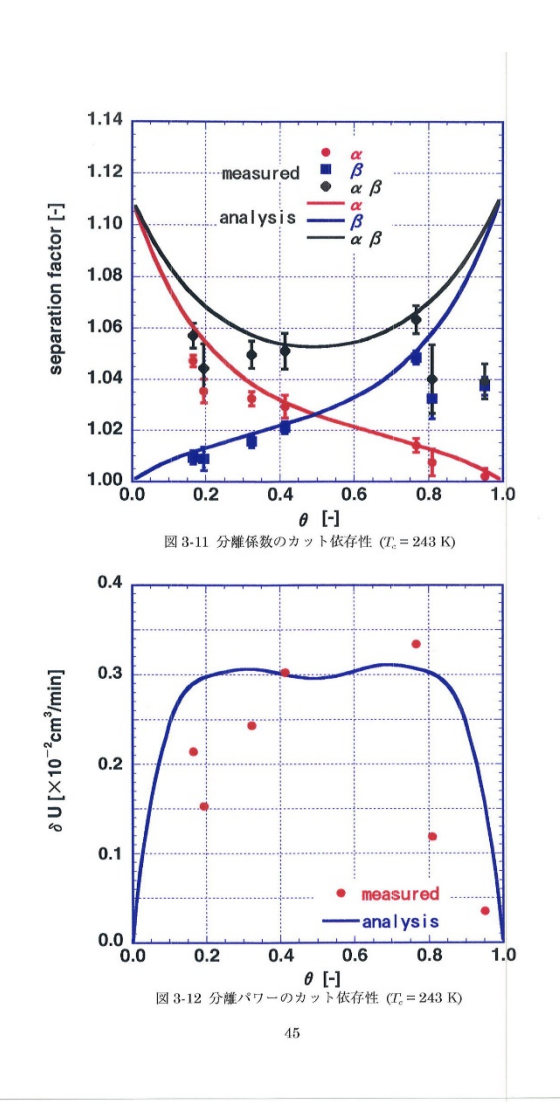
#### 4.2. 非定常流れ場解析

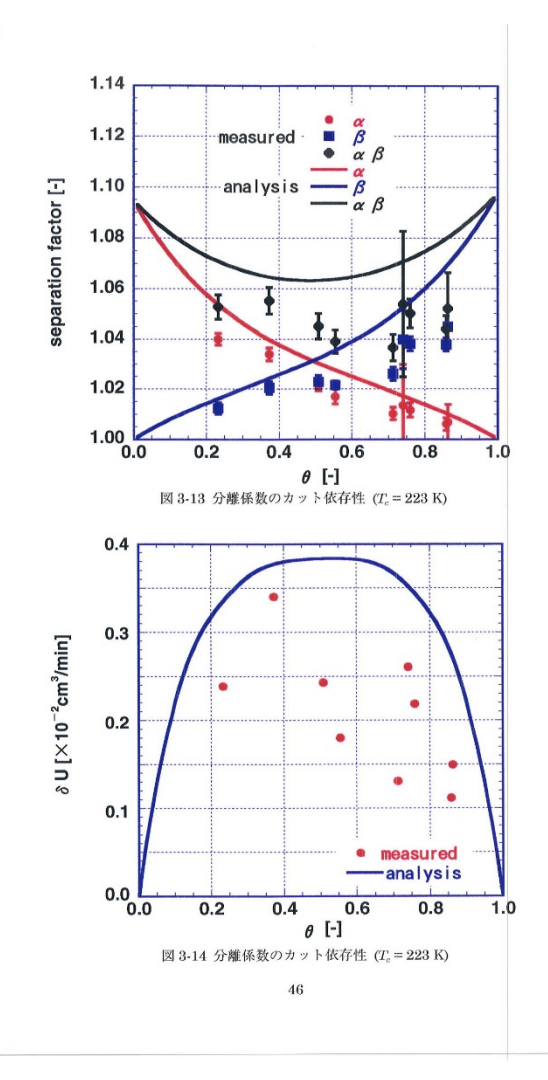


水素1997年

# 窒素同位体分離実験









## 分離現象に関する国際会議

(SPLG'98)



# IN LIQUIDS AND GASES

SIXTH WORKSHOP PROCEEDINGS



October 18-21,1998 Nagoya Congress Center

Ichiro Yamamoto Professor Department of Nuclear Engineering Nagoya University, Japan



#### COMMITTEES

#### HONORARY CHAIRPERSON

A. Kanagawa

Prof. Emeritus, Nagoya Univ.

#### INTERNATIONAL COMMITTEE

V. D. Borisevich Moscow St. Eng. Phys. Inst., Moscow, Russia

T. Kai Japan Nuclear Cycle Development Institute, Japan

P. Louvet DPE/SPEA, C.E.N., Saclay, France

H. Mikami Tokyo Institute of Technology, Tokyo, Japan

S. Schwab IEAv/CTA, São José dos Campos, Brazil

Soubbaramayer DPE/SPEA, C. E. N., Saclay, France

K. Takeuchi Institute of Physical and Chemical Research, Saitama, Japan

J. V. Whichello IAEA, Vienna, Austria

H. G. Wood University of Virginia, Charlottesville, USA

C. Ying Tsinghua University, Beijing, China

G. Zippe MAN Technology, München, Germany

#### LOCAL ORGANIZING COMMITTEE

I. Yamamoto
 K. Ikeda
 Y. Fujii
 M. Hara
 K. Hamada
 Nagoya University, Chairperson
 Cyubu Electric Power Company
 Tokyo Institute of Technology
 Japan Nuclear Fuel Limited
 Mitsubishi Heavy Industries

Y. Hayase
 H. Hiranuma
 T. Kai
 Federation of Electric Power Companies
 Japan Electrical Manufacturers Association
 Japan Nuclear Cycle Development Institute

S. Kuwabara Kansai Electric Power Company
Y. Mimura Mitsubishi Heavy Industries

H. MoriyamaM. NishikawaK. NishizawaKyoto UniversityKyushu UniversityOsaka University

M. Ohno Japan Audit and Certification Organization for Environment

Y. Sato Laser Atomic Separation Engineering Research Association of

JAPAN

T. Shibata Japan Atomic Energy Research Institute

M. Suzuki Tokyo Institute of Technology

T. Takahashi Japan Nuclear Cycle Development Institute

M. Takemura Hitachi Corporation S. Tanaka University of Tokyo

H. Tashiro Institute of Physical and Chemical Research

H. Ueda Toshiba Corporation

S. Yamada Tokyo Electric Power Company

Z. Yoshida Japan Atomic Energy Research Institute

#### CONFERENCE SECRETARIAT

Y. Enokida Nagoya University













## 同位体COE (同位体が拓く未来)

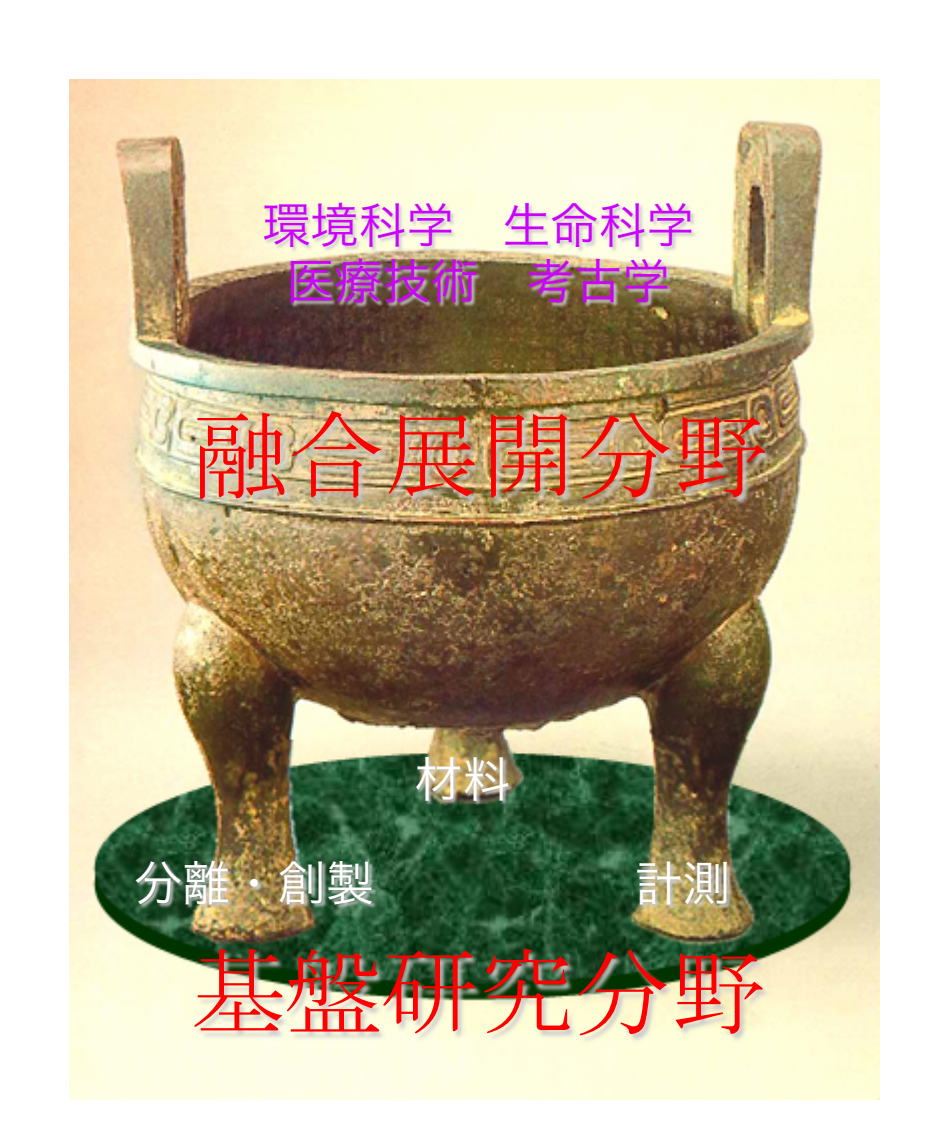
- 平成15年(2003)7月 採択決定
- 平成16年(2004)3月 同位体科学会(藤井靖彦会長)創立
- 平成17年(2005)5月 中間審査
- 平成17年(2005)9月 ISE2005

#### (International Symposium on Isotope Science and Engineering)

- 平成19年(2007)9月 ISE2007
- 平成19年(2008)9月 外部評価(石田孝信委員長)
- 平成20年(2009)3月 無事終了

# 同位体COE形成の目的

同位体関連研究者が結集・連携し、同位体科学を支える基盤研究の飛躍的な発展 とそれら基盤研究に立脚した新たな融合研究の展開を図る



# 研究:同位体科学バーチャルラボラトリ

大部分のメンバーが同位体科学バーチャルラボラトリの複数の部門に所属 専門の異なるメンバー間の協力・連携を推進

#### 同位体科学バーチャルラボラトリの構成

分野	部門	リーダー
	同位体分離・創製	山本 一良
基盤研究	同位体計測	井口 哲夫
	同位体材料	松井 恒雄
融合展開	環境・生命	飯田 孝夫
既口及用 	文理情報	鈴木 和博



#### 21世紀COEプログラム 同位体が拓く未来

同位体が拓く未来 ―同位体科学の基礎から応用まで―

基盤研究分野 同位体分離 • 創製 部門

名古屋大学大学院 工学研究科 山本 一良

#### 超臨界流体置換クロマトグラフィー同位体分離法の原理実証

超臨界流体二酸化炭素クロマトグラフィー法によるリチウム 同位体分離

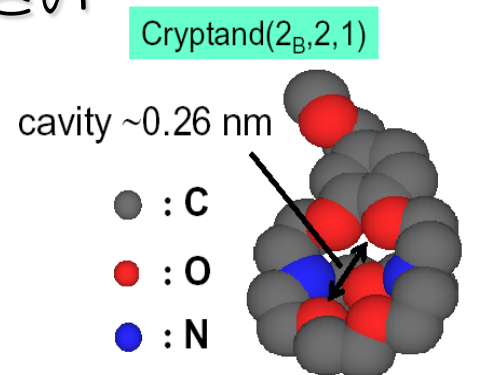
### 超臨界流体二酸化炭素の利点

21世紀の溶媒

- ・ 迅速な分離が可能であり、廃液の発生が極微量である
- 有機抽出剤の溶解度が高い
- ・ 温度や圧力を変えることで、溶媒和を変えることができる
- 環境への負荷を低減できる

### クリプタンド(2g, 2, 1)樹脂

- 濃縮係数が0.01-0.06と大きい
- ・水により樹脂の再生が可能



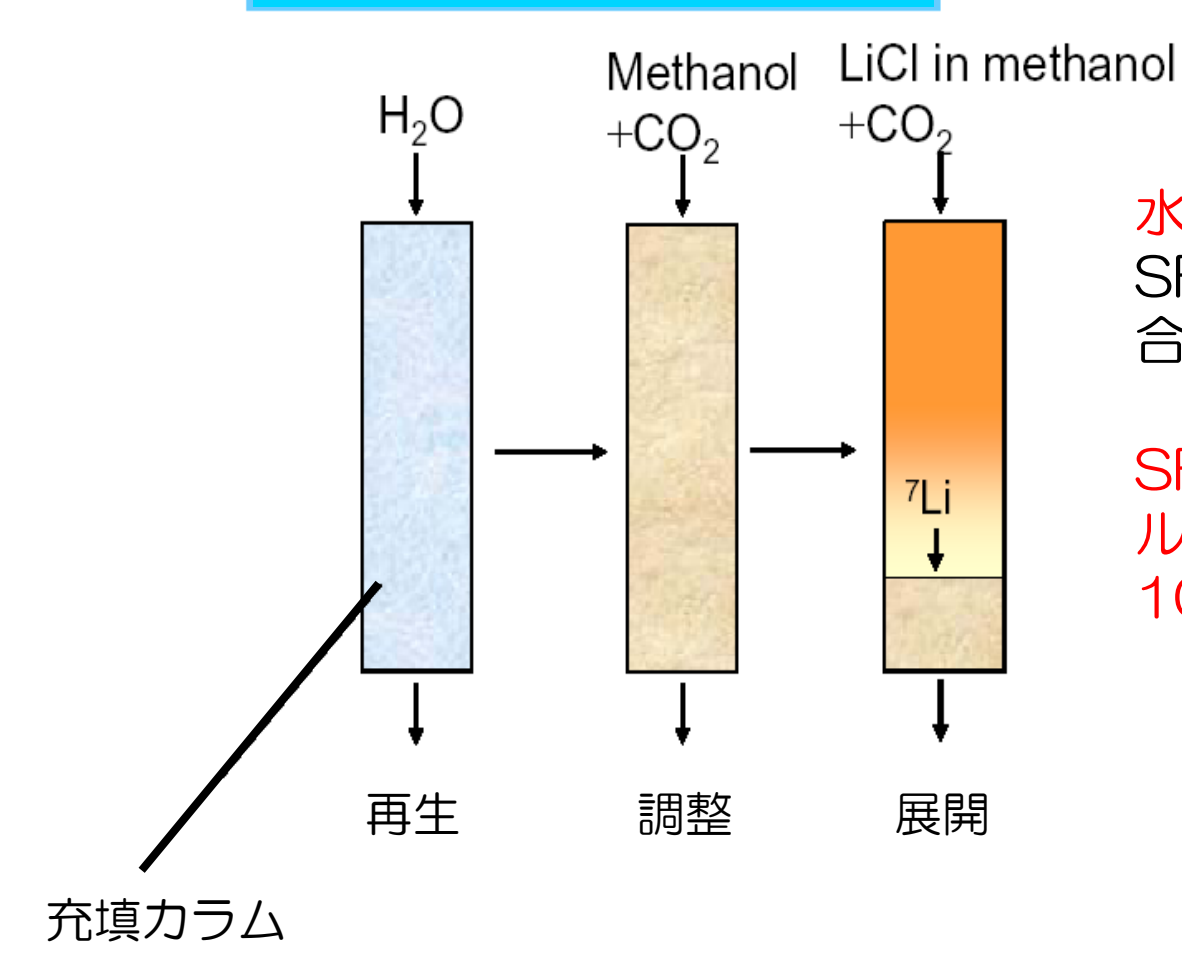
ion diameter

Li<sup>+</sup> 0.180 nm

Cryptand is sterically selective for a particular metal ion having the fit with the cavity.

#### 超臨界流体置換クロマトグラフィー同位体分離法の原理実証

#### ブレークスルー法

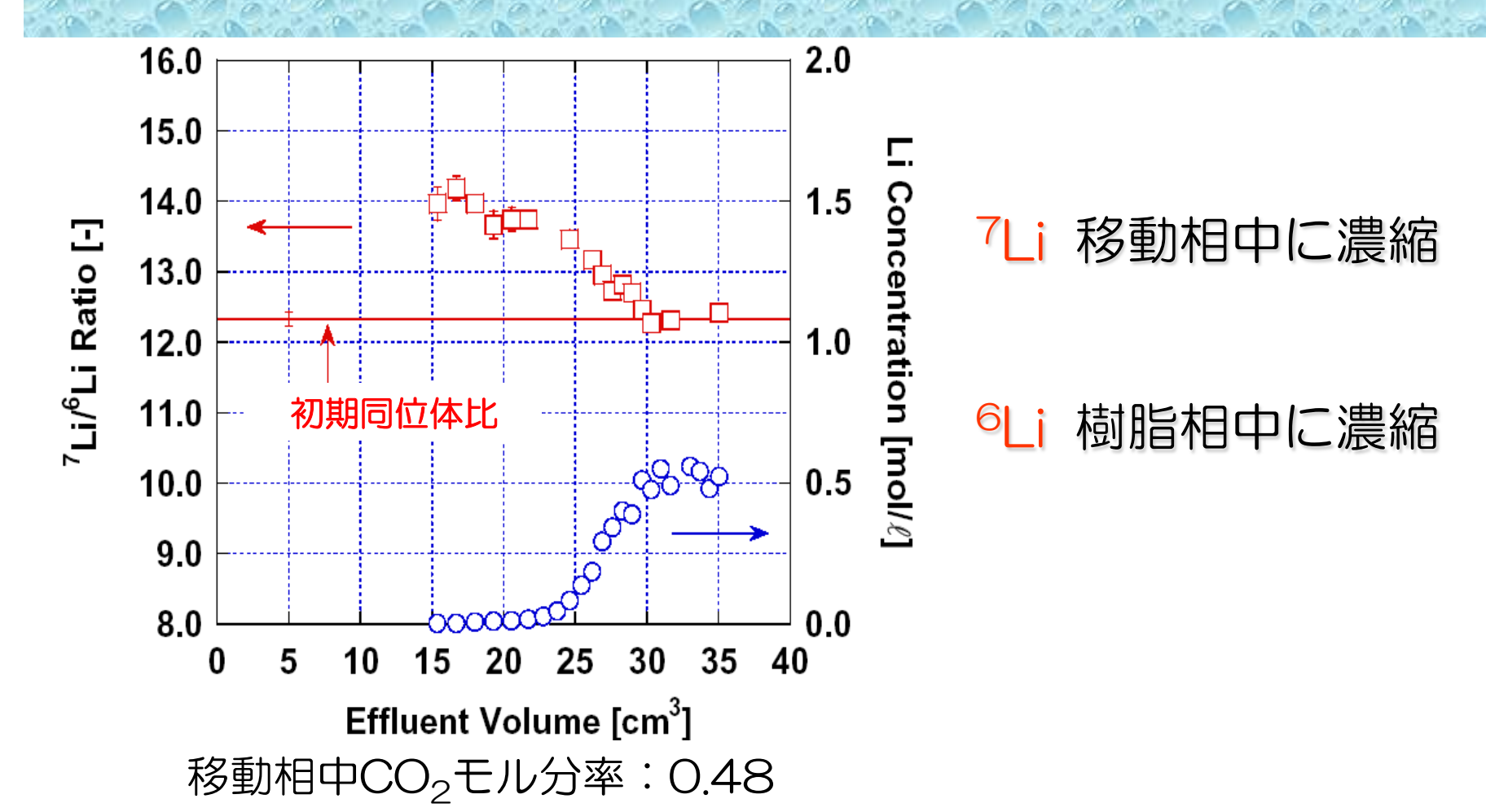


水により樹脂を再生した後、 SF-CO<sub>2</sub>とメタノールの混 合溶液により調整する。

SF-CO<sub>2</sub>, LiCl, メタノールの混合溶液を313 K, 10 MPaで供給する。

(内径 8 mm, 長さ 100 cm)

### 前端界面での<sup>7</sup>Li / <sup>6</sup>Li 同位体比分布



#### 測定装置

LiCl 濃度	原子吸光計(Hitachi Z-6100)
Li 同位体比	質量分析計 (Finnigan MAT ELEMENT)

#### 超臨界流体置換クロマトグラフィー同位体分離法の原理実証

## まとめ

- 固定相にクリプタンド(2<sub>B</sub>, 2, 1) 樹脂, 移動相に超臨界 流体二酸化炭素とLiClメタノール溶液の混合溶液を用いて置 換クロマトグラフィー実験を行い, Li同位体分離が行えることを確認した。
- 本手法は、汎用的で経済的かつ環境負荷を低減できる。

21世紀COEプログラム

#### 同位体が拓く未来

~同位体科学の基盤から応用まで~ 平成17年度報告書



名古屋大学同位体科学COE

JOURNAL OF
NUCLEAR SCIENCE
AND
TECHNOLOGY

Isotope Science and Engineering From Basics to Applications



Selected Papers from

International Symposium on Isotope Science and Engineering From Basics to Applications

(3nd International Symposium on Isotope Effects in Physics, Chemistry and Engineering)

Nagoya, Japan September 17-20, 2007



Supplement 6 September 2008

ATOMIC ENERGY SOCIETY OF JAPAN

http://wwwsoc.nii.ac.jp/aesj/

## 思い出深い事柄(原子力関係)

- 2011年3月11日:東日本大震災,東電•福島第一原子力発電所事故
- 1999年 JCO 事故
- 青森県に ITER-BA の実験装置群(特にトリチウム実験室)設置
- 福井大学に原子力関係研究所, 学科の設置
- ・ 六ヶ所村 日本原燃(株)ウラン濃縮工場へ設置する高性能新型遠 心分離機の開発とそれらを用いたウラン濃縮カスケード設置
- 汚染水対策委員会委員、トリチウム水対策タスクフォース座長(進行中)
- 静岡県防災 原子力学術会議 原子力分科会長(進行中)

## 思い出深い事柄(学内関係)

- ・工学部あり方委員会
- ・教養教育院の設立 と 語学教育改革
- ・環境量子リサイクル研究センター設立
- ・認証評価への対応:試行「教養教育」、本格実施分
- 法人評価対応
- Global COE
- 創薬科学研究科新設
- Global 30(13?) 教育システム構築
- リーディング大学院 6 programs 採択
- 育志賞
- Top Global University
- ・組織再編へ道半ば

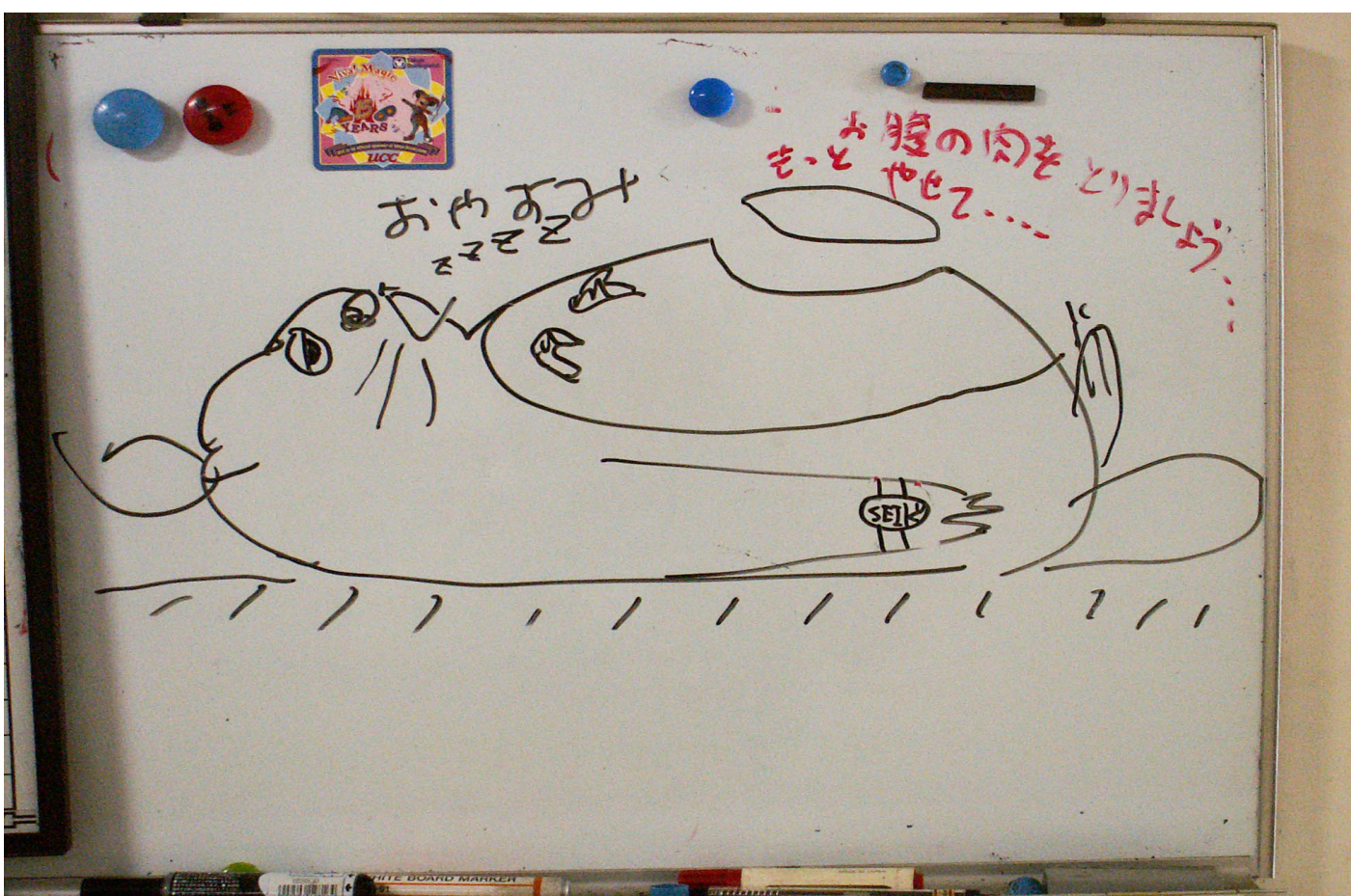


## 工学の教育・研究への私見

- 先端研究の産物の「ハイテク」は、「ローテク」で確保された社会基盤があってこそ役立つし、社会基盤が疎かであれば使い物にならない
- 原子力は極限環境に対応した「ローテク」を極限的に追求 した製造技術と維持・管理技術で成り立つ
- 現在の工学教育においては、 社会ひいては国家を支える「ローテク」分野の部分が衰えてきた
- 工学における教育・研究・開発に携わるためには、今一度「ローテク」の工学基礎を学び、そのうえでハイテクの研究・開発に向かうべきである
- 工学系教育組織の改編においては、その部分を忘れない でほしい



## 工学部8号館南3F研究室 昔の掲示板 (2004.9.10)





名古屋大学での42年間, 長きに亘り いろいろな方々に 大変お世話になりました.

改めて感謝申し上げます.

ありがとうございました.

目	次
1-4	

序	1
第1章 分雕 要 素	3
I 基礎的事項 ·	3
[1] 分離要素の概念	3
[2] 分離係数の定義	7
《付録》 分離係数の例	10
注目或分・非注目成分に関するカット	17
[1] 注目成分に関するカットの概念	-17
[2] 分離係数との関係	- 18
[3] 洩れのある場合の扱い	- 21
[4] カットが決まっている場合の扱い	24
[5] カットの濃度依存性	. 31
《付録》 関 数 $\frac{lpha(eta-1)}{lphaeta-1}$ 、 $\frac{eta-1}{lphaeta-1}$ の作費	82
1. 対称プロセスの場合	. 32
2. 非対称プロセスの場合	. 34
第 2.章 カスケード理論	. 41
I 序	. 41
[1] カスケードの概念	
[2] カスケード計算	
▮ カスケード流量方程式	
[1] 基礎方程式	47
[2] 基礎方程式の 般解	
[8] 洩れのない場合の解	55
[4] カスケード濃度計算	
[5] m up n-down タイプのカスケードの流量方程式	
《付録》 行列式 B(j,j)の計算法	
■ 各種カスケードのカット分布	
[1] 準理想カスケード	
[2] 方形カスケードと方形化カスケード	74

《付録》 方形化カスケードの流量計算法	86
第8章 分離パワー	92
1 序 論	92
[1] 分離パワーの概念	92
[2] 分離パワー(2成分系)研究の歴史	95
■ 非対称分離プロセスの分離パワーと価値関数	111
[1] 緒 賞	111
[2] 関数方程式の解の検討	
[8] φ(α,β)の決定	
[4] 非対称性の影響	
[5] 粘 綸	
《付録》 A a=b <=> α=β の証明	
B 価値関数中の定数の決定法	
■ 分離パワー概念の厳密化 =注目成分,非注目成分に関する分離パワー = ・・・・・・・・・・・・・・・・・・・・・・・・・・・・・・・・・・・	
[1] 緒 宮	
[2] 注目成分,非注目成分に関する分離パワー $\delta$ $\mathrm{U}_{\mathrm{b}}$ , $\delta$ $\mathrm{U}_{\mathrm{a}}$	
[3] カスケードの分離パワー	126
[4] ðu, , ðu による ðuの解釈	100
[5] $\varphi_b(\alpha,\beta)$ , $\varphi_a(\alpha,\beta)$ の意味	
[6] 結	183
《付録》 A 関数 $\frac{\alpha-1}{\alpha+1} \ln \alpha$	133
B 関数 $\varphi_b(\alpha,\beta),\varphi_a(\alpha,\beta)$ の性質	140
現4年 万曜ハッーの加昇社	149
序 論	
[1] 理想カスケード	
[2] 分離パワーの加算性	
■ m-up n-down 理想カスケードの分離パワー	158
[1] 緒 宮	153
[2] 1-up 1-down 理想カスケード	155
[8] 2-up 1-down 完全理想カスケード	157
[4] 2-up 1-down 同一分離工程理想カスケード	162
[5] m-up n-down 理想カスケード	165

《付録》 2-up 1-down カスケード	
流量方程式の解法	167
■ 分離係数が段毎に変化する理想カスケードの分離パワー	169
[1] 緒 宮	169
[2] 濃度分布	170
[8] 流量方程式	171
[4] 分離パワー	178
[5] 数 値 例	178
N Hertz 型理想カスケードの分離パワー	180
[1] 緒 含	180
[2] 流量方程式	180
[3] 理想カスケードの条件	184
[4] 分離パワーの加算性	186
V 分離パワーの加算性の数学的基礎	189
[1] 緒 言	189
[2] 対称プロセス	190
[8] 非対称プロセス	192
《付録》 標準的関数方程式の解	200
(1) 関数方程式 h (α²) = 2 h (α) ···································	200
(2) 関数方程式 h (α²) = h (α) ···································	200
(3)	200
第 5 章 多成分系分離理論	202
Ⅰ 多成分分離カスケード流量方程式	202
[1] 緒 言	
[2] 多成分分離要素	
[4] 存在比一致カスケード	
[5] 分離係数が各段で変化しないカスケード	
■ 多成分系における分離パワー	
[1] 緒 言	
[2] 各成分に関する分離パワー	
[3] 多成分価値関数の合成	
[4] 分離パワーの加算性	
[4] グ雅(パン の加昇性	

3 6	章	ウスク -	-F.	プラント	設計の記	者問題.		••••••				•••••		223
1	序	話	à				•••••	····						223
	[1]	混合	損失	の評価										
	[2]													
	, p													
	[1]	緒	言					••••	•••••					231
	[2]	数当	的準備	苗	•••••••		•••••							282
	[8]	カッ	ト変動	<b>ы</b>				•••••			•••••			233
	[4]	カフ	ケー	*供給流	量変動		•••••	,					•••••	241
	[5]	カッ	トが	<b>抗量依存</b>	性を有す	よる時の	定式化		• • • • • • • • • • • • • • • • • • • •					242
	[6]	段定	数とう	離要素	性能との	D関係	••••••							243
	[7]	等力	リットナ	カスケー	ドへの通	生用(解	析的扱い	·) ···	••••••			•••••••	•••••	247
	[8]	遠心	›分雕 <sup>枝</sup>	第定数の	評価		*********				•••••		•••••	258
	[9]	並列	]混合	員失 …		•••••								257
	[10]	遠川	<b>心分離</b>	機で構	成された	こウラン	濃縮カス	ケード	への応用		••••		,	264
	《付金	录》						_	員する微分					
H	カス	スケー												
	[1]	緒												
	[2]													
	[3]													
V														
		緒												
	[2]													
	[8]													
**	[4]													
٧														
	[1]													
	[2]													
	[8]	T.	TT -	****								egesti e j		212
	[4] [5]	E,	U.	アンナ	イング	h Std	d 1 - 1 - 1				) Water		,,,,,,	917
	《付飯		CIBRED .	マンカシャ	I BE SEL	マ下ir	凸である	<b>ረ</b> ታወ	新明	tiøgi.	2	ψ(z - i		322
	4 13 W			, p , w , z	, p				en FJ					

W 非対称分離プロセスで構成されるカスケードの解析	323
[1] 緒 言	328
[2] 非対称要素で構成される2種の理想カスケードの比較	324
[8] 要素非対称運転段内還流カスケード	826
《付録》 $\alpha=eta^2$ の要素で構成された $1-\mathrm{up}$ , $1-\mathrm{down}$ カスケードの性質	834
<b>Ⅵ</b> 各種カスケードの効率 ····································	388
[1] 等カットカスケードの効率	888
[2] 方形(化)カスケードの効率	842
〒 多成分系分離理論の応用例	848
[1] 遠心分離カスケードへの空気洩れ込みの影響	848
[2] 放射性希ガスの分離回収	849
第7章 ま と め	854
あとがき	856
参考文献	857

#### あとがき

本研究は昭和48年に名古屋大学に赴任以来約6年間にわたって従事した同位体分離の研究のうち、カスケードの基礎理論解析に関する部分をまとめたものである。本年は、分離パワーの概念が発見されてから(1989)、ちょうど40周年に当たるが、との時に、今までの理論を包含する形で新しい分離理論体系をまとめることができたことを幸いに思う。

本研究は、金川 昭教授の指導によるものである。カスケード理論の研究は、同教授の示唆により始められたものであり、その後も個々の問題について種々の討議を頂き、論理的思考、定量的把握、理論、パラメータの具体的意味づけの必要性など、工学者・技術者としての考え方、研究態度について御指導頂いた。また、内藤奎爾教授、天阳 原教授には、この論文を作成するにあたって詳細、かつ有意義な助言を頂いた。更に、仁科浩二郎助教授、松本元一助教授には討論を通して多くの有益な助言を頂いた。また、著者の学生時代の指導教官である東京大学の山本 寛名誉教授、清瀬量平教授には、その後も暖かい助言と助ましを頂き、東京工業大学の高島洋一教授、三神尚助教授、京都大学の大石純教授、東 邦夫助教授、助力炉核燃料開発事業団の甲斐常逸博士、日立製作所の尾崎典彦博士には、折あるごとに詳細な討論をして頂いた。更に、著者の学生時代に御指導頂いた日立製作所の川合敏雄博士、元田 浩博士、木口高志博士は、講師として名古屋大学で御講演の際やその他の機会に、まだ未完成な理論体系を吟味し、有意義な助言を与えて下さった。

本研究をこのような形でまとめることができたのは、名古屋大学工学部原子核工学科金川研究室に在籍し、また在籍した多くの人々の協力のおかげである。青柳春樹氏(現日立化成から動燃事業団へ出向中)、水野康彦氏(現日立製作所)は、解析的結果を検討し、誤りの発見や不適当な部分の修正などの理論的援助、さらに、それらをプログラム化しての数値計算をして下さった。また、万形(化)カスケードについては、高橋和一氏(現極東貿易)、水谷栄志氏(現岐阜県高校教員)および鈴木喜博氏(現名古屋電子計算)、等カットカスケードについては長尾博文氏(現飯田電工)、段内還流カスケードについては奥田章秀氏(現大学院情報工学在学)、ブレンディング計算には宮本丞祐氏(現四国電力)、非対称カスケードの動特性については冨田利之氏および赤井礼治郎氏。カスケードの多成分分離特性については岩瀬弥一郎氏、以上多くの方々の数値計算に関する御協力を得た。本研究は理論解析と数値計算が相補って発展させられたものであり、その意味からすれば、上記の各氏との共同研究と言ってよい。また、濃縮グループの古沢雄二氏(現三菱重工)、田中 敦氏(現動燃事業団)、伊藤邦雄氏(現 日本NUS)、野田真司氏(現富士写真フィルム)、林 正明氏(現 NBC)には有益な討論をしていただいた。また、高橋武士氏、角尾照維氏(現 小野工務店) 動柄邦博氏(現 愛知県教育委員会)、加藤陽子氏をはじめとする金川研究室の皆様には、研究遂行上多大の御援助をいただいた。ここで、あらためて感謝の意を表する。

## 大学の役割

- ■大学の第一の役割は、教育である.
- しかし、単に従来からの知見を教授するだけでは 不十分であり、
- 従来の知見を体系化・整理して、学術の基盤を固め、
- さらに基礎研究を推進することで学術の発展に寄 与し,
- それを通じて人材を養成することが必要である.

## 「わかる」の階層構造(私見)

- レベル ∞ その存在を知覚しない
- ■レベル 1:現象の存在を知覚「何かある」
- ■レベル 2 : 現象を定性的に把握
- レベル 3 : 現象を定量的に把握(オーダーまで)
- レベル 4 :現象を定量的に予言可能

### (工学的に設計可能なレベル)

- ■レベル 5 : 現象の生じる機構を完全に理解
- レベル ∞ (ひょっとすると)現象理解枠組みの変更

これらのレベルは対数的、必要資源も対数的

## 研究・開発に関わる教育の役割(私見)

- 既存の現象理解の枠組みを教えること
- (枠組みの中で)未知の問題を解決する方法(スキル) を身に着けさせること
- 枠組みを突破するポテンシャル(意欲)を身に着けさせることしかし
- (情報の洪水の中で)全てを教えることはできない
- (教える側が)全てを知っているわけではない
- (開き直れば)全てを教える必要はない 何が本物であるかを見極める力

研究現場で共同作業をしながら身につける

## 研究・開発の階層構造(私見)

- ■レベル 0:原理(自然現象理解の枠組み)
- レベル 1:ひらめき、思いつき ~1000
- レベル 2 : 思考実験, 簡単なモデル解析 ~100
- レベル 3 : 簡単な実験装置による確認 ~10
- レベル 4 :詳細な解析・現象の詳細な理解 ~5
- レベル 5 : 何らかの実用化 1以下
- レベル ∞ (ひょっとすると)現象理解枠組みの変更

#### これらのレベルは対数的

大学は自由な発想(研究自体の面白さ)を引き出し、それを育てる場所(これを通して人材を育成)

## 研究投資とその効果(私見)

- ■「わかる」のレベル、「研究・開発」のレベル・規模に 応じた資源投資が重要 「わかる」の各レベルで必要な資源(例 えば、精密な測定・観測のための手段、実験装置など)の見極めが重要、 研究・開発のレベル3程度までは広範囲の草の根的研究
- レベル,規模を無視した過度の「選択と集中」は愚策 大学学科・専攻レベル,附置センター,附置研究所,民間会社等研究開発 組織,国レベル研究機関,世界規模研究機関
- プロジェクトのみでは学術が死ぬ プロジェクトは、ある程度わかった現象・事象が相手、プロジェクト進行中は学術進歩が停滞の恐れ、プロジェクト手前の広範囲の研究が活力の基.
- 研究投資と生み出される結果との関係 「ある段階までは、 生み出される結果の数は、投資の対数に比例し、投資規模の適値を超す と、逆に反比例する」(これは規模・レベルに依存する)